

# Raširenost infektivne ličinke oblića *Anisakis pegreffii* (Nematoda, Anisakidae) u parateničnom domaćinu (*Sardina pilchardus*) i molekularna karakterizacija odgovora modelnog slučajnog domaćina (*Rattus norvegicus*)

---

**Bušelić Garber, Ivana**

**Doctoral thesis / Disertacija**

**2019**

*Degree Grantor / Ustanova koja je dodijelila akademski / stručni stupanj:* **University of Split, School of Medicine / Sveučilište u Splitu, Medicinski fakultet**

*Permanent link / Trajna poveznica:* <https://um.nsk.hr/um:nbn:hr:171:985172>

*Rights / Prava:* [In copyright](#) / [Zaštićeno autorskim pravom.](#)

*Download date / Datum preuzimanja:* **2025-01-15**



*Repository / Repozitorij:*

[MEFST Repository](#)



SVEUČILIŠTE U SPLITU

MEDICINSKI FAKULTET

Ivana Bušelić Garber

RAŠIRENOST INFEKTIVNE LIČINKE OBLIĆA *ANISAKIS PEGREFFII*  
(NEMATODA, ANISAKIDAE) U PARATENIČNOM DOMAĆINU (*SARDINA*  
*PILCHARDUS*) I MOLEKULARNA KARAKTERIZACIJA ODGOVORA MODELNOG  
SLUČAJNOG DOMAĆINA (*RATTUS NORVEGICUS*)

Doktorska disertacija

U Splitu, 2019.

SVEUČILIŠTE U SPLITU

MEDICINSKI FAKULTET

Ivana Bušelić Garber

RAŠIRENOST INFEKTIVNE LIČINKE OBLIĆA *ANISAKIS PEGREFFII*  
(NEMATODA, ANISAKIDAE) U PARATENIČNOM DOMAĆINU (*SARDINA*  
*PILCHARDUS*) I MOLEKULARNA KARAKTERIZACIJA ODGOVORA MODELNOG  
SLUČAJNOG DOMAĆINA (*RATTUS NORVEGICUS*)

Doktorska disertacija

U Splitu, 2019.

Ova doktorska disertacija izrađena je u Laboratoriju za akvakulturu Instituta za oceanografiju i ribarstvo, na Sveučilišnom odjelu za studije mora Sveučilišta u Splitu i u Nastambi za laboratorijske životinje Sveučilišta u Splitu. Istraživanje na parateničnom domaćinu provedeno je uz potporu projekta Europske unije FP7 PARASITE (*Parasite risk assessment with integrated tools in EU fish production value chains*, broj ugovora 312068), dok je istraživanje na modelnom slučajnom domaćinu provedeno uz potporu projekta Hrvatske zaklade za znanost, AnGEI (*Anisakis spp.: genomic epidemiology*, broj ugovora 5576).

Voditeljice rada: prof. dr. sc. Ivona Mladineo i doc. dr. sc. Željka Trumbić

## **Zahvale**

*Zahvaljujem svim koautorima znanstvenih članaka, na kojima se temelji ova doktorska disertacija, za značajan doprinos i uspješnu suradnju.*

*Hvala mojoj mentorici prof. dr. sc. Ivoni Mladineo na pruženoj potpori i prilikama da sudjelujem na brojnim međunarodnim i nacionalnim projektima, u znanstvenim radovima i na posjećenim kongresima, kao i za usmjeravanje u nova znanstvena područja. Moja su postignuća odraz Vaše produktivnosti.*

*Hvala mojoj mentorici i znanstvenom uzoru doc. dr. sc. Željki Trumbić na prenesenom znanju, strpljenju i prijateljstvu. Užitak je raditi s tobom.*

*Hvala prof. dr. sc. Liviji Puljak i prof. dr. sc. Damiru Sapunaru na vodstvu i riječima ohrabrenja.*

*Posebna zahvala ide svim djelatnicima Instituta za oceanografiju i ribarstvo, osobito mojim kolegama iz Laboratorija za akvakulturu, na znanstvenoj i prijateljskoj potpori tijekom posljednjih šest godina. Hvala Ivani, Tanji, Niki, Dariji, Dubi, Meliti i Sanji na toplim riječima i prenesenom znanju. Hvala Anamariji, Miši, Jeri, Ivani, Ivi i Igoru na smijehu i društvu.*

*Hvala i djelatnicima Sveučilišnog odjela za studije mora, Zavoda za anatomiju, histologiju i embriologiju Medicinskog fakulteta i Nastambe za laboratorijske životinje Sveučilišta u Splitu na gostoprimstvu i spremno pruženoj pomoći.*

*Hvala, Romane, na ljubavi, strpljenju i beskrajnoj potpori. Na kraju, velika hvala mojoj obitelji i prijateljima jer ste dio svega što jesam.*

## Sadržaj

|  |            |
|--|------------|
| <b>Popis oznaka i kratica.....</b>   | <b>VII</b> |
| <b>1. Uvod .....</b>   | <b>1</b>   |
| <b>1.1 Imunoreakcija domaćina na infekciju gastrointestinalnim oblicima.....</b>   | <b>2</b>   |
| 1.1.1 Kratki uvod u imunosni sustav .....  | 2          |
| 1.1.2 Lokalizirani upalni odgovor.....   | 4          |
| 1.1.3 Integrirana dinamika urođenog i stečenog imunosnog odgovora na gastrointestinalne oblice.....                              | 6          |
| <b>1.2 Biološke i ekološke karakteristike oblića <i>Anisakis</i> spp.....</b>  | <b>9</b>   |
| <b>1.3 Čovjek kao slučajni domaćin i razvoj anisakijaze .....</b>  | <b>12</b>  |
| 1.3.1 Stanični i molekularni odgovor na <i>Anisakis</i> infekciju .....  | 15         |
| <b>1.4 Srdela kao gospodarski važna mala pelagična vrsta ribe i potencijalni izvor <i>Anisakis</i> spp. infekcije ljudi.....</b> | <b>18</b>  |
| <b>1.5 Upotreba modelnih organizama u istraživanjima <i>Anisakis</i> spp. ....</b>   | <b>21</b>  |
| <b>2. Ciljevi i hipoteze .....</b>   | <b>22</b>  |
| <b>3. Metode i materijal .....</b>   | <b>23</b>  |
| <b>3.1 Analiza transkriptoma eksperimentalno inficiranih štakora oblicem <i>Anisakis pegreffii</i>.....</b>                      | <b>23</b>  |
| 3.1.1 Etika u istraživanju .....   | 23         |
| 3.1.2 Prikupljanje <i>Anisakis pegreffii</i> ličinki i eksperimentalna infekcija .....   | 23         |
| 3.1.3 Priprema tkiva za polutanke preparate.....   | 24         |
| 3.1.4 Izolacija RNA i DNA.....   | 25         |
| 3.1.5 Priprema cDNA knjižnice i Illumina sekvenciranje .....   | 29         |
| 3.1.6 Obrada sirovih podataka i mapiranje .....  | 31         |
| 3.1.7 Analiza diferencijalnoga genskog izražaja .....  | 31         |

|            |  |           |
|------------|--|-----------|
| 3.1.8      | Analize funkcionalnog obogaćenja.....  | 32        |
| <b>3.2</b> | <b>Metode i materijal u istraživanju parateničnog domaćina .....</b>   | <b>34</b> |
| 3.2.1      | Uzorkovanje parateničnog domaćina ( <i>Sardina pilchardus</i> ) .....  | 34        |
| 3.2.1      | UV-kompresijska metoda detekcije <i>Anisakis</i> spp. i identifikacija vrste ličinki.....                              | 35        |
| 3.2.2      | Statističke analize.....   | 37        |
| <b>4.</b>  | <b>Rezultati.....</b>  | <b>39</b> |
| <b>4.1</b> | <b>Rezultati istraživanja na modelnom slučajnom domaćinu .....</b>   | <b>39</b> |
| 4.1.1      | Vremenski tijek infekcije .....  | 39        |
| 4.1.2      | Histopatologija infekcije modelnog slučajnog domaćina oblicem <i>Anisakis pegreffii</i> .....                          | 40        |
| 4.1.3      | Diferencijalno izraženi geni .....   | 45        |
| 4.1.4      | Funkcionalna interpretacija promjena u transkriptomima štakora izazvanih <i>Anisakis pegreffii</i> infekcijom .....    | 55        |
| <b>4.2</b> | <b>Rezultati istraživanja infekcije parateničnog domaćina (<i>Sardina pilchardus</i>).....</b>                         | <b>64</b> |
| 4.2.1      | Epidemiološki rezultati .....  | 64        |
| 4.2.2      | Pojavnost nametnika u fileima u odnosu na visceralne organe .....  | 66        |
| 4.2.3      | Infekcija oblicem <i>Anisakis pegreffii</i> u odnosu na infekciju oblicem <i>Hysterothylacium</i> sp.....              | 68        |
| <b>5.</b>  | <b>Rasprava.....</b>   | <b>70</b> |
| <b>5.1</b> | <b>Promjene u transkriptomima tkiva štakora pri eksperimentalnoj infekciji ličinkom <i>Anisakis pegreffii</i>.....</b> | <b>70</b> |
| <b>5.2</b> | <b>Prevalencija i intenzitet infekcije oblicem <i>Anisakis pegreffii</i> u parateničnom domaćinu, srdeli .....</b>     | <b>77</b> |
| <b>6.</b>  | <b>Zaključak.....</b>  | <b>82</b> |
| <b>7.</b>  | <b>Kratki sažetak na engleskom jeziku (Summary) .....</b>  | <b>83</b> |
| <b>8.</b>  | <b>Kratki sažetak.....</b>   | <b>84</b> |

|            |                                |            |
|------------|--------------------------------|------------|
| <b>9.</b>  | <b>Popis literature.....</b>   | <b>85</b>  |
| <b>10.</b> | <b>Dodatni materijal .....</b> | <b>110</b> |
| <b>11.</b> | <b>Kratka biografija.....</b>  | <b>126</b> |



## Popis oznaka i kratica

|                       |  |
|-----------------------|--|
| >>                    | znatno više od   |
| 3R                    | označava tri načela rada s laboratorijskim životinjama (prema engl. <i>replacement, reduction and refinement</i> ) |
| A                     | prosječna abundancija (prema engl. <i>mean abundance</i> )   |
| AD                    | anterio-dorzalni dio filea (prema engl. <i>anterio-dorsal</i> )  |
| Adk-2100              | adenilat-kinaza 2100 (prema engl. <i>adenylate kinase 2100</i> )   |
| AGE-RAGE              | prema engl. <i>advanced glycation end products (AGE)-receptor for advanced glycation end products (RAGE)</i>       |
| Alas2                 | 5'-aminolevulinat sintaza 2 (prema engl. <i>5'-aminolevulinat synthase 2</i> )                                     |
| Alcam                 | prema engl. <i>activated leukocyte cell adhesion molecule</i>  |
| ANCOVA                | analiza varijance s kontrolom kovarijable (prema engl. <i>analysis of covariance</i> )                             |
| Ani s (1 – 14)        | glavni <i>Anisakis</i> alergeni (prema engl. <i>major Anisakis allergens</i> )                                     |
| AV                    | anterio-ventralni dio filea (prema engl. <i>anterio-ventral</i> )  |
| BALB/c                | albino soj laboratorijskih miševa  |
| BEB pufer             | prema engl. <i>back extraction buffer</i>  |
| <i>bootstrap</i>      | u ovoj disertaciji pojam je korišten u smislu tehnike ponavljanja uzorka pri statističkoj obradi                   |
| BP                    | biološki proces (prema engl. <i>biological process</i> )   |
| Bv                    | krvne žile (prema engl. <i>blood vessels</i> )   |
| C57BL/6               | soj laboratorijskih miševa   |
| CAMs                  | prema engl. <i>cell adhesion molecules</i>   |
| CC                    | stanična komponenta (prema engl. <i>cellular component</i> )   |
| CCL/ <i>Ccl</i>       | prema engl. <i>C-C motif chemokine ligand</i>  |
| Cd                    | stanični detritus (prema engl. <i>cellular debris</i> )  |
| CD4(8) <sup>+</sup> T | limfociti s biljegom stanične diferencijacije (prema engl. <i>cluster of differentiation</i> ) 4(8)                |
| Cd6                   | biljeg stanične diferencijacije (prema engl. <i>cluster of differentiation</i> ) 6                                 |
| cDNA                  | komplementarna deoksiribonukleinska kiselina (prema engl. <i>complementary DNA</i> )                               |
| Cf                    | kolagenska vlakna (prema engl. <i>collagen fibers</i> )  |
| <i>Chi3l1</i>         | prema engl. <i>chitinase 3-like 1</i>  |
| CI                    | interval pouzdanosti (prema engl. <i>confidence interval</i> )   |
| CO <sub>2</sub>       | ugljik-dioksid (prema engl. <i>carbon dioxide</i> )  |
| <i>cox2</i>           | citokrom c oksidaza podjedinica II (prema engl. <i>cytochrome c oxidase subunit II</i> )                           |
| CTAB                  | cetiltrimetilamonij bromid (prema engl. <i>cetyltrimethylammonium bromide</i> )                                    |
| CTGF                  | faktor rasta vezivnog tkiva (prema engl. <i>connective tissue growth factor</i> )                                  |
| CXCL/ <i>Cxcl</i>     | prema engl. <i>C-X-C motif chemokine ligand</i>  |
| D                     | indeks nepodudarnosti (prema engl. <i>index of discrepancy</i> )   |
| DC                    | dendritične stanice (prema engl. <i>dendritic cells</i> )  |
| DE                    | značajno izraženi geni (prema engl. <i>differentially expressed</i> )  |
| df                    | stupnjevi slobode (prema engl. <i>degrees of freedom</i> )   |
| DNA                   | deoksiribonukleinska kiselina (prema engl. <i>deoxyribonucleic acid</i> )  |
| DNaza                 | deoksiribonukleaza (prema engl. <i>deoxyribonuclease</i> )   |
| dTTP                  | 2'-deoksitimidin-5'-trifosfat (prema engl. <i>2'-deoxythymidine 5'-triphosphate</i> )                              |

|                   |   |
|-------------------|---|
| dUTP              | 2'-deoksiuridin-5'-trifosfat (prema engl. <i>2'-deoxyuridine 5'-triphosphate</i> )  |
| ECM               | izvanstanični matriks (prema engl. <i>extracellular matrix</i> )  |
| EDTA              | etilendiamintetraoctena kiselina (prema engl. <i>ethylenediamine tetraacetic acid</i> )   |
| ei                | eozinofilna infiltracija (prema engl. <i>eosinophilic infiltration</i> )  |
| ES                | ekskretorno-sekretorni produkti (prema engl. <i>excretory-secretory products</i> )  |
| EU                | Europska unija (prema engl. <i>European Union</i> )   |
| FAO               | Organizacija za prehranu i poljoprivredu pri Ujedinjenim narodima (prema engl. <i>Food and Agriculture Organization of the United Nations</i> ) |
| FASTQ<br>datoteka | format datoteke koji sadrži biološku sekvencu i popratnu ocjenu kvalitete (prema engl. <i>FASTQ file</i> )                                      |
| Fb                | fibroblast (prema engl. <i>fibroblast</i> )   |
| Fc                | fibrocit (prema engl. <i>fibrocyte</i> )  |
| FDR               | stopa lažnih otkrića (prema engl. <i>false discovery rate</i> )   |
| GAGE              | prema engl. <i>Generally Applicable Gene-set Enrichment</i>   |
| GI                | gastrointestinalni (oblici) (prema engl. <i>gastrointestinal</i> )  |
| GO                | genska ontologija (prema engl. <i>gene ontology</i> )   |
| GOChord graf      | tip grafa generiran u paketu GOplot za R (prema engl. <i>GOChord plot</i> )   |
| H                 | krvarenje (prema engl. <i>hemorrhage</i> )  |
| HACCP             | proces analize opasnosti i kritičnih kontrolnih točaka (prema engl. <i>hazard analysis and critical control points</i> )                        |
| Hba               | hemoglobin alfa (prema engl. <i>hemoglobin alpha</i> )  |
| Hbb               | hemoglobin podjedinica beta (prema engl. <i>hemoglobin subunit beta</i> )   |
| Hinfl             | restriksijska endonukleaza (prema engl. <i>restriction endonuclease</i> )   |
| HTLV-I            | prema engl. <i>human T lymphotropic virus type 1</i>  |
| I                 | prosječni intenzitet (prema engl. <i>mean intensity</i> )   |
| IBD               | upalna bolest crijeva (prema engl. <i>inflammatory bowel disease</i> )  |
| IFN               | interferon (prema engl. <i>interferon</i> )   |
| Ig                | protutijelo ili imunoglobulin (prema engl. <i>immunoglobulin</i> )  |
| IL/II             | interleukin (prema engl. <i>interleukin</i> )   |
| IL4Ra             | prema engl. <i>interleukin-4 receptor subunit alpha</i>   |
| ITS               | prema engl. <i>internal transcribed spacers</i>   |
| Jak-STAT          | prema engl. <i>Janus kinase-signal transducer and activator of transcription</i>  |
| k                 | eksponent negativne binomnijalne raspodjele (prema engl. <i>exponent of the negative binomial</i> )   |
| KEGG              | Kyoto enciklopedija gena i genoma (prema engl. <i>Kyoto Encyclopedia of Genes and Genome</i> )  |
| L1 – L4           | razvojni stadiji ličinki  |
| Lcn2              | lipokalin 2 (prema engl. <i>lipocalin 2</i> )   |
| logCPM            | normalizirani broja očitanih nukleotidnih sljedova po transkriptu (prema engl. <i>log2-counts-per-million</i> )                                 |
| logFC             | log <sub>2</sub> omjer izražaja gena (prema engl. <i>log fold change</i> )  |
| M                 | množinska koncentracija, mol/dm <sup>3</sup> (prema engl. <i>molarity</i> ili <i>molar concentration</i> )                                      |
| MA                | postaje uzorkovanja u srednjem Jadranu (prema engl. <i>middle Adriatic Sea</i> )  |
| Mdm2              | prema engl. <i>Mdm2 proto-oncogene</i>  |
| Mf                | mišićna vlakna (prema engl. <i>muscle fibers</i> )  |

|  |   |
|--|---|
| MF   | molekularna funkcija (prema engl. <i>molecular function</i> )   |
| MHC  | kompleks gena tkivne podudarnosti (prema engl. <i>Major Histocompatibility Complex</i> )  |
| miRNA  | mikro ribonukleinska kiselina (prema engl. <i>micro ribonucleic acid</i> )  |
| Mm   | <i>muscularis mucosae</i> , lat.  |
| mM   | milimolarna (otopina), $10^{-3}$ mol/dm <sup>3</sup> (prema engl. <i>millimolar</i> )   |
| MMP/ <i>Mmp</i>  | matriks metalopeptidaza (prema engl. <i>matrix metalloproteinase</i> )  |
| MPP <sup>type2</sup>   | prema engl. <i>multi-potent progenitor type2</i>  |
| mRNA   | glasnička ribonukleinska kiselina (prema engl. <i>messenger ribonucleic acid</i> )  |
| MS   | prosječna suma kvadrata (prema engl. <i>mean sum of squares</i> )   |
| mtDNA  | mitohondrijska deoksiribonukleinska kiselina (prema engl. <i>mitochondrial DNA</i> )  |
| N  | broj (prema engl. <i>number</i> )   |
| NA   | postaje uzorkovanja u sjevernom Jadranu (prema engl. <i>north Adriatic Sea</i> )  |
| NF-κB  | jezgrin čimbenik kappa B (prema engl. <i>nuclear factor kappa B</i> )   |
| NLR  | NOD-u sličan receptor (prema engl. <i>Nod-like receptor</i> )   |
| NT   | postaja uzorkovanja u sjevernom Tirenskom moru (prema engl. <i>north Tyrrhenian Sea</i> )   |
| OsO <sub>4</sub>   | osmijetetroksid (prema engl. <i>osmium tetroxide</i> )  |
| p/i  | nakon infekcije (prema engl. <i>post-infection</i> )  |
| p53  | tumorski protein P53 (prema engl. <i>tumor protein P53</i> )  |
| PBS  | fiziološka otopina puferirana fosfatnim puferom (prema engl. <i>phosphate buffered saline</i> )   |
| Pc   | parijetalne stanice (prema engl. <i>parietal cells</i> )  |
| PCA  | analiza glavnih komponenti (prema engl. <i>principal component analysis</i> )   |
| PCR  | lančana reakcija polimeraze (prema engl. <i>polymerase chain reaction</i> )   |
| PD   | posterioro-dorzalni dio filea (prema engl. <i>posterioro-dorsal</i> )   |
| Pep C-1100 i<br>Pep C-2100                                   | leucin-alanin peptidaze (prema engl. <i>leucine-alanine peptidases</i> )  |
| PI3K-Akt   | fosfatidilinozitol-3-kinaza i protein kinaza B (prema engl. <i>phosphatidylinositol-3-kinase and protein kinase B</i> )                       |
| Pm   | perimizij (prema engl. <i>perimysium</i> )  |
| Poly-A rep   | uzastopno poredani adenini (prema engl. <i>poly-A tail</i> )  |
| PPAR   | prema engl. <i>peroxisome proliferator activated receptor</i>   |
| PAMP   | molekularni obrasci povezani s patogenima (PAMP, prema engl. <i>pathogen-associated molecular patterns</i> )                                  |
| PV   | posterioro-ventralni dio filea (prema engl. <i>posterioro-ventral</i> )   |
| rAni s   | rekombinantni Ani s (prema engl. <i>Ani s (1, 7, etc.) recombinant allergens</i> )  |
| Rap1   | prema engl. <i>Ras-proximate-1</i>  |
| <i>Reg3a</i> , <i>Reg3g</i> ,<br><i>Reg3b</i> i <i>Reg1a</i> | geni-članovi regenerativne obitelji (prema engl. <i>regenerative family member genes</i> )  |
| RegIIIγ  | antibakterijski lektin, član regenerativne obitelji (prema engl. <i>regenerating family member 3 gamma</i> )                                  |
| RegIIIγ <sup>-/-</sup>                                       | soj laboratorijskih miševa bez RegIIIγ gena   |
| RELMβ  | prema engl. <i>resistin-like molecule-β</i>   |
| RFLP   | polimorfizam duljine fragmenata DNA nakon upotrebe restriktivskih endonukleaza (prema engl. <i>Restriction Fragment Length Polymorphism</i> ) |
| RNA  | ribonukleinska kiselina (prema engl. <i>ribonucleic acid</i> )  |

|  |  |
|--|--|
| RNA-Seq  | RNA sekvenciranje (prema engl. <i>RNA sequencing</i> )   |
| RNaza  | ribonukleaza (prema engl. <i>ribonuclease</i> )  |
| RPMI   | medij za stanične kulture (prema engl. <i>Roswell Park Memorial Institute (culture medium)</i> )   |
| S100A8/A9,<br><i>S100a8</i> i<br><i>S100a9</i> | kalprotektin, odnosno S100 proteini (prema engl. <i>calprotectin, S100 proteins</i> )  |
| SAA  | serumski amiloid A (prema engl. <i>serum amyloid A</i> )   |
| SD   | standardna devijacija (prema engl. <i>standard deviation</i> )   |
| SRA  | baza podataka o sekvencama pri Nacionalnom centru za biotehnoške informacije Sjedinjenih američkih država (prema engl. <i>NCBI Sequence Read Archive</i> ) |
| SS   | postaja uzorkovanja pokraj južne Sicilije (prema engl. <i>south Sicily</i> )   |
| stanice NK                                     | prema engl. <i>natural killer cells</i>  |
| STAT3/STAT6                                    | transkripcijski čimbenik (prema engl. <i>Signal transducer and activator of transcription</i> )  |
| TCR  | antigenski receptor limfocita T (prema engl. <i>T-cell receptor</i> )  |
| TE pufer                                       | pufer koji sadrži Tris (objašnjeno pod pojmom Tris-HCl) i EDTA (objašnjeno pod pojmom EDTA) (prema engl. <i>Tris-EDTA buffer</i> )                         |
| TGFβ1  | transformirajući čimbenik rasta beta 1 (prema engl. <i>transforming growth factor-β1</i> )   |
| TH/Th  | pomoćnički limfociti T (Th1, Th2, Th17 itd.) (prema engl. <i>T helper lymphocytes</i> )  |
| TL   | prosječna ukupna duljina (prema engl. <i>mean total length</i> )   |
| TLR  | Toll-u sličan receptor (prema engl. <i>Toll-like receptors</i> )   |
| TNF/ <i>Tnf</i>                                | čimbenik tumorske nekroze (prema engl. <i>tumor necrosis factor</i> )  |
| TREAT  | prema engl. <i>t-tests relative to a threshold</i>   |
| Treg   | regulatorni limfocit T (prema engl. <i>regulatory T-cell</i> )   |
| Tris-HCl                                       | Tris(hidroksimetil)aminometan hidroklorid (prema engl. <i>tris(hydroxymethyl)aminomethane hydrochloride</i> )  |
| TSLP   | prema engl. <i>thymic stromal lymphopoietin</i>  |
| v/m  | omjer varijance i srednjaka (prema engl. <i>variance-to-mean ratio</i> )   |
| WS   | postaja uzorkovanja pokraj zapadne Sardinije (prema engl. <i>west Sardinia</i> )   |
| Zc   | zimogene stanice (prema engl. <i>zymogenic cells</i> )   |

## 1. Uvod

Promjene u prehranbenim navikama, s naglaskom na konzumaciji egzotične i sirove hrane, porast broja i kretanja stanovništva, globalizacija tržišta hrane i promjene u sustavima proizvodnje hrane, klimatske promjene te osviještenost javnosti i bolji dijagnostički alati smatraju se glavnim razlogom porasta zabilježenih slučajeva hranom prenosivih nametničkih bolesti posljednjih godina [1]. Nametnici iz obitelji Anisakidae nedavno su uvršteni u prvih deset hranom prenosivih nametnika terestričkog i vodenog podrijetla u odnosu na javnozdravstveno značenje u svim europskim regijama, odnosno u prvih pet za sjevernu i jugozapadnu Europu, [2]. Iz navedenih je razloga prevencija i zaštita od zoonotičnih nametnika prenosivih putem morske hrane postala prioritetnom aktivnošću [1]. Svijest javnozdravstvenih ustanova i ribarske industrije o važnosti proučavanja oblića koji pripadaju rodu *Anisakis* Dujardin, 1845 (Nematoda, Anisakidae), porasla je, ne samo zbog njihova štetnog utjecaja na ljudsko zdravlje, nego i negativnog utjecaja na komercijalnu vrijednost morske ribe dostupne na tržištima [3].

Akvatični helminti (skupina nametnika koja obuhvaća trakavice, metilje i oblice, prema engl. *helminths*) etiološki su agensi brojnih zoonoza prenosivih ribom, kao što su difilobotrijaza, metiljavost i anisakijaza. U usporedbi s ljudskim nametnicima gastrointestinalnog sustava, zoonoze uzrokovane ribom tek su posljednjih godina privukle veću znanstvenu i javnozdravstvenu pozornost [4]. Stoga ne iznenađuje da se dosadašnje znanje o mehanizmima patogeneze nametničkih bolesti, kao i o razvoju imunskog odgovora potrebnog da se nametnička infekcija razriješi, temelji upravo na eksperimentalnim infekcijama na modelima glodavaca, a radi se o sljedećim gastrointestinalnim oblicima: *Trichuris muris* (Nematoda, Trichuridae), *Trichinella spiralis* (Nematoda, Trichinellidae), *Heligmosomoides polygyrus bakeri* (Nematoda, Heligmosomatidae) i *Nippostrongylus brasiliensis* (Nematoda, Nippostrongylinae). Uobičajeni je put infekcije jajima *T. muris*, infektivnim ličinačkim stadijem *T. spiralis* i *H. polygyrus bakeri* oralan, dok je za infektivne ličinke *N. brasiliensis* put infekcije kroz kožu, te migracija kroz pluća do jednjaka, gdje jednom progutane ličinke završe u crijevima [5].

Tipičan imunski odgovor domaćina na infekciju gastrointestinalnim oblicima uključuje aktivaciju polariziranih CD4<sup>+</sup> (prema engl. *cluster of differentiation*) pomoćničkih T limfocita tipa 2 (Th2, prema engl. *T-helper lymphocytes*) koji proizvode citokine interleukin 4 (IL4), IL5 i IL13,

nakon što im antigen-prezentirajuće stanice (APCs, prema engl. *antigen-presenting cells*) predoče specifični antigen. Citokini odgovora tipa 2 promoviraju novačenje makrofaga, eozinofilnih granulocita (eozinofila), bazofilnih granulocita (bazofila) i mastocita u crijevima, povećavaju broj vrčastih stanica koje luče sluz i izazivaju mnoge fiziološke promjene koje zajedno olakšavaju izbacivanje oblića iz gastrointestinalnog sustava [5]. Komponente imunskog odgovora tipa 2, koje sudjeluju u odgovoru na gastrointestinalne oblice, iznimno su raznovrsne, a njihovo se djelovanje u svojoj složenosti stalno otkriva novim istraživanjima, ne samo u smislu identifikacije novih tipova stanica, već i prepoznavanju povećanog preklapanja, paralelnosti i međuovisnosti između stanica i njihovih molekularnih medijatora. Da bismo razumjeli tu složenost, moramo se odmaknuti od paradigmi temeljenih na linearnim enzimskim i signalizacijskim kaskadama i vidjeti odgovor tipa 2, onako kako doživljavamo neuralnu mrežu, s razgranatim interakcijama i alternativnim putevima iz kojih aktivirane populacije stanica mogu integrirati informacije kako bi odabrale i kalibrirale svoj učinak na odgovarajući način. Bolje razumijevanje ovih mreža otvorit će put razumijevanju infekcije gastrointestinalnim oblicima i razvoja odgovora domaćina na njih, kao i kako postići učinkovitu imunost u odsutnosti patologije te, što je još važnije, kako najbolje modulirati imunski sustav u alergiji, autoimunosti i novotvorevinama [6].

## **1.1 Imunoreakcija domaćina na infekciju gastrointestinalnim oblicima**

### **1.1.1 Kratki uvod u imunski sustav**

Imunost ili otpornost sačinjava složeni sustav staničnih i humoralnih (topljivih tvari u tjelesnim tekućinama) sastavnica koje štite organizam od drugih organizama ili tvari koje mogu uzrokovati infekciju ili bolest. Temelji se na dva obrambena mehanizma koji surađuju: urođena (nespecifična ili prirođena) i stečena (specifična ili adaptivna) imunost, a oba obrambena mehanizma mogu se podijeliti na stanične i humoralne sastavnice. Urođena imunost ključna je za obranu od uzročnika bolesti u prvih nekoliko sati i dana nakon infekcije, jer se stečeni imunski odgovor nije imao prilike razviti u tom vremenu, a vođena je mehanizmima koji su bili prisutni prije negoli je infekcija nastala i koji omogućuju trenutni odgovor [7]. Osnovne sastavnice urođene imunosti su [8]:

- fizičke i kemijske prepreke, poput epitela i antimikrobnih tvari proizvedenih na površini epitela;
- fagociti (neutrofilni granulociti /neutrofili/ i makrofagi), dendritične stanice, mastociti, stanice NK (prema engl. *natural killer*) i druge urođene limfoidne stanice;
- proteini u krvi, uključujući komponente sustava komplementa i druge medijatore upale.

Stečena ili adaptivna imunost potaknuta je izlaganjem uzročniku, a snaga i sposobnost obrane pojačava se opetovanim susretom s uzročnikom bolesti. Ova vrsta imuniteta vođena je limfocitima i njihovim produktima. Limfociti izražavaju velik broj različitih receptora koji imaju sposobnost prepoznavanja brojnih antigena, a dijele se na dvije populacije uključene u različite tipove stečene imunosti: limfociti B i limfociti T [7]. Stečena imunost pokreće se kad uzročnik generira razinu praga antigena koja dovodi do aktivacije antigen-prezentirajućih stanica. Stečeni obrambeni mehanizam imunskog sustava čine tri glavna procesa [9]:

- prepoznavanje specifičnog antigena tijekom procesa prezentacije antigena;
- generiranje odgovora koji će učinkovito eliminirati uzročnika ili stanice inficirane uzročnikom;
- razvoj imunodne memorije generiranjem memorijskih stanica B i T.

Najvažniji je događaj s početka imunoreakcije razlikovanje vlastitog od tuđeg na temelju prepoznavanja kemijskih biljega. Specifično prepoznavanje površinskim receptorima obavljaju dva klonski organizirana sustava: klonovi limfocita T i B. Limfociti B prepoznaju antigene izvan stanica s pomoću dvovaljanih imunoglobulinskih (Ig) receptora, dok limfociti T prepoznaju tuđe peptide koji nastaju unutarstaničnom preradom antigena i vezani su za površinske molekule kompleksa gena tkivne podudarnosti (MHC, prema engl. *Major Histocompatibility Complex*). Antigeni su najčešće složene organske molekule (proteini, glikoproteini, lipoproteini, polisaharidi, lipopolisaharidi, nukleinske kiseline) koje mogu sadržavati mnogo antigenskih determinanata ili epitopa koje prepoznaju limfociti i protutijela [10].

Sazrijevanje limfocita zbiva se u dvije faze. Prvo se stvaraju zrele imunokompetentne stanice (primarna diferencijacija), a u drugoj se nakon susreta sa stranim antigenom razvijaju i diferenciraju efektorske stanice imunskog odgovora (sekundarna diferencijacija). Tijekom

primarne diferencijacije zbiva se preuređenje gena za antigenski receptor i izražaj receptora na membrani te selekcija limfocita koji su izrazili receptor za antigen. Tijekom sekundarne diferencijacije, za učinkovit odgovor limfocita B na proteinske antigene potrebna je pomoć limfocita T. Pod utjecajem pomoćničkih limfocita T i njihovih citokina dogodi se gensko prekapčanje razreda protutijela, pa umjesto IgM, dio limfocita B sintetizira imunoglobulin drugog razreda (IgG, IgA ili IgE) [11]. Antigenski je receptor limfocita T (TCR, prema engl. *T-cell receptor*) heterodimer građen od dva različita polipeptidna lanca, a s obzirom na vrstu lanca, razlikuju se TCR- $\alpha\beta$  i TCR- $\gamma\delta$ . U stanice stečene imunosti spadaju pomoćnički i citotoksični limfociti T, koji izražavaju receptor  $\alpha\beta$ . Pomoćnički limfociti (Th) gotovo uvijek na membrani izražavaju i koreceptor CD4 (CD4<sup>+</sup>), dok citotoksični limfociti izražavaju CD8 (CD8<sup>+</sup>). Limfociti CD4<sup>+</sup> T prepoznaju tuđe antigene u sklopu molekula MHC II na membrani profesionalnih antigen-prezentirajućih stanica (primjerice dendritičnih stanica i makrofaga), a citotoksični limfociti CD8<sup>+</sup> T prepoznaju tuđe antigene u sklopu molekula MHC I na svim stanicama s jezgrom. Pomoćnički limfociti T izražavaju karakterističan fenotip TCR- $\alpha\beta$ <sup>+</sup>CD3<sup>+</sup>CD4<sup>+</sup>CD8<sup>-</sup> i nakon aktivacije proliferiraju i razvijaju se u jednu od funkcijskih subpopulacija (Th1, Th2, Th17 itd.). Ove subpopulacije poslije se razlikuju na temelju citokina koje luče nakon aktivacije i izražaju specifičnog unutarstaničnog transkripcijskog faktora [11].

### 1.1.2 Lokalizirani upalni odgovor

Upala je zaštitna reakcija živog tkiva na ozljedu (fizičkog, kemijskog ili biološkog uzroka), koja se sastoji od [12]:

- crvenila, zbog vazodilatacije arteriola u blizini ozlijeđena područja;
- otekline, zbog nakupljanja tekućine izvan krvnih žila i dijelom zbog akumulacije upalnog infiltrata;
- topline, nastale zbog povećana protoka krvi, odnosno vazodilatacije i prikupljanja tople krvi u ozlijeđenom području;
- boli, dijelom zbog oticanja tkiva i dijelom zbog kemijskih posrednika akutne upale, kao što je bradikinin;



- gubitka funkcije, dijelom zbog nemogućnosti pokretanja i otekline, a dijelom zbog svjesnog ili refleksnog ograničenja pokreta zbog boli.

Upalna reakcija počinje razaranjem ili ograđivanjem štetne tvari i vlastitih uništenih stanica, nakon čega najčešće slijedi zacjeljivanje i uspostavljanje homeostaze. Promjena hemodinamike u zahvaćenome mikrocirkulacijskom području uzrokuje većinu gore navedenih znakova upale. Nastanak lezije prati vazokonstrikcija arteriola, zatim vazodilatacija i naposljetku vazoparaliza. Agregacija eritrocita i trombocita rezultat je usporavanja protoka krvi, koje dovodi do zgrušavanja i tkivne hipoksije, marginacije (priljepljenja) leukocita uz kapilare te oštećenja kapilarnog endotela [13].

Nastanak lezije ili infekcije može rezultirati aktivacijom kaskada plazmina i kinina. Kaskada kinina proizvodi vazoaktivne peptide kalidin i bradikinin, koji djeluju na vaskularni endotel s ciljem povećanja propusnosti krvnih žila, a enzimi kaskade kinina također mogu aktivirati kaskadu komplementa. Povećanje propusnosti vaskularnog endotela na mjestu lezije i povišeni tlak u krvi dovode do prodiranja plazme u ekstravaskularno tkivo, koja je bogata proteinima komplementa. Jedan od molekularnih signala koji počinju i reguliraju lokaliziranu upalu upravo je kaskada komplementa, koja dovodi do stvaranja proteina koji se vežu na receptore stanica, kao što su neutrofili, koje se na taj način poziva na mjesto infekcije preko kemotaktičnog koncentracijskoga gradijenta, a sam proces napuštanja krvne cirkulacije i odlazak na mjesto lezije ili infekcije naziva se ekstravazacija [14].

Kaskada plazmina važna je u remodeliranju izvanstaničnoga matriksa, koje prati proces zacjeljivanja, a enzimi kaskade plazmina također mogu aktivirati kaskadu komplementa. Jednom aktivirani, proteini komplementa uzrokuju već spomenutu ekstravazaciju neutrofila, ali i drugih tipova leukocita, primjerice limfocita i monocita. I ekstravazacija i navođenje leukocita s pomoću kemotaksije regulirani su citokinima koje proizvode lokalni mastociti (aktivirani proteinima komplementa) i makrofagi (aktivirani bakterijskim produktima). Poznato je da citokini faktor tumorske nekroze  $\alpha$  (TNF $\alpha$ ), IL1 i IL6 reguliraju upalnu reakciju u različitim tkivima, iako važnost pojedinog citokina varira u odnosu na tkivo [14].

### 1.1.3 Integrirana dinamika urođenog i stečenog imunskog odgovora na gastrointestinalne oblike

Gastrointestinalni (GI) oblici već unutar nekoliko sati nakon infekcije probavnog sustava pokušavaju uspostaviti vlastitu nišu u domaćinu. Za većinu vrsta GI oblika to uključuje visoko dinamičnu interakciju sa sluzničkim preprekama domaćina kako bi se pričvrstili na površinu crijeva ili probili intestinalna tkiva. Sluznica domaćina sadržava epitelne stanice i vrčaste stanice koje luče sluz, koje su stalno izložene oštećenjima izazvanima GI oblicem i stranim antigenima, podrijetlom od oblika i intestinalne bakterijske komenzalne flore. Epitelne stanice mogu reagirati urođenim odgovorom na izloženost patogenu i izraziti nekoliko receptora koji detektiraju nametnike, kao što su Toll-u slični receptori (TLRs, prema engl. *Toll-like receptors*) [15] i NOD-u slični receptori (NLRs, prema engl. *Nod-like receptors*) [16], koji prepoznaju molekularne obrasce povezane s patogenima (PAMP, prema engl. *pathogen-associated molecular patterns*). Nadalje, epitelne stanice sposobne su orkestrirati urođen imunski odgovor proizvodnjom topivih medijatora, koji mogu aktivno prezentirati antigene izražajem molekula razreda MHC II (prema engl. *Major Histocompatibility Complex class II*) [17].

Istraživanja koja su koristila GI oblike u modelima glodavaca potvrdila su ulogu epitelnih stanica na površini sluznice kao ključnih organizatora urođenog i stečenog imunskog odgovora, uglavnom zbog njihove sposobnosti da proizvode/luče citokinske medijatore nakon staničnog oštećenja i/ili izloženosti stranim antigenima nakon nastalog oštećenja. Povišen izražaj IL1 $\beta$  nakon *T. spiralis* infekcije pripisuje se epitelnim stanicama [18], kao i lučenje kemokina CCL2, CCL3, CCL5 i CCL20 tijekom *T. muris* infekcije, nužnih za novačenje dendritičnih stanica koje vode odgovoru tipa Th2 [19]. Intestinalne epitelne stanice, među ostalim, proizvode citokine IL25, IL33 i TSLP (prema engl. *thymic stromal lymphopoietin*) kao odgovor na ozljedu tkiva i izlaganje patogenu, što rezultira indukcijom i aktivacijom višestrukih sastavnica urođene i stečene imunosti.

IL25 (poznat i pod nazivom IL17E) potiče populaciju multi-potentnih progenitora MPP<sup>type2</sup> (prema engl. *multi-potent progenitor type2*), koji se mogu dalje diferencirati u mastocite, makrofage i bazofile nakon stimulacije citokinima, a imaju i sposobnost pojačavanja poticaja na odgovor Th2. Nadalje, IL25 i/ili IL33 potiču nekoliko leukocitnih populacija koje imaju sposobnost proizvodnje citokina povezanih s Th2, uključujući IL4, IL5 i IL13. Ove stanice

nazivaju se prirodnim pomoćničkim stanicama (prema engl. *natural helper cell*), urođenim pomoćničkim stanicama 2 (prema engl. *innate helper cell 2*) i nuocitima (prema engl. *nuocyte*) te dijele mnoge fenotipske značajke. IL33 također snažno potiče eozinofiliju, glavnu značajku imunskog odgovora na GI oblice. IL25 mogu proizvesti mnoge stanice, uključujući epitelne stanice, mastocite, eozinofile, bazofile, limfocite Th2 i limfocite CD8<sup>+</sup> T [5]. Izražaj IL25 mogu potaknuti komenzalne bakterije u crijevu i njegova uloga može biti ključna za održavanje homeostaze u crijevima i utišavanja IL23 vođene, IL17A posredovane upale [20].

Citokini, koje proizvode limfociti Th2, kao i navedene stanice urođenog imunskog odgovora, potiču snažne fiziološke promjene u zahvaćenim tkivima i regrutiraju makrofage, eozinofile i druge limfocite na mjesto infekcije. Kako bi se tkiva domaćina zaštitila od oštećenja tijekom upalnog procesa, pokreću se regulatorni odgovori koji služe kao povratna sprega i potiskuju efektorske stanice. Tijekom infekcije GI oblicima uz efektorski odgovor događa se razvoj regulatornih T stanica (Treg), koje imaju supresivnu ulogu, a ovakav tip odgovora često se naziva „modificiranim odgovorom Th2“ [5].

Budući da IL4 i IL13 dijele IL4R $\alpha$  potreban za njihovu signalizaciju, i oba citokina oslanjaju se na nizvodnu signalnu molekulu STAT6, imaju neke preklapajuće uloge u intestinalnim tkivima. IL4 i IL13 povećavaju propusnost sluznice, smanjuju apsorpciju glukoze i sekreciju klorida u epitelnom sloju, povećavaju odaziv na medijatore mastocita i izazivaju hiper-kontraksije glatkih mišića u ovisnosti o IL4R $\alpha$ /STAT6 [21], što u konačnici može rezultirati izbacivanjem GI oblica iz domaćina. IL4/IL13 signalizacija u crijevu vodi povećanom broju vrčastih stanica, koje luče mucine i RELM $\beta$  (prema engl. *resistin-like molecule- $\beta$* ). Mucini i RELM $\beta$  imaju važne uloge u posredovanju izbacivanja nametnika iz organizma tako da ometaju senzorne funkcije oblica i time uspostavljanje ekološke niše. IL4/IL13 također uzrokuju bržu izmjenu stanica epitela, sprječavajući oblica da se prihvati za epitelnu prepreku. Hiperplazija mastocita ovisna o odgovoru Th2 u crijevima, uz njihovu degranulaciju i posljedično oslobađanje proteaza, vodi disrupciji epitelne prepreke, povećavajući propusnost između stanica i izmjenu tekućine u lumenu. Kod nekih GI oblica (primjerice *H. polygyrus bakeri* i *T. spiralis*), ličinački stadiji nametnika mogu se probiti u intestinalno tkivo, što može rezultirati novačenjem stanica urođenog imunskog odgovora koje su povezane s upalom. IL4/IL13 ovisna aktivacija makrofaga može izazvati

alternativno aktiviran fenotip i sintezu arginaze. Arginazna aktivnost lišava lokalno područje od L-arginina i izaziva smanjenu vijabilnost ličinke, što olakšava uništenje nametnika [5].

Iako infekcije oblicima najčešće potiču „modificirani“ Th2/regulatorni stečeni imunosni odgovor, proupalni pomoćnički limfociti T, poput Th1 (koji proizvode citokin IFN- $\gamma$ ) i Th17 (koji proizvode IL17A, IL17F i IL22), mogu pridonijeti patologiji i patogenezi infekcije gastrointestinalnim oblicima. Mnogi gastrointestinalni oblici oštećuju epitelnu prepreku, što vodi izloženosti rezidentnih antigen-prezentirajućih stanica i drugih stanica s TLR izražajem produktima komenzalnih bakterija, prisutnima u velikom broju u crijevima. Uz infekciju oblicima, na ovaj način domaćin dobije snažan antigeni podražaj prisutnih mikrobnih patogena, što može voditi razvoju drugih oblika stečenog imunosnog odgovora [5].

U miševa, eksperimentalno inficiranih oblicima disrupcije Th2 odgovora, vode u promjenu regulacije imunoreakcije i poticanje proupalnog odgovora, što može uzrokovati razvoj štetne patologije. Primjerice, nedostatak jednog od ključnih Th2 ili regulatornih citokina, uključujući IL4 [22], IL10 [23], IL13 [24], kao i nedostatak sastavnica poput IL4R $\alpha$  i STAT6 [25], može uzrokovati nemogućnost razvoja zaštitne imunosti i posljedičnog razvoja neprikladnog proupalnog odgovora, karakteriziranog proizvodnjom IFN $\gamma$  i/ili IL17A. Nadalje, nedostatak regulatornog citokina IL10 u miševa inficiranih gastrointestinalnim oblicem *T. muris* [26] ili *T. spiralis* [27] vodio je razvoju bolesti koja nalikuje kolitisu, povezanoj s visokim morbiditetom i mortalitetom te ovisnoj o IFN $\gamma$  [5].

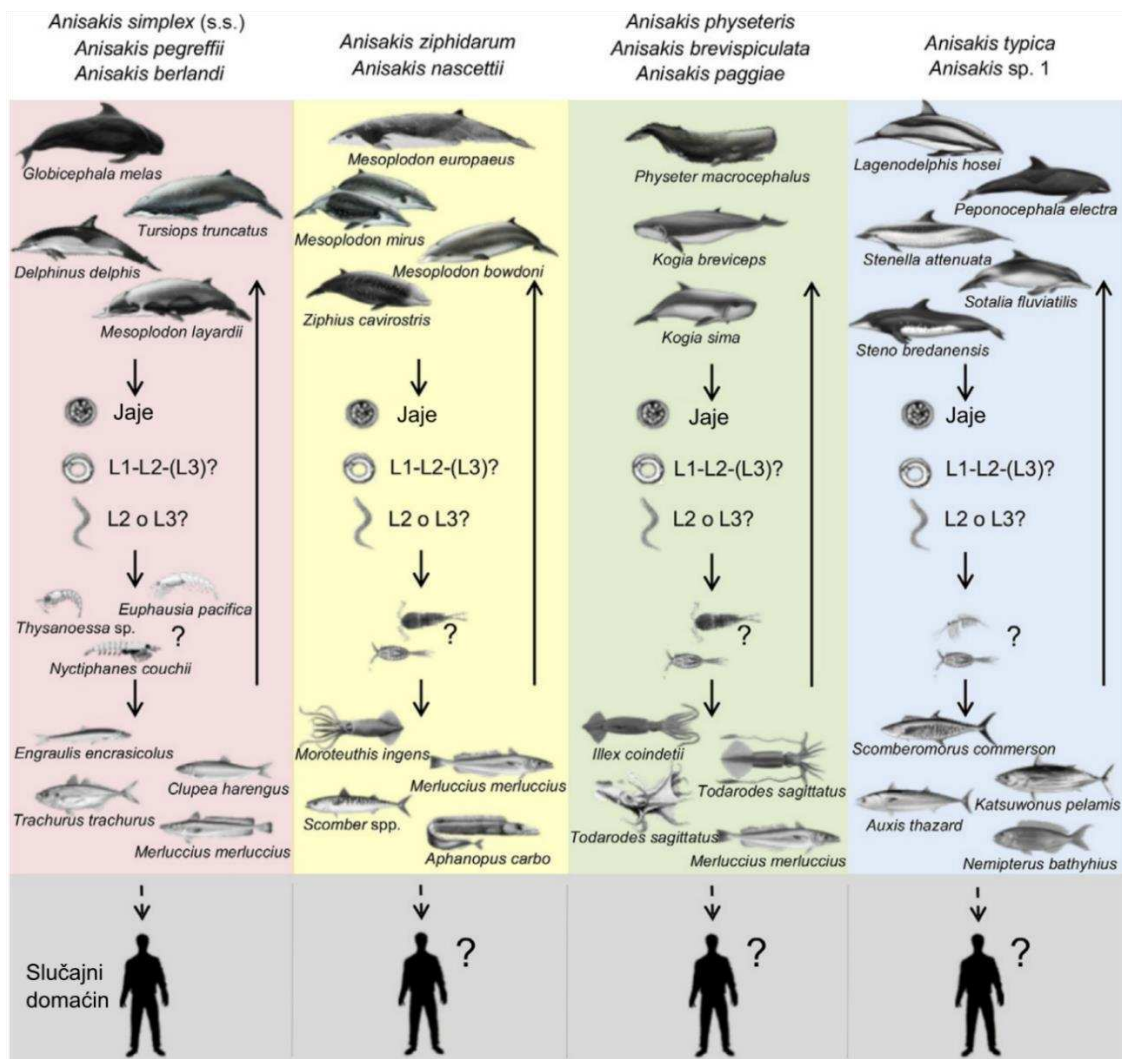
Međutim, imunosni odgovor netipičnog ili slučajnog domaćina oblića vjerojatno se neće razvijati jednako odgovoru domaćina koji su koevoluirali s nametnikom [3]. Anisakijaza je, prema tome, zanimljiv model istraživanja jer predstavlja slučajnu i prolaznu infekciju čovjeka ličinkom nametnika, gdje je potrebno istražiti stanične i molekularne mehanizme imunosnog odgovora da bi se razumio razvoj i ishod ove bolesti. U konačnici to može pomoći u razvoju učinkovite profilaktičke i terapijske strategije liječenja čovjeka. Istraživanja su pokazala da su patološke promjene koje se javljaju u gastrointestinalnom sustavu tijekom infekcije *Anisakis* ličinkom rezultat udruženog izravnog djelovanja ličinke tijekom invazije tkiva i složene interakcije između imunosnog sustava domaćina i tvari koje se oslobađaju, ili su sadržane unutar nametnika [28].

## 1.2 Biološke i ekološke karakteristike oblića *Anisakis* spp.

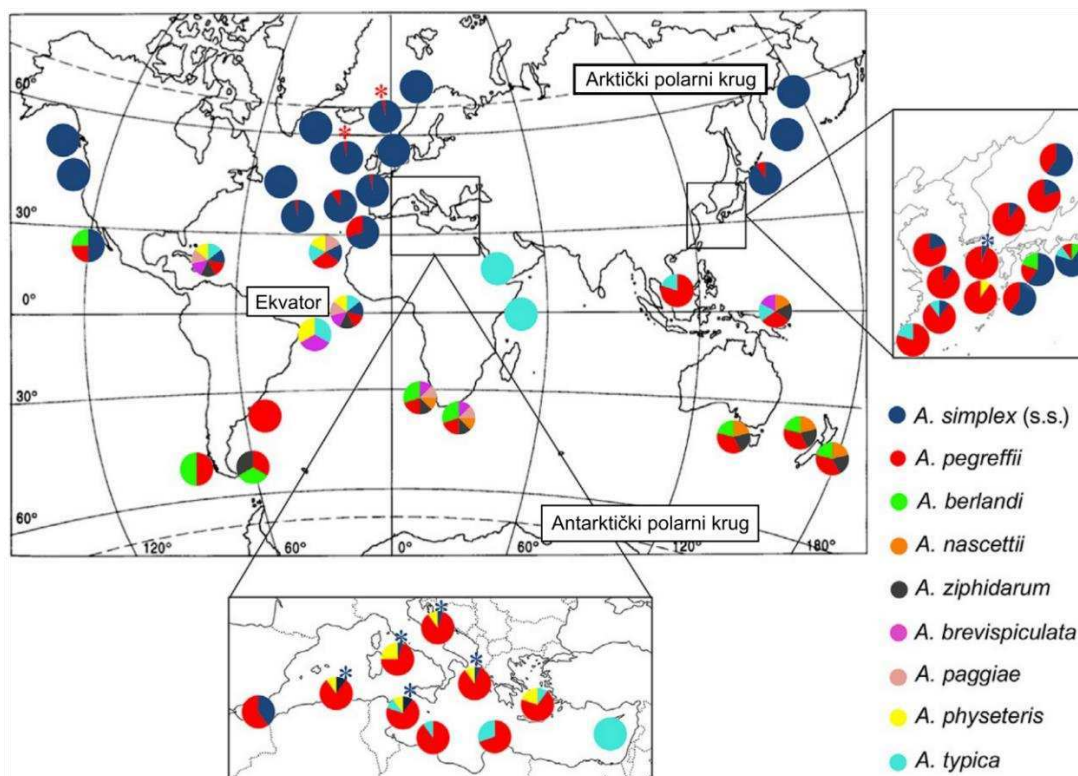
Životni ciklus *Anisakis* spp. nametnika, prikazan na **slici 1.1**, kao glavne (konačne ili krajnje) domaćine uključuje morske sisavce, najčešće kitove zubane, koji spadaju u porodice Delphinidae i Ziphiidae. U životni ciklus uključene su razne vrste morskih riba i glavonožaca kao paratenični domaćini, u kojima se ličinka ne razvija u idući stadij [29]. Dosad su oko 200 vrsta riba i 25 vrsta glavonožaca potvrđeni kao paratenični domaćini, a smatra se da bi većina vrsta morskih riba i glavonožaca mogla postati domaćinom *Anisakis* spp. nametnika [30,31]. Sistematski, dosad zabilježeni redovi riba u kojima je pronađena *Anisakis* spp. ličinka uključuju Gadiformes, Perciformes, Clupeiformes, Pleuronectiformes, Scorpaeniformes, Zeiformes, Bericiformes, Lophiiformes, Anguilliformes i Atheriniformes, a rijeđe i u nekim hrskavičnjačama. Što se tiče glavonožaca, najčešće se radi o porodici Ommastrephidae [32]. Razni beskralješnjaci, najčešće planktonski račići svjetlonošci, koji spadaju u porodicu Euphausiidae, intermedijarni su domaćini *Anisakis* spp., odnosno domaćini u kojima se zbiva jedno presvlačenje ličinki [29]. Životni ciklus počinje u glavnim domaćinima, morskim sisavcima, u kojima se odrasle jedinke *Anisakis* spp. odvojena spola razmnožavaju i oplodena jaja otpuštaju se zajedno s fecesom domaćina u morski okoliš. Iz embrioniranih jaja u morskom okolišu izvale se ličinke prvog stadija (L1), a zatim ličinke L2, koje jedu beskralješnjaci, najčešće planktonski račići. Prema Køie i suradnicima, ličinka je u jaju obavijena dvjema kutikulama, a autori smatraju da bi se već tada ličinka trebala nazivati L3 stadijem [33]. Ipak, većina autora smatra da se u planktonskim račićima ličinka presvlači još jednom i postaje ranom ličinkom trećeg stadija (L3) [34–36]. Intermedijarne domaćine zatim pojede neki od parateničnih domaćina, što može uključivati, kako je već navedeno, razne vrste riba i glavonožaca. *Anisakis* spp. ličinke L3 migriraju iz probavnih organa u visceralnu šupljinu, gdje se uglavnom spiraliziraju ispod ili unutar serozne ovojnice (peritoneuma), a ponekad migriraju i u muskulaturu [29]. Ribu ili glavonošca može izravno pojesti glavni domaćin i tada se L3 ličinka još dvaput presvlači i potom sazrijeva u odrasli oblik nametnika spreman za reprodukciju i zatvaranje životnog ciklusa oplodnjom. Život oblića *Anisakis* spp. u želucu kita može trajati od 2 do 3 mjeseca [37]. U eksperimentalnim uvjetima (medij RPMI, atmosferski zrak obogaćen s 5% CO<sub>2</sub>, pH = 4) bilo je potrebno između 3 i 4 dana da se ličinke L3 presvuku u L4, odnosno između 30 i 42 dana za L5. Dodatkom pepsina nakon 14 dana uzgoja, bio je potreban još 51 dan nakon presvlačenja u L5 da odrasla ženka počne polagati jaja [38].

Alternativno, ribu mogu pojesti piscivorne ribe. U tome slučaju ličinke L3 ponavljaju proces migracije iz probavnih organa i spiraliziraju se u visceralnoj šupljini, odnosno organima novog domaćina. Spekulira se da se ova pojava može ponoviti nekoliko puta, ovisno o dužini životnog vijeka ličinke koji nije sa sigurnošću utvrđen, ali može uzrokovati nakupljanje *Anisakis* spp. ličinki u predatorskih vrsta riba duž trofičke mreže [29]. Ljudi su slučajni domaćini nametnika iz obitelji Anisakidae, a mogu se zaraziti unosom sirove ili nedovoljno termički obrađene morske ribe i glavonožaca, u kojima je prisutna živa ličinka L3 *Anisakis* spp. Nametnici koji pripadaju obitelji Anisakidae, a povezani su s ljudskim slučajevima infekcije, spadaju u rodove: *Anisakis*, *Pseudoterranova* i *Contracaecum* [39]. Bolest se naziva anisakijazom ako je uzročnik vrsta iz *Anisakis* roda ili anisakidozom ako je uzročnik općenito iz obitelji Anisakidae [28,40].

Do danas je u svijetu potvrđeno devet vrsta *Anisakis* roda (**slika 1.1** i **slika 1.2**): *Anisakis simplex* (sensu stricto), *A. pegreffii*, *A. berlandi*, *A. typica*, *A. ziphidarum*, *A. nascettii*, *A. physeteris*, *A. brevispiculata* i *A. paggiae* [29,39,41,42], a geografska distribucija ovih nametnika, prema nalazu u gospodarski važnim vrstama riba, prikazana je na **slici 1.2**. Dosad se ove nametnike dijelilo na dva tipa ličinki, no noviji molekularni dokazi ukazuju na četiri skupine [29]. Za zdravlje ljudi najvažnija je skupina I, koja obuhvaća vrste *A. simplex* (s. s.), *A. pegreffii* i *A. berlandi* (**slika 1.1**).



**Slika 1.1** Shematski životni ciklus *Anisakis* spp., uključujući njihov zoonotski potencijal, neke od glavnih (kitovi), intermedijarnih i parateničnih domaćina (planktonski račići, glavonošci i ribe). Preuzeto iz literature [29] i prilagođeno hrvatskom jeziku uz dopuštenje izdavača.



**Slika 1.2** Relativna pojavnost vrsta *Anisakis* roda, prema različitim geografskim područjima, s uvećanim prikazom Sredozemnog mora i područja Japana. Podaci potječu od epidemioloških istraživanja vrsta *Anisakis* spp. u gospodarski važnim vrstama riba, identificiranim molekularnim metodama. Zvezdica označava da je riječ o migratornoj vrsti domaćina ribe, pa je nalaz vrste nametnika relativan u odnosu na područje izlova. Preuzeto iz literature [29] i prilagođeno hrvatskom jeziku uz dopuštenje izdavača.

### 1.3 Čovjek kao slučajni domaćin i razvoj anisakijaze

Anisakijaza je zoonotična bolest uzrokovana oblicem koji spada u *Anisakis* spp. rod, a ljudska populacija predstavlja slučajne domaćine koji se zaraze živom ličinkom trećeg stupnja konzumacijom sirove ili termički nedovoljno obrađene morske ribe ili glavonožaca [43]. Dosad zabilježeni uzročnici su vrste *A. simplex* (s.s.) i *A. pegreffii* (slika 1.3) [29]. Iako se ličinke ne mogu dalje razviti u adultni oblik u čovjeku, a presvlačenje u stadij L4 događa se jako rijetko [44], pacijenti mogu imati kliničke simptome infekcije [45], ali se ipak najčešće manifestira slabo do srednje izražena klinička slika i infekcija uglavnom završava izbacivanjem ličinke [46]. Nadalje, postoje i teži zabilježeni klinički simptomi, koji su uključivali promjene izazvane prodorom ličinke



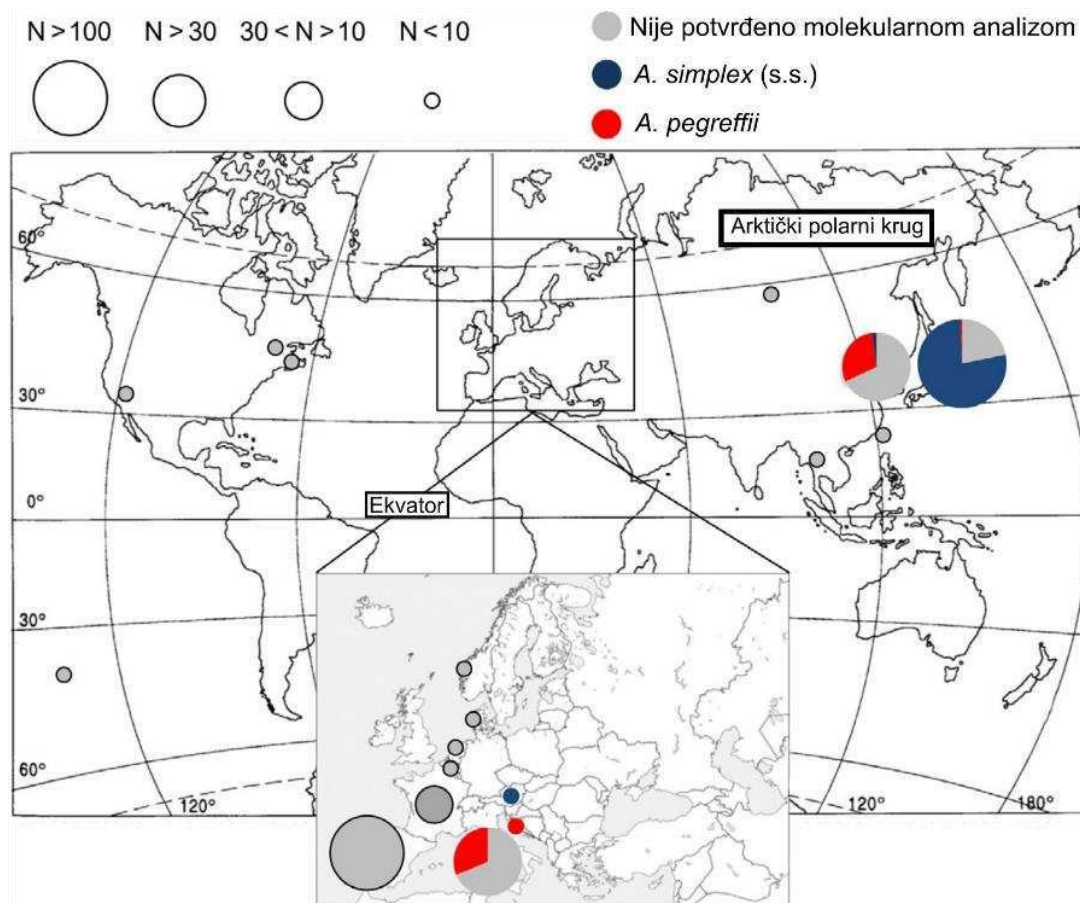
kroz sluznicu želuca, tankog i debelog crijeva, uzrokujući eozinofilni gastroenteritis, uz stvaranje eozinofilnih granuloma u sluznici [4,28,46].

Prilikom razvoja anisakijaze može doći do: (i) izbacivanja ličinke izvan organizma zajedno sa stolicom i/ili povraćanjem, bez izazvanih lezija gastrointestinalne sluznice; (ii) prihvaćanja/prodiranja/spiralizacije ličinke, najčešće u području gastrointestinalnog sustava, ili u rjeđim slučajevima, ličinka ektopično migrira u peritonealnu/pleuralnu šupljinu i spiralizira se u mezenteriju, jetri, gušterači, limfnim čvorovima, jajnicima i potkožnom tkivu [40,46,47]. S obzirom na mjesto lokalizacije žive ili uginule ličinke, simptomatska anisakijaza klasificira se kao gastrična, intestinalna, ektopična (ili izvangastrointestinalna) [40,46]. Nadalje, susret sa živom *Anisakis* L3 može dovesti do senzibilizacije imunosnog sustava čovjeka i kasnijih alergijskih reakcija pri svakom novom susretu s ličinkom. U malom broju slučajeva, osjetljivi pojedinci mogu reagirati znakovima preosjetljivosti, čak i nakon ingestije mrtvih i termički obrađenih ličinki [48]. Ovaj klinički oblik naziva se alergijskom/gastroalergijskom anisakijazom [46]. Moneo i suradnici [49] smatraju da bi se u petu vrstu anisakijaze trebali uvrstiti slučajevi senzibiliziranih asimptomatičnih osoba kod kojih nedostaje klinička slika bolesti, ali koji pokazuju povišen titar *Anisakis* spp. specifičnih IgE protutijela.

Gastrični oblik ove bolesti nastupa 1–12 sati nakon konzumacije inficirane ribe, a karakterizira ga epigastrična bol, mučnina i povraćanje [46]. Gastrointestinalni oblik može se pojaviti bez alergijske reakcije, popraćen boli i upalom, te se preporuča fizičko odstranjivanje ličinke kako bi se izbjegli kronični simptomi. Anthelmintici nisu uobičajen tretman anisakijaze, iako se albendazol u nekim slučajevima pokazao učinkovitim tretmanom [46]. U nedavno objavljenom slučaju anisakidoze u Sjedinjenim Američkim Državama osim pacijenta, profilaktički su tretirani albendazolom i članovi obitelji koji su jeli *gravlax* (jelo od sirovog lososa sa začinima) [50]. Gastroalergična anisakijaza može imati akutne alergijske simptome, od urtikarije ili angioedema do anafilakse, uz popratne blage gastrointestinalne simptome. U pravilu se ličinke povraćanjem ili proljevom izbace iz organizma, pa gastrokopija nije nužna [48,51]. Alergiju mogu izazvati somatski ili ekskretorno-sekretorni (ES) produkti *Anisakis* ličinki. Dosad je identificirano 14 *A. simplex* alergena (nazvani Ani s 1 do 14) [52], dok su istraživanja proteoma i transkriptoma *A. simplex* ličinki otkrila pregršt novih potencijalnih alergena [53,54]. Većina

prepoznatih alergena spadaju u ES produkte, a protutijela u ljudskim serumima kod pacijenata s alergijskim manifestacijama anisakijaze najčešće prepoznaju Ani s 1, Ani s 5 i Ani s 7 [55].

Intestinalni oblik pojavljuje se 5–7 dana nakon ingestije te je abdominalna bol najčešći simptom [40]. Smatra se da se pojavljuje u blagom ili težem obliku, a posljednji je vjerojatno uzrokovan ponovljenom infekcijom [56]. Teži oblik može biti popraćen alergijskom reakcijom i intestinalni zid može oteći 3–5 puta zbog edema i staničnog infiltrata. U tom su slučaju histološke promjene najizraženije oko mjesta lokalizacije ličinke, s upalnim edemom popraćenim eksudatom fibrina i hemoragičnim lezijama. Ličinke obično uginu kroz nekoliko dana u čovjeku i razgrade se kroz 8 tjedana. Na mjestu lokalizacije ličinke, nakon ugibanja, njezini ostaci okruženi su edemom, nekrozom, upalnim eozinofilnim infiltratom uz primjesu neutrofila, limfocita i monocita, te naslagama fibrina, što u konačnici rezultira stvaranjem granuloma [48]. Prema Audicana i Kennedy [28], hemoragične lezije prisutne su već nakon sat vremena, a 4 sata do 6 dana nakon infekcije *Anisakis* ličinkom u čovjeka nastaju erozivne lezije. Granulom se stvara od tjedan do dva tjedna nakon infekcije, popraćen ulceroznim lezijama. Potrebno je više od dva tjedna da ličinka uginu, a u tkivu se oko ostataka ličinke formiraju kronične ulceracije.



**Slika 1.3** Pojavnost slučajeva anisakijaze u svijetu, prema objavljenoj literaturi za razdoblje od 1960. do 2017. godine. Prikazani su samo slučajevi gdje je pronađena ličinka, dok slučajevi IgE-*Anisakis* preosjetljivosti nisu uzeti u obzir. Grafovi u obliku pita prikazuju relativnu proporciju slučajeva prema vrsti uzročnika (*A. pegreffii* i *A. simplex* (s.s.)), utvrđeno od 1999. do 2017.). Preuzeto iz literature [29] i prilagođeno hrvatskom jeziku uz dopuštenje izdavača.

### 1.3.1 Stanični i molekularni odgovor na *Anisakis* infekciju

Patološke promjene koje se događaju u gastrointestinalnom sustavu tijekom *Anisakis* spp. infekcije nastaju zbog udružena djelovanja patogenosti ličinki i interakcije imunskog sustava domaćina s antigenima koje je otpustila. S nametnikom se prvo susreću rezidentne antigenprezentirajuće stanice (poput dendritičnih stanica i makrofaga) u tkivima zahvaćenima prodorom *Anisakis* spp. ličinke [57]. Uz mehaničku disrupciju tkiva odvija se degradacija ekstracelularnog matriksa djelovanjem snažnih proteolitičkih enzima koje otpušta ličinka, koji pospješuju

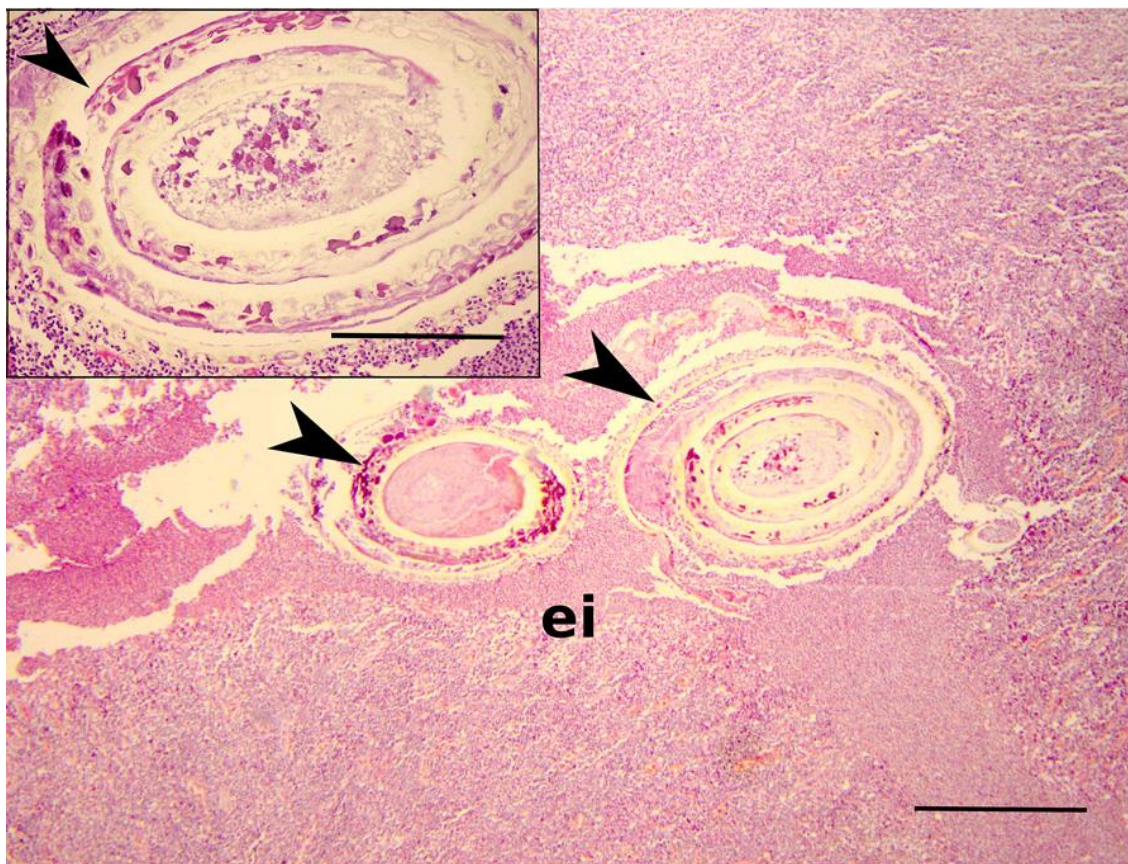
prodiranje i migraciju ličinke kroz gastrointestinalnu sluznicu i tkiva [28]. Pretpostavlja se da je ekspresija receptora TLR na epitelnim stanicama i aktiviranim dendritičnim stanicama prisutna prilikom anisakijaze [28], međutim zasad ne postoje konačni dokazi o kojim se točno receptorima radi. Većina dosad objavljenih znanstvenih radova histopatološki je opisivala prisutne lezije nastale prodorom *Anisakis* spp. ličinke [58–60] ili je analizirala alergijske reakcije [49,51,61–65], a rani odgovor domaćina prvi je put analiziran u ovom istraživanju na razini transkriptoma.

U uznapredovalom slučaju anisakijaze čovjeka, fibrozni i eozinofilni infiltrati najznačajnije su obilježje lokalnog upalnog odgovora. Eozinofili su posebno koncentrirani oko kutikule oblića (poglavito u oralnom dijelu, gdje su ES produkti lokalizirani), gdje oslobađaju citotoksične faktore, odgovorne za velik dio oštećenja tkiva domaćina na mjestu oko nametnika u akutnoj i kroničnoj fazi infekcije (**slika 1.4**). Eozinofilni granulomi opaženi su kod ljudi i životinjskih modela infekcije [28,58,59,66]. Tek u manje od 30% slučajeva anisakijaze zabilježena je i sustavna eozinofilija, za koju se smatra da je uobičajena kod gastrointestinalnih oblića [28,43]. Ostali tipovi stanica, koji se obično utvrđuju histopatološkim nalazima, uključuju mastocite, limfocite i plazme stanice [58].

Budući da je *Anisakis* vrlo specifičan nametnik u smislu raspona simptoma i oblika bolesti koje može izazvati, i preosjetljivost na njegove alergene varira s obzirom na istraživanu populaciju i najčešće izražene simptome. Istraživanje, koje je uspoređivalo prevalenciju IgE specifičnog za 5 odabranih *Anisakis* alergena među pacijentima na području Italije i Španjolske, utvrdilo je da obje populacije najčešće reagiraju na Ani s 1 alergen. Međutim, dok su svi španjolski pacijenti bili pozitivni na bar jedan od alergena, samo 76,2% talijanskih pacijenata imalo je pozitivnu reakciju. Među Talijanima je bio značajno veći broj pacijenata s gastrointestinalnim simptomima, dok su Španjolci češće imali urtikariju, angioedem ili anafilaksu. Autori smatraju da je razlog možda u češćem susretu Španjolaca s *Anisakis* ličinkom, jer je anisakijaza tu raširenija i opetovani susret s ličinkom ili njezinim ES produktima omogućava razvoj alergijske reakcije [65].

Da su razlike u kliničkim simptomima *Anisakis* senzibiliziranih pacijenata povezane s različitim Th1/Th2 odgovorom, testirano je u odnosu na ukupni proteinski ekstrakt i termostabilne proteine *A. simplex* nametnika. Istraživanje je provedeno na primarnoj staničnoj kulturi cijele krvi pacijenata senzibiliziranih na *A. simplex*, a kvantificirali su se citokini specifični za pojedini odgovor koristeći multipleks protočnu citometriju. IL4, IL5 i IL10 bili su indikatori Th2 odgovora,

a IL2, INF $\gamma$ , TNF $\alpha$  bili su indikatori Th1 odgovora. Više koncentracije IL2, IL4 i IL5 izmjerene su nakon stimulacije ukupnim proteinskim ekstraktom i termostabilnim proteinima kod svih pacijenata, u odnosu na kontrolu. Slično kao i u prethodno opisanoj studiji [65], pacijenti s gastrointestinalnim simptomima imali su niže ukupne i specifične razine IgE u odnosu na pacijente s urtikarijom/angioedemom ili anafilaksom. Skupina s urtikarijom/angioedemom ili anafilaksom imala je visoke razine IL4 i IL5 (indikativno za Th2 odgovor) i niži izražaj INF $\gamma$  u odnosu na skupinu s gastrointestinalnim simptomima. Nadalje, četiri pacijenta u skupini s gastrointestinalnim simptomima su s odmakom reagirali na test na koži (prema engl. *skin prick test*) i imali su jako nisku zabilježenu razinu IgE specifičnog za *A. simplex* i viši INF $\gamma$ /IL4 omjer u odnosu na ostatak skupine s gastrointestinalnim simptomima, a cijela skupina općenito je imala značajno viši INF $\gamma$ /IL4 omjer u odnosu na skupinu s urtikarijom/angioedemom ili anafilaksom [67]. Zaključno, postoje razlike u ravnoteži Th1/Th2 imunskog odgovora kod pacijenata senzibiliziranih na *A. simplex* u odnosu na izražene simptome bolesti. Različito ponašanje citokina s obzirom na kliničku sliku pacijenata ukazuje na to da imaju važnu ulogu u patogenezi *Anisakis* infekcije. Zanimljivo je da su termostabilni antigeni izazvali isti stanični odgovor kao i ukupni proteinski ekstrakt *A. simplex* nametnika, što ukazuje na rizik prilikom konzumiranja kuhane ribe u kojoj se nalazi nametnik.



**Slika 1.4** Histološki preparat tkiva pacijentice iz Šibenika s identificiranom *Anisakis pegreffii* ličinkom. Prikazan je dio zida debelog crijeva u kojem se nalazi degradirano tijelo spiraliziranog oblića *A. pegreffii* (crne strelice) i intenzivna eozinofilna infiltracija (ei). Duljina oznake = 100  $\mu$ m. Gornji lijevi ugao: Obilježeno propadanje kutikule oblića (strelica). Duljina oznake = 20  $\mu$ m. Hematoksilin-eozin bojanje. Preuzeto iz literature [59] uz dopuštenje izdavača.

#### 1.4 Srdela kao gospodarski važna mala pelagična vrsta ribe i potencijalni izvor *Anisakis* spp. infekcije ljudi

Ribarska industrija u Europskoj uniji (EU) peta je po veličini u svijetu, gdje se svake godine preradi gotovo 5 milijuna tona ulovljenih divljih riba. Ribarstvo i prerada ribe osiguravaju radna mjesta za najmanje 275 000 ljudi. Štoviše, EU je među vodećim ribarskim tržištima u svijetu s uvozom ribe i ribljih proizvoda od oko 21 milijardu eura u 2014., uz tendenciju porasta, što je više od 40% vrijednosti svjetskog uvoza ribe [68,69]. Prosječna potrošnja ribljih proizvoda u zemljama

članicama EU-a u 2011. godini iznosila je 24,9 kg/osobi, iako godišnja stopa potrošnje po glavi stanovnika varira od 5,3 kg u Mađarskoj do 56,8 kg u Portugalu [68,69]. Međutim, neke od najznačajnijih vrsta riba na lovnom području europske ribarske industrije izložene su riziku infekcije nametnicima, koji na taj način preko ribarnica dopijevaju i do potrošača. Polazeći od općeprihvaćena stava da je prevencija najbolja strategija za izbjegavanje senzibilizacije ljudi putem morske hrane zaražene nametnicima roda *Anisakis* spp., potrebno je smanjiti vjerojatnost pojavnosti nametnika u ribljem mesu namijenjenom neposrednoj konzumaciji, ali i preradi. Genetička identifikacija vrste nametnika i određivanje prevalencije i intenziteta infekcije gospodarski važnih vrsta riba od ključne su važnosti za kvantitativnu procjenu i prikladne mjere smanjenja rizika.

U sredozemnoj regiji, srdela *Sardina pilchardus* gospodarski je vrijedna mala pelagična riba, koja se lovi plivaricama i pelagičnim kočama. Jako je bitna za ribarstvo na području Jadranskog mora jer je sačinjavala 41% ukupne jadranske lovine, zajedno s inćunom, u razdoblju od 1970. do 2005. godine [70]. Prema Organizaciji za prehranu i poljoprivredu pri Ujedinjenim narodima (FAO prema engl. *Food and Agriculture Organization of the United Nations*), ukupna lovina srdele u Jadranskome moru u 2014. godini iznosila je 75.000 tona, dok je na cijelom Sredozemnome moru dosegla 187.171 tona [71]. Srdele se na tržnicama mogu naći svježe, zamrznute ili konzervirane. Jedu se sušene, soljene, dimljene, marinirane, pečene, pržene i kuhane. U zemljama zapadnog Sredozemlja, poput Španjolske, Portugala, Francuske ili Italije, češće se jedu svježe (marinirane, dimljene, pečene ili pržene) [72], dok u Hrvatskoj jela s dodatkom slanah ili mariniranih srdela predstavljaju čest specijalitet domaćih trpeza i restorana. Jedu se još i svježe pečene ili pržene te konzervirane.

Dosadašnja istraživanja prevalencije oblića *Anisakis* spp. u srdelama na području sredozemnih zemalja pokazala su znatnu varijabilnost [72–75], u rasponu od 0% u Ligurskome moru [75] do 28,3% na atlantskoj obali Španjolske [72]. Epidemiološko istraživanje stupnja senzibilizacije zdravog priobalnog stanovništva Dalmacije na *Anisakis* spp. antigene Ani s 1 i Ani s 7, ukazalo je na postojanje *Anisakis* infekcije u tom području, a dovedeno je u vezu s konzumacijom marinirane ili soljene ribe pripremljene u domaćinstvima [76]. Među pacijentima s alergijom koji su doživjeli anafilaktički šok u Španjolskoj, bar četiri slučaja specifično su

povezana s konzumacijom kuhanih ili konzerviranih srdela [28]. Nadalje, konzumacija mariniranih srdela navedena je u anamnezi tri slučaja akutne anisakijaze u Španjolskoj [72,77,78].

Iako Japan prednjači kao zemlja s najvećim brojem zabilježenih slučajeva anisakijaze [40,79], nekoliko slučajeva zabilježeno je u sredozemnim zemljama, osobito u Italiji i Španjolskoj [80–82]. U nekoliko istraživanja na zdravim ljudima, u Španjolskoj je opažena visoka prevalencija anti-*Anisakis* IgE protutijela (12 – 22%), što je povezano s velikom količinom ribe u svakodnevnoj prehrani španjolske populacije [83,84]. U posljednje vrijeme sve veću pozornost dobiva incun kao potencijalni izvor *Anisakis* spp. infekcije čovjeka, što je potvrđeno u nedavno provedenoj kvantitativnoj analizi procjene rizika s obzirom na konzumaciju prethodno nezamrznutih sirovih ili mariniranih incuna u španjolskoj populaciji. Temeljeno na prevalenciji *Anisakis* ličinki u mišićju incuna od 13,13%, smatra se da broj slučajeva anisakijaze u španjolskoj populaciji doseže između 7700 i 8320 slučajeva godišnje [85]. Za usporedbu, procijenjena je učestalost anisakijaze u Japanu, temeljena na prijavljenim kliničkim slučajevima, oko 2000 slučajeva godišnje, u Južnoj Koreji 200 slučajeva godišnje, dok se za neke europske zemlje procjene kreću od 20 [86] do 500 slučajeva godišnje [49]. Nedavno objavljen sustavni pregled literature o epidemiologiji nematodijaza prenosivih hranom na području EU-a za razdoblje od 2000. do 2016. godine, prijavilo je ukupno 236 autohtonih kliničkih slučajeva anisakijaze. Većina navedenih slučajeva zabilježena je u Španjolskoj (158 ili 66,9%) i Italiji (67 ili 28,4%) [87]. Međutim, prema Cavallero i suradnicima [88], broj zabilježenih kliničkih slučajeva anisakijaze, na temelju otpusnih pisama iz talijanskih bolnica od 2005. do 2015. godine, bio je 370, što je znatno više od procjene obavljena sustavnog pregleda literature [87]. Suprotno tomu, u retrospektivnom istraživanju za razdoblje od 2010. do 2014. godine, identificirano je 37 kliničkih slučajeva anisakidoze u francuskim bolnicama. Drugim riječima, u Francuskoj je zabilježeno 0,62 slučaja/mjesec ili 7,4 slučaja/godinu, a najčešće su pogođene osobe prosječne dobi 42 godine (raspon 11 – 69 godina) i ženskog spola [89]. Uzme li se u obzir procjena kvantitativne analize rizika [85], trenutna prognoza broja slučajeva na području Europe znatno podcjenjuju broj stvarnih slučajeva.



## 1.5 Upotreba modelnih organizama u istraživanjima *Anisakis* spp.

Dosadašnja istraživanja na eksperimentalnim modelima infekcije koristila su ribe s ciljem usporedbe patogenosti dviju vrsta oblića povezanih s ljudskim slučajevima anisakijaze, *A. pegreffii* i *A. simplex* (s.s.) [90] te određivanjem osjetljivosti ribe kao domaćina [91,92]. Zanimljiv je primjer nedavno objavljeno istraživanje o utjecaju *Anisakis simplex* ES produkata na eksperimentalno izazvanom kolitisu u zebrice [93]. Često korišten model su i miševi [94], najčešće u istraživanjima alergnosti [95–97]. Eksperimentalno zaraženi štakori kao modelni organizmi u istraživanju *Anisakis* infekcije dosad su korišteni za usporedbu patogenosti različitih *Anisakis* vrsta [98–100] ili patogenog potencijala žive ličinke u usporedbi s kuhanim i zaleđenim *Anisakis* ličinkama [101]. Prekretnicu u istraživanjima svakako je pružilo uvođenje orogastričnog puta infekcije štakora živom *Anisakis* ličinkom, koji simulira put zaraze kod čovjeka [66]. Glavnina dosad objavljenih istraživanja na štakorima bavi se alergnim potencijalom cijele ličinke ili određenih spojeva ili produkata *Anisakis* ličinki [102,103] te utjecajem prirodnih i sintetičkih kemijskih spojeva na *Anisakis* ličinke u ovome životinjskom modelu [104,105]. Modeli glodavaca za infekcije intestinalnim oblicima pokazali su se relevantnima u mapiranju stanične i molekularne osnove zaštitnih mehanizama sisavaca [106]. Osim toga, prethodna istraživanja potvrdila su da infekcija oblicem *Anisakis* spp. kod štakora dovodi do razvoja slične patologije kao kod ljudi [48]. Smatra se da su miševi prikladan *in vivo* model za istraživanje alergijskih reakcija na *Anisakis* spp., a senzibilizacija se najčešće postiže injektiranjem određenih alergena, ES produkata ili ukupnog proteinskog ekstrakta. Iako je optimizirana orogastrična intubacija jedne žive *Anisakis* ličinke u miša [94], štakorski model prikladniji je za intubaciju većeg broja ličinki po jednoj životinji [66], smanjujući na taj način potreban broj životinja u eksperimentu, u skladu s načelom „3R“ (potječe od engl. riječi: *replacement* – zamjena, *reduction* – smanjenje i *refinement* – poboljšanje).

## 2. Ciljevi i hipoteze

Ciljevi istraživanja na modelnom slučajnom domaćinu bili su:

- opisati histopatološke promjene u Sprague-Dawley štakora na mjestu prodora infektivne ličinke trećeg stadija oblića *Anisakis pegreffii* prilikom eksperimentalne infekcije;
- kvalitativno i kvantitativno opisati transkriptome inficiranih tkiva upotrebom RNA sekvenciranja.

Nulta hipoteza istraživanja modelnog slučajnog domaćina glasi da ne postoji razlika u izraženim genima između inficiranog tkiva i pripadajuće zdrave kontrole eksperimentalno inficiranih štakora obličem *A. pegreffii*.

Ciljevi istraživanja na parateničnom domaćinu bili su utvrditi:

- prevalenciju, abundanciju i intenzitet infekcije ličinke trećeg stadija oblića *A. pegreffii* u srdeli (*Sardina pilchardus*) tijekom dvogodišnjeg uzorkovanja u Jadranskom moru i jednogodišnjeg uzorkovanja u zapadnom Sredozemnom moru;
- odnos abundancije nametnika i duljine ribe;
- distribuciju nametnika u fileima u odnosu na visceralne organe;
- čimbenike koji mogu utjecati na modele analize rizika za razvoj anisakijaze.

Nulta hipoteza istraživanja parateničnog domaćina, odnosno srdele *S. pilchardus*, glasi: Ne postoji razlika u prevalenciji i intenzitetu infekcije srdele obličem *A. pegreffii* s obzirom na duljinu ribe, godinu uzorkovanja i geografsko područje.

### 3. Metode i materijal

#### 3.1 Analiza transkriptoma eksperimentalno inficiranih štakora oblicem *Anisakis pegreffii*

##### 3.1.1 Etika u istraživanju

Sve eksperimente na životinjama i primijenjene protokole odobrili su Etički odbor Medicinskog fakulteta Sveučilišta u Splitu (registracijski broj 2181-198-03-04-18-004), kao i Ured za veterinarstvo i sigurnost hrane Ministarstva poljoprivrede Republike Hrvatske (registracijski broj 525-10/0255-16-7). Svi eksperimenti na štakorima provedeni su u Nastambi za laboratorijske životinje Sveučilišta u Splitu (broj dozvole HR-POK-019), gdje su uzgajani u parovima, u plastičnim kavezima sa steljom od piljevine i kukuruza. Životinje su održavane u kontroliranom okolišu, s hranom i vodom *ad libitum*, temperaturom od  $22 \pm 1$  °C, i ciklusom od 12 sati dana i 12 sati noći. Životinje su odvojene u pojedinačne kaveze i lišene hrane 24 sata prije eksperimentalne infekcije.

##### 3.1.2 Prikupljanje *Anisakis pegreffii* ličinki i eksperimentalna infekcija

Ličinke trećeg stadija oblića *Anisakis pegreffii* prikupljene su iz svježe ulovljene ugotice pučinke, lat. *Micromesistius poutassou*, iz ribolovne zone C1 u Jadranskome moru (FAO 37.2.1). Ugotice pučinke su u jutarnjim satima na dan infekcije isporučene na ledu u Laboratorij za akvakulturu, Institut za oceanografiju i ribarstvo u Splitu. Vidljivo aktivne ličinke odabrane su, isprane nekoliko puta u fiziološkoj otopini i provjerene pod Olympus BX 40 svjetlosnim mikroskopom, (Olympus Corp., Shinjuku, Tokyo, Japan), kako bi se potvrdilo da nije došlo do oštećenja kutikule tijekom skupljanja. Protokoli za intubaciju želuca štakora i pripremu sonde usvojeni su iz literature [66]. Odabrane ličinke (N = 10) unesene su u prethodno pripremljene želučane sonde.

Preliminarni eksperiment služio je za procjenu vremenskog tijeka infekcije *Anisakis* ličinkama, a korištena procedura bila je jednaka onoj koja je korištena u kasnijoj eksperimentalnoj infekciji, pojašnjenom detaljnije u idućem odlomku. Preliminarno ispitivanje provedeno je na 15 ženki Sprague-Dawley štakora (prosječna masa  $197 \pm 13.6$  g, tri životinje po vremenskoj točki), a točke uzorkovanja bile su 6, 10, 24, 48 i 72 sata nakon intubacije ličinki. Na temelju rezultata preliminarnog istraživanja, trajanje glavnog eksperimenta skraćeno je na 32 sata nakon infekcije. Smanjen je i početno planiran broj životinja u kontrolnoj skupini, jer je dizajn eksperimenta preusmjeren na endogenu (internu) kontrolu. Ista podrazumijeva uzorkovanje zdravog tkiva *Anisakis*-inficiranog štakora iz kojeg je prethodno uzet uzorak inficiranog tkiva, odnosno lezije. U glavnom eksperimentu sve su životinje bili mužjaci.

Svaka točka uzorkovanja u glavnom eksperimentu (6, 10, 18, 24 i 32 sata nakon infekcije) uključivala je sedam štakora, od toga pet inficiranih s 10 *Anisakis* ličinki te dva intubirana s 1,5 ml fiziološke otopine (N = 35, prosječna masa  $207 \pm 20,1$  g). Životinje su prije intubacije anestetizirane intraperitonealnom injekcijom mješavine anestetika i analgetika (Ketaminol, Richter Pharma AG, Wels, Austrija, 50 – 100 mg/kg; i Xylapan, Vetoquinol UK Ltd, Buckingham, Velika Britanija, 5 – 10 mg/kg) te im se injektirala dodatna doza Ketaminola (Richter Pharma AG, Wels, Austrija, 50 – 100 mg/kg) ukoliko je test refleksa štipanja nožnih prstiju bio pozitivan. Usmrcavanje životinja prethodilo je uzorkovanju tkiva, provedeno visokom dozom anestetika Ketaminola (Richter Pharma AG, Wels, Austrija, >150 mg/kg) i dekapitacijom. Uzorci tkiva štakora (**tablica 3.1**) i prikupljene *A. pegreffii* ličinke isprani su u fiziološkoj otopini i odmah pohranjeni u TriReagentu (Ambion Inc., Invitrogen, Carlsbad, CA, SAD) na  $-80$  °C.

### 3.1.3 Priprema tkiva za polutanke preparate

Za histopatološku analizu, mali komadići želuca (N = 5) i abdominalnog mišićja (N = 2) štakora koji su pokazali lezije uzrokovane prodiranjem *A. pegreffii* ličinke, skupljeni su i fiksirani u 4% paraformaldehidu u 0,1 M fiziološkoj otopini puferiranoj fosfatnim puferom (PBS) na ledu. Uzorci tkiva postfiksirani su u 1% osmijetetroksidu ( $\text{OsO}_4$ ) i dehidrirani u nizu otopina acetona rastućih koncentracija te se dehidrirano tkivo prošlo Durcopan smolom (Honeywell-Fluka,

Morris Plains, NJ, SAD). Blok tkiva rezaao se na ultramikrotomu RMC Products MTX (Boeckeler Instruments, Inc., Tucson, AZ, SAD). Pripremljeni polutanki prerezi (500 nm) zatim su obojeni 1% otopinom toluidinskog modrila i pretraženi svjetlosnim mikroskopom Olympus BX 40 (Olympus Corp., Shinjuku, Tokyo, Japan). Polutanki prerezi fotografirani su Olympus Camedia kamerom (Olympus Corp., Shinjuku, Tokyo, Japan), te su fotografije uređene u programu Photoshop CS 5 (Adobe Systems, San Jose, CA, SAD).

#### 3.1.4 Izolacija RNA i DNA

Ukupna RNA izolirana je korištenjem TriReagent (Ambion Inc., Invitrogen, Carlsbad, California, SAD) otopine prema uputama proizvođača. Ukratko, ručno usitnjeni uzorci tkiva želuca i mišića štakora (30 – 40 mg) potpuno su homogenizirani u 1 ml TriReagent otopine (Ambion Inc., Invitrogen, Carlsbad, California, SAD) s pomoću MagNA Lyser instrumenta (Roche Diagnostics, Basel, Švicarska), koristeći se programom homogenizacije od  $2 \times 5$  sekunda na 6000 g. Nakon 10 minuta centrifugiranja na 4 °C i prebacivanja supernatanta u čistu plastičnu tubicu od 1,5 ml, u svaki uzorak dodano je 300 µl kloroforma. Uzorci su nakon toga protreseni 15 sekunda na vorteks aparatu, inkubirani 10 minuta na sobnoj temperaturi i centrifugirani 20 minuta na 13.000 okretaja u minuti na 4 °C. Vodeni sloj oprezno je prebačen u čiste plastične tubice te je dodan jednak volumen izopropilnog alkohola. Uzorci su nekoliko puta okrenuti, inkubirani 10 minuta na sobnoj temperaturi i centrifugirani 8 minuta na 13.000 okretaja u minuti na 4 °C. Supernatan je pažljivo uklonjen i na precipitirani RNA talog dodano je 1000 µl 75% etilnog alkohola. Uzorci su zatim inkubirani na ledenom postolju pola sata uz povremeno okretanje tubica, kako bi se talog što bolje isprao. Nakon toga uzorci su centrifugirani 5 minuta na 13.000 okretaja u minuti na 4 °C i sva tekućina oprezno je uklonjena, talog RNA osušen je na zraku za 3 – 5 minuta i otopljen u 20 – 40 µl vode slobodne od RNaza/DNaza (Merck Millipore, Billerica, MA, SAD).

Prema kvaliteti izolirane RNA (provjera kvalitete objašnjena u idućem poglavlju), za daljnju analizu transkriptoma odabrana su tkiva želuca i mišića štakora s vidljivim lezijama uzrokovanim prodorom ličinki nametnika, odnosno gdje su bile uočene teške upalne/hemoragijske lezije. Iz istih životinja skupljeni su uzorci za endogene kontrole (koje su

označene u tekstu kao zdrava tkiva ili kontrole), odnosno zdrava želučana i mišićna tkiva uzorkovana s mjesta bez lezije, ali komplementarna mjestu prodora ličinke. Ove kontrole korištene su u svim statističkim analizama za usporedbu sa zaraženim tkivima. Detalji o analiziranim uzorcima želučanih i mišićnih tkiva navedeni su u **tablici 3.1**. Želudac je obuhvaćao veliku krivinu (kurvaturu), fundus, pilorički antrum i pilorički kanal. Mišićna tkiva obuhvaćala su abdominalne, dorzalne, interkostalne mišiće i dijafragmu. U nastavku teksta prilikom korištenja izraza „želudac“ i „mišić“ misli se na transkriptome skupnih uzoraka. Osim navedenih, RNA je izolirana iz istih tkiva neinficiranih štakora (vanjske kontrole, nadalje ponekad nazvane i neinficirane, kako bi se izbjegla zamjena s endogenim kontrolama). Pripremljeni su skupni uzorci inficiranih i zdravih dijelova tkiva želuca (N = 8, 4 testna i 4 kontrolna) i mišića (N = 6, 3 testna i 3 kontrolna) životinja koje su bile eksperimentalno inficirane, te skupni uzorak po tkivu koji služi kao vanjska kontrola, a sadržava tkiva neinficiranih životinja iz svih vremenskih točaka.

**Tablica 3.1** Detaljni opis skupnih uzoraka pripremljenih za RNA sekvenciranje. Navedeno je stanje, broj (N) bioloških replika u skupnom uzorku, uparivanje s komplementarnim kontrolnim tkivom, vrijeme uzorkovanja nakon početka eksperimenta (u satima) i opis bioloških replika. Uzorci koji potječu od štakora intubiranih s fiziološkom otopinom označeni su kao nezaraženi.

| ID   | Tkivo | Stanje           | N replika u uzorku | Uparivanje | Uzorkovanje (h) | Opis                |
|------|-------|------------------|--------------------|------------|-----------------|---------------------|
| 1_M  | mišić | Zahvaćen         | 3                  | M1         | 6               | abdominalni mišić   |
|      |       | prodorom ličinke |                    |            | 24              | dorzalni mišić      |
|      |       |                  |                    |            | 32              | interkostalni mišić |
| 2_M  | mišić | Zahvaćen         | 3                  | M2         | 18              | abdominalni mišić   |
|      |       | prodorom ličinke |                    |            | 24              | abdominalni mišić   |
|      |       |                  |                    |            | 32              | dijafragma          |
| 3_M  | mišić | Zahvaćen         | 3                  | M3         | 18              | abdominalni mišić   |
|      |       | prodorom ličinke |                    |            | 24              | abdominalni mišić   |
|      |       |                  |                    |            | 32              | abdominalni mišić   |
| 1K_M | mišić | Kontrola         | 3                  | M1         | 6               | abdominalni mišić   |
|      |       |                  |                    |            | 24              | dorzalni mišić      |
|      |       |                  |                    |            | 32              | interkostalni mišić |
| 2K_M | mišić | Kontrola         | 3                  | M2         | 18              | abdominalni mišić   |
|      |       |                  |                    |            | 24              | abdominalni mišić   |

|      |         |           |   |    |    |                     |
|------|---------|-----------|---|----|----|---------------------|
|      |         |           |   |    | 32 | dijafragma          |
|      |         |           |   |    | 18 | abdominalni mišić   |
| 3K_M | mišić   | Kontrola  | 3 | M3 | 24 | abdominalni mišić   |
|      |         |           |   |    | 32 | abdominalni mišić   |
|      |         |           |   |    | 10 | abdominalni mišić   |
|      |         |           |   |    | 18 | abdominalni mišić   |
|      |         |           |   |    | 18 | abdominalni mišić   |
|      |         |           |   |    | 24 | дорзални мишић      |
| K0_M | mišić   | Nezaražen | 9 | M0 | 24 | abdominalni mišić   |
|      |         |           |   |    | 24 | abdominalni mišić   |
|      |         |           |   |    | 32 | interkostalni mišić |
|      |         |           |   |    | 32 | abdominalni mišić   |
|      |         |           |   |    | 32 | dijafragma          |
|      |         | Zahvaćen  |   |    | 6  | velika krivina      |
| 1_S  | želudac | prodorom  | 4 | S1 | 18 | velika krivina      |
|      |         | ličinke   |   |    | 24 | fundus              |
|      |         |           |   |    | 32 | pilorički antrum    |
|      |         | Zahvaćen  |   |    | 6  | pilorički kanal     |
| 2_S  | želudac | prodorom  | 4 | S2 | 18 | velika krivina      |
|      |         | ličinke   |   |    | 24 | fundus              |
|      |         |           |   |    | 32 | velika krivina      |
|      |         | Zahvaćen  |   |    | 6  | fundus              |
| 3_S  | želudac | prodorom  | 4 | S3 | 18 | velika krivina      |
|      |         | ličinke   |   |    | 24 | velika krivina      |
|      |         |           |   |    | 32 | velika krivina      |
|      |         | Zahvaćen  |   |    | 6  | fundus              |
| 4_S  | želudac | prodorom  | 4 | S4 | 6  | fundus              |
|      |         | ličinke   |   |    | 24 | velika krivina      |
|      |         |           |   |    | 24 | velika krivina      |
|      |         |           |   |    | 6  | velika krivina      |
| 1K_S | želudac | Kontrola  | 4 | S1 | 18 | velika krivina      |
|      |         |           |   |    | 24 | fundus              |
|      |         |           |   |    | 32 | pilorički antrum    |

|      |         |           |   |    |    |                  |
|------|---------|-----------|---|----|----|------------------|
|      |         |           |   |    | 6  | pilorički kanal  |
| 2K_S | želudac | Kontrola  | 4 | S2 | 18 | velika krivina   |
|      |         |           |   |    | 24 | fundus           |
|      |         |           |   |    | 32 | velika krivina   |
|      |         |           |   |    |    |                  |
| 3K_S | želudac | Kontrola  | 4 | S3 | 6  | fundus           |
|      |         |           |   |    | 18 | velika krivina   |
|      |         |           |   |    | 24 | velika krivina   |
|      |         |           |   |    | 32 | velika krivina   |
| 4K_S | želudac | Kontrola  | 4 | S4 | 6  | fundus           |
|      |         |           |   |    | 6  | fundus           |
|      |         |           |   |    | 24 | velika krivina   |
|      |         |           |   |    | 24 | velika krivina   |
| K0_S | želudac | Nezaražen | 4 | S0 | 6  | pilorički antrum |
|      |         |           |   |    | 6  | fundus           |
|      |         |           |   |    | 24 | velika krivina   |
|      |         |           |   |    | 32 | pilorički kanal  |

Kako bi se potvrdila vrsta nametnika roda *Anisakis*, korištenih u ovom eksperimentu, odabrano je 14 ličinki uzorkovanih u procesu prodiranja želuca ili mišića, kojima je izolirana DNA iz TriReagent otopine (Ambion Inc., Invitrogen, Carlsbad, California, SAD), prema uputama proizvođača. Nakon odvajanja vodene faze (prema protokolu prethodno opisanom u ovom poglavlju), uzorci su se centrifugirali 5 minuta na 13.000 okretaja u minuti na 4 °C. Svi ostaci vodene faze pažljivo su uklonjeni da se spriječi kontaminacija uzoraka DNA putem RNA. Zatim je dodano 250 µl BEB pufera (prema engl. *back extraction buffer*) uz treskanje od 1 minute na vorteks uređaju. Nakon centrifugiranja 20 minuta na 13.000 okretaja u minuti na 4 °C, skupljen je vodeni sloj te je na njega dodan jedan volumen izopropilnog alkohola. Uzorci su promiješani, inkubirani 5 minuta na sobnoj temperaturi i centrifugirani 15 minuta na 13.000 okretaja u minuti na 4 °C. Uklonjen je supernatant i na pelet je dodano 500 µl 70% etilnog alkohola te su uzorci nekoliko puta okrenuti i centrifugirani 10 minuta na 13.000 okretaja u minuti. Alkohol je oprezno uklonjen i uzorci su nakon sušenja otopljeni u odgovarajućem volumenu (20 – 30 µl, ovisno o količini vidljiva taloga DNA) TE pufera (0,05 M Tris-HCl, 1 mM EDTA).



Izolirana DNA korištena je za određivanje polimorfizma duljine restrikcijskih fragmenata (prema engl. *Restriction Fragment Length Polymorphism* - RFLP) na ITS (prema engl. *internal transcribed spacers*) regiji ribosomske DNA. ITS regija umnožena je lančanom reakcijom polimeraze (PCR) prema protokolu: početna denaturacija DNA na 94 °C 10 minuta, zatim 30 ciklusa koji su uključivali denaturaciju 30 sekundi na 94 °C, 30 sekundi spajanja početnica s kalupom na 56 °C i 75 sekundi produženja lanaca na 72 °C. Završno produženje lanaca trajalo je 7 minuta. Prisutnost produkta provjerena je na 1% agaroznom gelu, te su se potom uzorci (2 µl PCR produkta) inkubirali 3 sata na 37 °C s restrikcijskim enzimom *HinfI* i vizualizirali na 2% agaroznom gelu. RFLP uzorak karakterističan za hibridni genotip *Anisakis simplex* (sensu stricto) × *A. pegreffii* (fragmenti od 620-370-300-250 parova baza) [107] uočen je za jednu ličinku, dok je RFLP uzorak karakterističan za vrstu *A. pegreffii* (fragmenti od 370-300-250 parova baza) [107] potvrđen kod ostalih ličinki.

### 3.1.5 Priprema cDNA knjižnice i Illumina sekvenciranje

Ukupna RNA poslana je na suhom ledu u Laboratorij za naprednu genomiku (Institut Ruđer Bošković, Zagreb), koji je pužio uslugu provjere kakvoće uzoraka i RNA sekvenciranja. Koncentracija, čistoća i cjelovitost RNA određena je uporabom Agilent 2100 Bioanalyzer (Agilent Technologies, Santa Clara, California, SAD) i Qubit 3.0 Fluorometra (Thermo Fisher Scientific, Waltham, Massachusetts, SAD). S obzirom na kvalitetu uzorka i mjesto lezije, napravljeno je 16 skupnih uzoraka od najmanje tri biološke replike; sedam za mišićno tkivo i devet za tkivo želuca, kako bi se dobili robusni uzorci za procjenu promjena izražaja gena u zahvaćenim, u odnosu na neoštećena tkiva (**tablica 3.1**). Zatim se pripremila cDNA knjižnica koristeći TruSeq Stranded mRNA kit (Illumina, San Diego, California, SAD) te fragmentacija i vezanje adaptora (**dodatna slika 10.1**) potrebnih za masovni paralelni proces sekvenciranja kratkih sljedova na Illumina NextSeq 500 uređaju (Illumina, San Diego, California, SAD).

Korišteni Illumina sekvencer koristi se tehnologijom sekvenciranja s pomoću sinteze (**dodatna slika 10.2**). Protočna ćelija duž cijele površine ima pričvršćene početnice u oba smjera, na koje hibridiziraju fragmeti denaturiranih, jednolančanih cDNA modificiranih s adaptorima koji

su komplementarni početnicama. Slijedi umnažanje s pomoću premošćujućeg PCR-a te se stvaraju nakupine identičnih cDNA molekula koje služe pojačavanju signala. Korištene su četiri odijeljene staze na pločici, a na svakoj stazi može nastati nekoliko milijuna nakupina, koje se mogu razlikovati između staza. U idućem koraku identične cDNA molekule u nakupinama služe kao kalup za reakciju sinteze. Osnova je ovog tipa sekvenciranja da se zabilježi fluorescentni signal koji nastane nakon ugradnje obilježenih deoksiribonukleotida. Naime, obilježeni nukleotidi imaju na 3' hidroksilnoj skupini odcjepljivi privjesak i u jednom ciklusu sekvenciranja može se ugraditi samo jedan nukleotid u polinukleotidni lanac, čiji se fluorescentni signal snimi kamerom. Odcjepljenje biljega omogućuje ugradnju novog nukleotida i idućeg ciklusa sekvenciranja [108]. U ovom istraživanju generirane su knjižnice kratkih udaljenosti između parova očitanih fragmenata (prema engl. *paired end*). Ova vrsta knjižnica se koristi kad je dio oko kojeg se sekvencira dugačak između 200 i 800 parova baza. Rezultat su dva očitana slijeda između koji se nalazi dio kojemu se ne zna slijed, ali se zna dužina [109].

RNA sekvenciranje revolucioniziralo je istraživanje transkriptoma. Transkriptom čini ukupan skup transkripata u stanici ili tkivu za specifičan razvojni stadij ili fiziološko stanje. Razumijevanje transkriptoma nužno je za tumačenje funkcionalnih elemenata genoma i otkrivanje molekularnih konstituenata stanica i tkiva, kao i za razumijevanje razvoja bolesti. Ključni ciljevi transkriptomike su: katalogizirati sve vrste transkripata, uključujući mRNA, nekodirajuće RNA i male RNA; odrediti transkripcijsku strukturu gena, u smislu početnih kodona, 5' i 3' krajeva, obrazaca alternativnog prekrajanja (prema engl. *alternative splicing*) i drugih posttranskripcijskih modifikacija; i kvantificirati promjene razine izražaja svakog transkripta tijekom razvoja i pod različitim eksperimentalnim uvjetima [110]. Svrha opisanog istraživanja na modelnom slučajnom domaćinu bila je kvalitativno i kvantitativno razlučiti promjene u transkriptomima tkiva štakora koje su uzrokovane infekcijom *A. pegreffii* ličinki, posebice promjene izražaja kodirajućih gena.

### 3.1.6 Obrada sirovih podataka i mapiranje

Prosječan broj uparenih sljedova generiran po jednom uzorku iznosio je 31,2 milijuna (u rasponu od 16,4 do 37,6 milijuna sljedova). FASTQC program (Babraham Bioinformatics, Babraham Institute, Cambridge, VB) upotrijebljen je za procjenu kvalitete dobivenih sljedova i opsega potrebnog podrezivanja datoteka u svrhu uklanjanja nepouzdanih sekvenci. Procjena kvalitete sljedova potvrdila je dobru kvalitetu podataka za sve četiri korištene staze te su sljedovi spojeni u dvije uparene FASTQ datoteke po uzorku. Primjećena je veća kvaliteta nizvodnih (prema engl. *forward*) sljedova u odnosu na uzvodne (prema engl. *reverse*), kao što je općenito opisano za Illumina sekvenciranje [111]. Program Trimmomatic [112] korišten je za uklanjanje Illumina adaptora, skraćivanje sljedova korištenjem kliznog okvira čitanja (prag kvalitete 20, veličina okvira 4) i u konačnici za uklanjanje prekratkih sljedova (< 30 baza). Sljedovi s niskom kompleksnošću (prag entropije 70) i više od maksimalno 10% neimenovanih baza (N) uklonjeni su uporabom programa PRINSEQ [113]. U prosjeku, 87% uparenih sljedova preostalo je nakon ove procedure. Sljedovi su zatim mapirani na genom štakora, *Rattus norvegicus* (Berkenhout, 1769) (v6), Ensembl izdanje 91 [114] pomoću programa STAR [115], koji je upotrijebljen i za brojenje sljedova mapiranih u području gena. Za potrebe mapiranja korišteni su računalni resursi klastera Isabella (<https://www.srce.unizg.hr/isabella>). Generirani podaci pohranjeni su u javne baze podataka i javno su dostupni pod pristupnim brojem SRP150499 (ID projekta PRJNA475982) preko *NCBI Sequence Read Archive* (SRA).

### 3.1.7 Analiza diferencijalnoga genskog izražaja

Paket edgeR [116,117] za program R (verzija 3.4.2) [118] i Bioconductor verzija 3.6 [119] korišteni su za eksploratornu analizu podataka, normalizaciju broja očitanih nukleotidnih sljedova po transkriptu (logCPM, prema engl. *log2-counts-per-million*) te su proprijetetni statistički testovi paketa edgeR korišteni za analizu diferencijalnog izražaja gena. Na temelju različite razdiobe varijabilnosti između uzoraka i diskretnoga grupiranja nakon analize glavnih komponenti (PCA, prema engl. *principal component analysis*), uzorci želučanih i mišićnih tkiva analizirani su odvojeno. Uzorci neinficiranih štakora nisu bili uključeni u statističke analize jer su bili

predstavljani jednim skupnim uzorkom po setu podataka te su korišteni samo u svrhu eksploratorne usporedbe s glavnim uzorcima u vizualnim prikazima. Značajke koje su bile nisko izražene (s manje od jednog očitavanja po milijun po uzorku i najmanje tri u bilo kojem eksperimentalnom stanju) isključene su prije analize. Podaci izražaja gena mapirani su i prikazani preko *Entrez Gene* genskih identifikatora s pomoću paketa za anotiranje štakora `org.Rn.eg.db` [120].

S obzirom na to da uzorci nisu neovisni, u statističkoj analizi korišten je upareni dizajn kako bi se uzela u obzir činjenica da su inficirani uzorci i njihove kontrole podrijetlom iz iste životinje. U svim testovima prihvatljiva je vjerojatnost nastanka greške tipa I iznosila 0,05, nakon korekcije za višestruko testiranje korištenjem Benjamini *et* Hochberg metode, poznate pod nazivom FDR (prema engl. *false discovery rate*). U idućem koraku korištena je metoda TREAT [121], također implementirana u paketu `edgeR`, kako bi se identificirali geni s najmanje dvostrukom promjenom izražaja u eksperimentalnom stanju [116,117]. TREAT je produžetak empirijske Bayezijanske moderirane t-statistike koju je predstavio Smyth [122], a postiže pouzdane p i FDR vrijednosti za pronalaženje gena s diferencijalnim izražajem koji je biološki značajan, kada se uključi prag omjera izražaja od interesa u formalnom testiranju hipoteze. Na ovaj način analiza se usredotoči na gene koji imaju snažniju promjenu izražaja. Paket `ComplexHeatmap` [123] korišten je za vizualizaciju obrazaca izražaja diferencijalno reguliranih gena s pomoću raspona boja.

### 3.1.8 Analize funkcionalnog obogaćenja

Projekt *Gene Ontology* (GO) predstavlja sistematski pokušaj razvoja ontologije za potporu biološki smislenim anotacijama gena i njihovih produkata u širokom rasponu organizama, a obuhvaća tri domene: stanične komponente (dijelove stanice ili njezino izvanstanično okružje), molekularne funkcije (elementarne aktivnosti genskog produkta na molekularnoj razini) i biološke procese (operacije ili skupove molekularnih događaja s definiranim početkom i krajem, koji se odnose na funkcioniranje integriranih životnih jedinica: stanice, tkiva, organa i organizama) [124].

Analiza obogaćenja termina genske ontologije (prema engl. *Gene Ontology Enrichment Analysis*) u skupu diferencijalno izraženih gena ( $FDR < 0,05$ ,  $|\text{LogFC}| \gg 1$ , prema engl *log fold change*) izrađena je korištenjem „goana“ funkcije, koja je implementirana u paketu edgeR [116,117], s pragom  $FDR < 0,05$ , te uzimajući u obzir i ispravljajući pristranost nastalu zbog činjenice da dulji geni imaju veću vjerojatnost prolaska statističkih testova kod RNA sekvenciranja [125]. Prvih deset statistički značajno obogaćenih pojmova za želudac i prvih šest za mišić, koji opisuju biološke procese, odabrani su za vizualizaciju koristeći paket GOplot [126], koji se temelji na paketu ggplot2 [127].

Paket gage [128] i GAGE test (prema engl. *Generally Applicable Gene-set Enrichment*) iskorišteni su za analizu obogaćenja metaboličkih mreža i puteva iz baze KEGG (prema engl. *Kyoto Encyclopedia of Genes and Genomes*) [129]. KEGG je sustav baza podataka koji služe za razumijevanje funkcija biološkog sustava na razini stanice, organizma i ekosustava, polazeći od informacija na genomskoj i molekularnoj razini. KEGG je organiziran u četiri kategorije: sistematske informacije, genomske informacije, kemijske informacije te zdravstvene informacije. KEGG putevi (prema engl. *pathway*) čine kolekciju ručno iscrtanih mapa koje predstavljaju sabrana znanja o metabolizmu i staničnim procesima te su molekularne interakcije i reakcije umrežene s ciljem povezivanja gena i njihovih produkata [129].

Logaritmirani ( $\log_2$ ) omjeri izražaja, dobiveni nakon uklapanja linearnog statističkog modela u paketu edgeR [116,117], korišteni su kao obilježje gena. *T*-test izveden je kako bi se usporedile prosječne vrijednosti log omjera izražaja gena po funkcionalnom KEGG setu, za želudac i mišić odvojeno, u relativnom odnosu na prosječni log omjer izražaja svih filtriranih gena. Testovi su napravljeni za potaknute, utišane i obostrano regulirane puteve, odvojeno za metaboličke i signalne setove te setove povezane s bolestima. Prag statističke značajnosti postavljen je na zadanu graničnu  $q$  vrijednost od 0,1. U rezultatima su predstavljeni oni metabolički i signalni putevi s povišenom ili sniženom regulacijom, koji su zadovoljili strože kriterije statističke značajnosti ( $q$  vrijednost  $< 0,01$ ). Paket Pathview [130] korišten je za vizualizaciju log omjera diferencijalno izraženih gena ( $FDR < 0,05$ ) na mapama KEGG baze, za odabrane statistički značajne puteve za koje se smatra da predstavljaju najzanimljivije nalaze ovog eksperimenta.

## 3.2 Metode i materijal u istraživanju parateničnog domačina

### 3.2.1 Uzorkovanje parateničnog domačina (*Sardina pilchardus*)

Ukupno 1564 jedinke srdele uzorkovane su iz različitih geografskih područja Sredozemnog mora, u razdoblju od 2013. do 2015. godine (**slika 3.1**). Tijekom 2013. i 2014. godine prikupljeno je 908 srdela s postaja uzorkovanja u Jadranskome moru, dok je u 2015. godini skupljeno 656 srdela s postaja uzorkovanja u zapadnom Sredozemnome moru. Svi uzorci prikupljeni su tijekom toplijeg dijela godine, odnosno tijekom proljetnog i ljetnog razdoblja. Iako su sve postaje uzorkovanja u Jadranskome moru dio iste FAO (prema engl. *Food and Agriculture Organization*) europske ribolovne zone 37.2.1, uzorci su dodatno podijeljeni u dvije podregije: sjeverni (NA) i srednji (MA) Jadran, jer ih karakteriziraju jedinstvene batimetrijske, hidrografske i ekološke osobine [131]. Na temelju navedenih osobina Jadran je općenito podijeljen u tri regije: sjeverni, srednji i južni Jadran [132–134] (prikazano kao isprekidane linije na **slici 3.1**). Sjeverni Jadran najplići je i pod snažnim utjecajem priljeva rijeka sa sjevera Italije [135], što uzrokuje njegove borealne osobine i najvišu stopu organske proizvodnje u Sredozemnome moru [131]. Srednji Jadran dublji je i doseže 280 metara u Jabučkoj kotlini, a Palagruški prag (180 metara dubine) odvaja ga od južnog Jadrana [135]. Južni Jadran najdublji je dio Jadranskog mora i nalazi se pod snažnim utjecajem Jonskog mora [131]. Što se tiče postaja uzorkovanja u zapadnom Sredozemnome moru, one obuhvaćaju mnogo veće područje, koje je heterogeno u smislu abiotičkih i biotičkih obilježja. Stoga su sve tri postaje uzorkovanja u zapadnom Sredozemnome moru analizirane odvojeno. To su postaja u sjevernom Tirenskome moru (FAO 37.1.3), postaja uzorkovanja pokraj zapadne Sardinije (WS) (FAO 37.1.1) i postaja uzorkovanja pokraj južne Sicilije (SS) (FAO 37.2 .2).



**Slika 3.1** Karta Sredozemnog mora na kojoj su označena uzorkovana geografska područja. Postaje uzorkovanja u zapadnom Sredozemnom moru: WS – postaja pokraj zapadne Sardinije, SS – postaja pokraj južne Sicilije, NT – sjeverno Tirensko more. Postaje uzorkovanja na Jadranu: MA – srednje Jadransko more, NA – sjeverno Jadransko more.

### 3.2.1 UV-kompresijska metoda detekcije *Anisakis* spp. i identifikacija vrste ličinki

Svi uzorci srdela kupljeni su na ribarnici ili su ih ribari ili pouzdani trgovci isporučili poledene u istraživačke ustanove. Nakon mjerenja ukupne duljine do najbližih 1 mm i mase do najbližih 0,1 g, svakoj srdeli odvojeni su visceralni organi od filea i spremljeni u prozirne plastične vrećice, prešani pod hidrauličkom prešom i pohranjeni na -20 °C najmanje 24 sata. Za pregledavanje uzoraka korištena je UV-kompresijska metoda [136], koja iskorištava prirodnu pojavu fluorescencije zamrznutih ličinki *Anisakidae* obitelji. Metoda se temelji na vizualnoj inspekciji prešane riblje utrobe (visceralnih organa) i filea koji su nakon dubokog zamrzavanja pregledani pod UV svjetlom valne duljine od 366 nm. Lijevi i desni filei odvojeni su na anterio-ventralni (AV), anterio-dorzalni (AD), posterio-ventralni (PV) i posterio-dorzalni (PD) dio, te je broj nametnika zabilježen za svaki dio filea zasebno. Isto je primijenjeno na visceralnim organima, koji su razdijeljeni na jetru, gonade i želudac/pilorične nastavke/crijevo. Nametnici su izbrojeni i identificirani do roda s pomoću svjetlosnoga mikroskopa Olympus SZX10 (Olympus Corp., Shinjuku, Tokyo, Japan), prema morfološkim dijagnostičkim ključevima [137].

Uzorak od 67 ličinki *Anisakis* tipa I identificiran je do vrste upotrebom genotipizacije preko više biljega. Prema alelima promatranima na dijagnostičkim alozimskim lokusima, tj. Adk-2100, Pep C-1100 i Pep C-2100 [138], 67 ličinki *Anisakis* tipa I iz svih točaka uzorkovanja identificirane su kao vrsta *Anisakis pegreffii*. Ukupna DNA izolirana je korištenjem CTAB metode, kako je prethodno opisano u literaturi [138]. Ukratko, komadić usitnjena tkiva oblića duljine 0,5 – 1 cm (ili 15 – 20 mg tkiva) dodan je u plastičnu tubicu od 1,5 ml s 500 µl CTAB otopine i 5 µl enzima proteinaze K (10 mg/ml). Uzorci su inkubirani uz treskanje 5 sati na 55 °C, do potpune razgradnje tkiva. Nakon razgradnje tkiva, u svaki uzorak dodano je 500 µl smjese fenol : kloroform : izoamilni alkohol u omjeru 25 : 24 : 1, saturirane s 10 mM Tris, pH 8,0, 1 mM EDTA. Uzorci su nakon toga protreseni 15 sekunda na vorteks aparatu i centrifugirani 10 minuta na 13.000 okretaja u minuti. Supernatant u vodenom sloju premješten je u čistu plastičnu tubicu od 1,5 ml i ponovljena je procedura smjesom fenol : kloroform : izoamilni alkohol. Nakon toga je ponovno supernatant prebačen u čistu plastičnu tubicu od 1,5 ml i dodano je 500 µl kloroforma. Uzorci su nakon toga protreseni 15 sekunda na vorteks aparatu, centrifugirani 10 minuta na 13.000 okretaja u minuti. Supernatant u vodenom sloju prebačen je u čistu plastičnu tubicu od 1,5 ml i dodano je 1000 µl apsolutnog etilnog alkohola i 20 µl 5M NaCl, te su uzorci stavljeni na -20 °C pola sata. Nakon toga su centrifugirani 10 minuta na 13.000 okretaja u minuti i sva tekućina oprezno je uklonjena, jer je talog DNA pričvršćen na dnu tubice. Dodano je 500 µl 70% etilnog alkohola, uzorci su nekoliko puta okrenuti i centrifugirani 10 minuta na 13.000 okretaja u minuti. Alkohol je oprezno uklonjen i uzorci su nakon sušenja otopljeni u odgovarajućem volumenu (20 – 30 µl, ovisno o količini vidljiva taloga DNA) TE pufera (0,05 M Tris-HCl, 1mM EDTA). Kvaliteta i kvantiteta DNA procijenjena je s pomoću spektrofotometra (Eppendorf, Qiagen, Ilden, Njemačka).

Dio podjedinice II mitohondrijske (mtDNA) citokrom c oksidaze (cox2) amplificiran je s pomoću početnica 211F (5'-TTTTCTAGTTATATAGATTGRTTYAT-3') i 210R (5'-CACCAACTCTTAAAATTATC-3') [139] lančanom reakcijom polimeraze (PCR) prema protokolu: početna denaturacija DNA na 94 °C 3 minute, zatim 34 ciklusa koji su se sastojali od denaturacije 30 sekunda na 94 °C te 1 minutu spajanja početnica s kalupom na 46 °C i 90 sekunda produženja lanaca na 72 °C. Završno produženje lanaca trajalo je 10 minuta. Prisutnost produkta provjerena je na 1% agaroznom gelu te je produkt nakon pročišćavanja komercijalno sekvenciran (Macrogen Europe, Amsterdam, Nizozemska). Dobivene sekvence uspoređene su s onima koje su



prethodno objavljene u GenBank bazi podataka za vrste *A. simplex* (s. s.) (DQ116426), *A. pegreffii* (JQ900761), *A. berlandi* (KC809999), *A. typica* (DQ116427), *A. ziphidarum* (DQ116430), *A. nascettii* (FJ685642), *A. physeteris* (DQ116432), *A. brevispiculata* (DQ116433) i *A. paggiae* (DQ116434). Svih 67 sekvenci mtDNA *cox2* potvrdile su identifikaciju vrste *A. pegreffii* te su priložene u GenBank bazu pod pristupnim brojevima: MF960820, MF960821 i MF960822. Uz oblića *A. pegreffii*, uzorci nametnika *Hysterothylacium* sp. (Nematoda, Raphidascarididae) također su prikupljeni s visceralnih organa i identificirani prema morfološkim dijagnostičkim ključevima [137].

### 3.2.2 Statističke analize

Parametri koji opisuju populaciju nametnika: prevalencija, prosječni intenzitet i prosječna abundancija izračunani su u programu Quantitative Parasitology 3.0 [140]. Sterneov 95% interval pouzdanosti (ili prilagođeni Waldov za  $N > 1000$ ) izračunan je za prevalenciju i *bootstrap* 95% interval pouzdanosti (2000 *bootstrap* ponavljanja) za prosječnu abundanciju i intenzitet. Negativni binomialni model predstavljao je analizirane podatke prema metodi maksimalne vjerojatnosti [141]. Indeksi agregiranja korišteni u ovom istraživanju omjer su varijance i srednjaka te indeks nepodudarnosti D [142]. Usporedba razina infekcije oblicem *A. pegreffii* u srdele izračunana je u programu Quantitative Parasitology 3.0 [140] koristeći Fisherov egzaktni test ili egzaktni nekondicionirani test (za prevalenciju, ovisno o veličini uzorka) [143] i *bootstrap t*-test za dva uzorka (prosječna abundancija i intenzitet infekcije). Pearsonova korelacija korištena je za testiranje povezanosti abundancije nametnika i duljine ribe (SPSS Statistics, verzija 14.0, SPSS INC., Chicago, Illinois, SAD). Budući da se duljina ribe pokazala značajnim prediktorom abundancije nametnika za oba istraživana geografska područja i obje vrste istraživanih nametnika (u Jadranu za *A. pegreffii*:  $\rho = 0,20$ ,  $p < 0,01$  i za *Hysterothylacium* sp.:  $\rho = 0,21$ ,  $p < 0,01$ ; u zapadnom Sredozemnom moru za *A. pegreffii*:  $\rho = 0,44$ ,  $p < 0,01$  i za *Hysterothylacium* sp.:  $\rho = 0,02$ ,  $p = 0,76$  – za posljednji podatak nije zabilježena korelacija zbog niske prevalencije oblića *Hysterothylacium* sp.), u sve iduće analize duljina ribe uvedena je kao kovarijabla. Trofaktorska analiza varijance s kontrolom kovarijabli (ANCOVA) upotrijebljena je za testiranje abundancije nametnika u odnosu na lokaciju unutar ribe (visceralni organi i dijelovi filea) u Jadranskome moru

(faktori „lokacija“, „godina“ i „postaja uzorkovanja“), dok je za područje zapadnog Sredozemnog mora primijenjena dvofaktorska ANCOVA, bez faktora „godina“. Na isti način testirana je abundancija nametnika prema lokaciji unutar filea (dorzalni i trbušni dio/lijevi i desni file).

Trofaktorska ANCOVA korištena je za testiranje razlike u abundanciji nametnika s obzirom na vrstu oblića, kao i između postaja uzorkovanja i tijekom vremena za podatke iz Jadranskog mora (budući da je uzorkovanje trajalo dvije godine), dok je za zapadno Sredozemno more korištena dvofaktorska ANCOVA. Trofaktorski model uključivao je fiksne i međusobno ortogonalne faktore „vrsta nametnika“, „postaja uzorkovanja“ i „godina“. Duljina ribe smatrala se kovarijablom s već navedenim faktorima u jednome modelu, na taj način ne uzimajući u obzir varijaciju u abundanciji nametnika koja je povezana s duljicom ribe. Dvofaktorski model nije imao faktor „godina“.

Prije provođenja testa ANCOVA, pretpostavka normalne razdiobe i homogenosti varijance testirana je Kolmogorov-Smirnov i Levene testovima. Parametrijske statističke metode nisu idealno prilagođene uobičajenoj negativnoj binomijalnoj raspodjeli nametnika, ali ANCOVA testovi na netransformiranim podacima relativno su robusni kad se koriste na velikom broju uzoraka, kao što je ovdje slučaj. Budući da podaci za oba geografska područja nisu imali normalnu razdiobu, u svim analizama korišteni su netransformirani podaci. Zbog povećane vjerojatnosti pogreške tipa I [144], razina značajnosti postrožena je ( $p < 0,01$ ). *Post-hoc* test u slučaju pronalaska značajne razlike između podataka bio je Games-Howell, jer ne pretpostavlja jednake varijance te je prikladan kad postoji razlika u veličini uzoraka [145].

## 4. Rezultati

### 4.1 Rezultati istraživanja na modelnom slučajnom domaćinu

#### 4.1.1 Vremenski tijek infekcije

Rezultati preliminarnog eksperimenta pokazali su da je vrijeme zadržavanja *Anisakis pegreffii* ličinki kod štakora relativno kratko (odnosi se na razdoblje od intubacije infektivnih ličinki u želudac štakora do trenutka napuštanja domaćina) (**tablica 4.1**). Već šest sati nakon infekcije, ličinke napuštaju domaćina (između 80 i 90% L3 je opaženo unutar domaćina u preliminarnoj i eksperimentalnoj infekciji), a nakon 24 sata pronađeno ih je oko 30% unutar domaćina. *A. pegreffii* ličinke nisu sinkronizirano migrirale tijekom infekcije. Uočena su dva načina napuštanja domaćina tijekom preliminarne i eksperimentalne infekcije. Jedan je način pasivno izbacivanje kroz probavni sustav, potpomognuto peristaltikom, bez vidljiva oštećenja tkiva. Drugi je način penetracija želuca, tankog ili debelog crijeva, s migracijom kroz trbušnu, prsnu ili zdjeličnu šupljinu, uključujući i abdominalne mišiće. Prodiranje epidermisa zapaženo je samo u preliminarnom eksperimentu. U većini slučajeva *A. pegreffii* L3 zapažene su tijekom prodiranja na različitim mjestima sluznice želuca, potom i abdominalnih mišića, te su upravo ta tkiva odabrana za daljnje molekularne i histopatološke analize.

**Tablica 4.1** Sažeti prikaz eksperimentalne infekcije Sprague-Dawley štakora s trećim stadijem *Anisakis pegreffii* ličinki (L3). Naveden je broj intubiranih životinja (N), vrijeme uzorkovanja (h), organ na kojem su ličinke pronađene tijekom razudbe i postotak pronađenih ličinki (% L3).

| Istraživanje    | N životinja | Uzorkovanje p/i (h) | % L3 | SD (%) | Organ na kojem su pronađene L3 (%)   |
|-----------------|-------------|---------------------|------|--------|--|
| preliminarno    | 3           | 6                   | 83,3 | 5,8    | 52% crijevo, 36% želudac, 12% jetra  |
| preliminarno    | 3           | 10                  | 55,6 | 41,1   | 35,3% želudac/crijevo (pojedinačno), 11,7% mišić, 5,9% epidermis/slezena/jetra (pojedinačno)         |
| preliminarno    | 3           | 24                  | 27,0 | 28,6   | 25% mišić/peritoneum/zdjelična šupljina (pojedinačno), 12,5% želudac/crijevo (pojedinačno)           |
| preliminarno    | 3           | 48                  | 16,7 | 15,3   | 100% želudac   |
| preliminarno    | 3           | 72                  | 15,0 | 21,2   | 33,3% peritoneum/slezena/crijevo (pojedinačno)   |
| eksperimentalno | 5           | 6                   | 89,3 | 13,6   | 46,7% želudac, 37,8% crijevo, 6,7% peritoneum, 4,4% mišić, 2,2% jetra/trbušna šupljina (pojedinačno) |
| eksperimentalno | 5           | 10                  | 78,9 | 11,7   | 57% crijevo, 38% želudac, 5% peritoneum  |
| eksperimentalno | 5           | 18                  | 38,3 | 33,3   | 70% želudac, 10% zdjelična šupljina/mišić/peritoneum (pojedinačno)                                   |
| eksperimentalno | 5           | 24                  | 30,0 | 18,2   | 33,3% želudac, 25% mišić, 16,7% crijevo/trbušna šupljina (pojedinačno), 8,3% peritoneum              |
| eksperimentalno | 5           | 32                  | 29,2 | 27,9   | 45,4% želudac, 27,3% mišić, 18,2% peritoneum, 9,1% crijevo   |

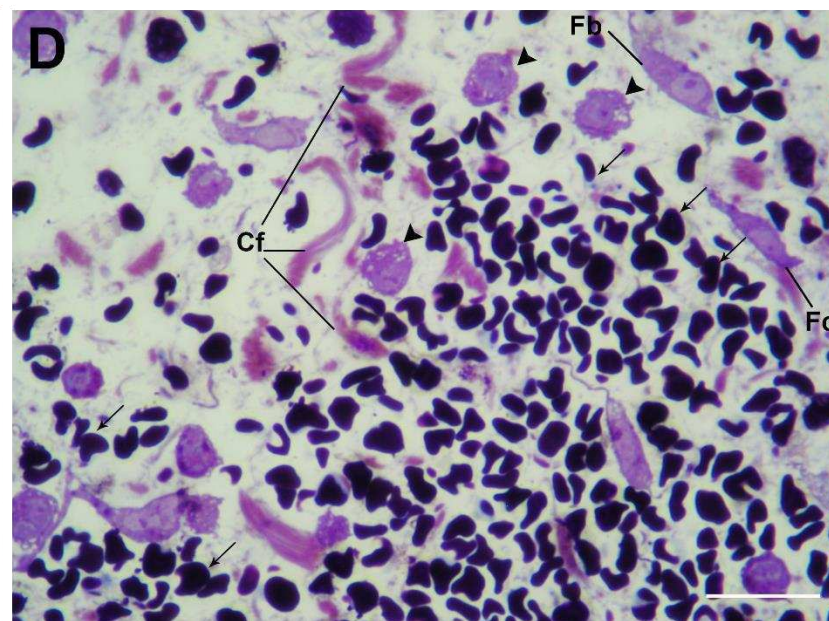
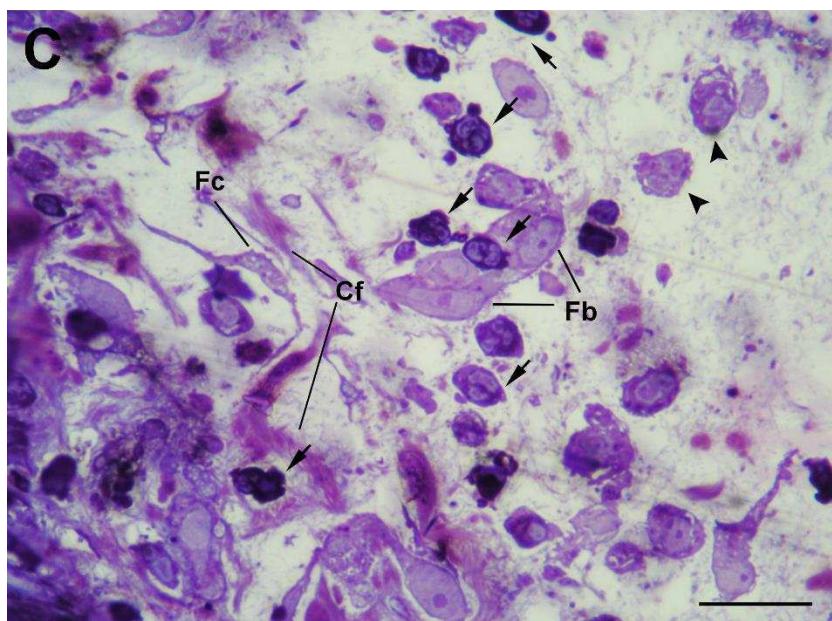
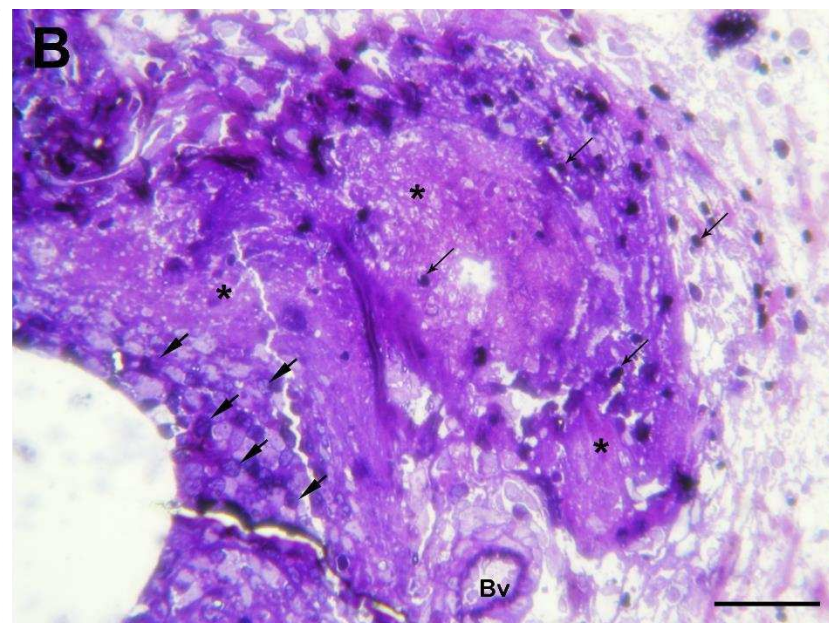
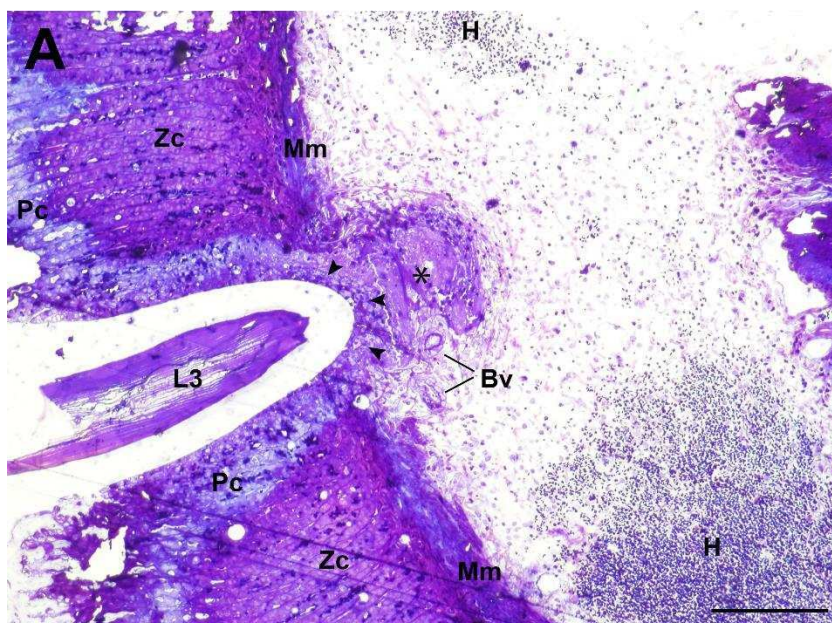
p/i – nakon infekcije, SD – standardna devijacija.

#### 4.1.2 Histopatologija infekcije modelnog slučajnog domaćina oblicem *Anisakis pegreffii*

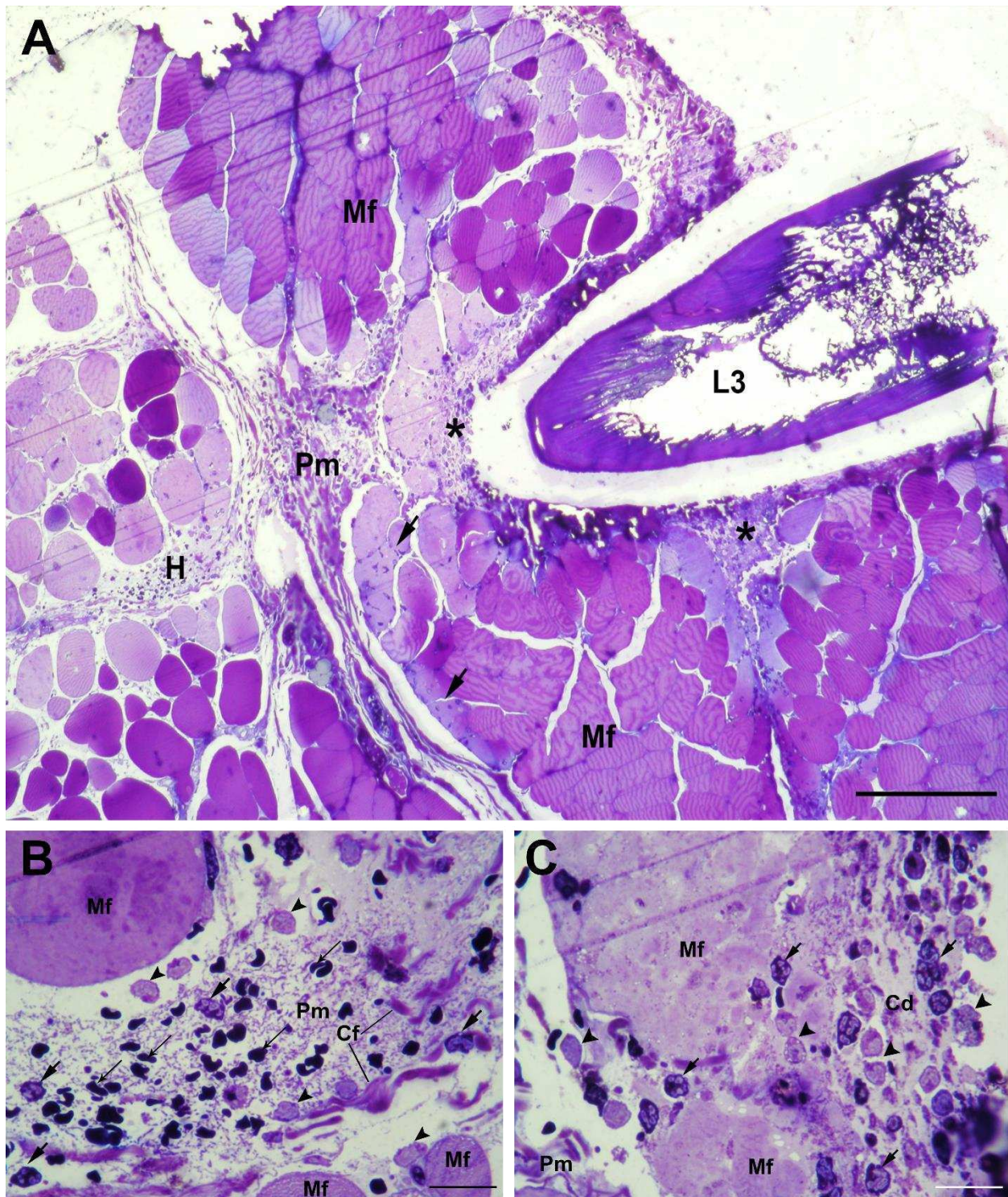
Unutar želuca *A. pegreffii* ličinke pronađene su u ranoj fazi migracije kroz želučani zid, uzrokujući kompresiju i nekrozu okolnih parijetalnih i zimogenih stanica sluznice (**slika 4.1 A**). Na mjestu penetracije uočen je infiltrat polimorfonuklearnih leukocita (pretežno neutrofili i

povremeno eozinofili), dok su makrofagi uočeni u manjem broju. Na rezovima tkiva vidljivo je da stanice nisu u izravnom dodiru s kutikulom ličinke, vjerojatno zbog sažimanja tkiva zbog pripreme uzoraka. Na mjestu migracije ličinke vidljiva je ruptura bazalne membrane i *muscularis mucosae*. U blizini dviju susjednih arterija u submukozi primijećeno je veliko nekrotično područje pomiješano s manjim upalnim infiltratom i blago krvarenje (**slika 4.1 A i B**, zvjezdica). Obilna krvarenja koja su opažena prilikom razudbe životinja također su vidljiva u submukoznom sloju. Submukoza je pretežno infiltrirana polimorfonuklearnim leukocitima (pretežno neutrofilima) i makrofagima, koji su prisutni između vlakana vezivnoga tkiva, fibroblasta i fibrocita. Polimorfonuklearni leukociti koncentrirani su oko nekrotičnog područja pokraj susjednih krvnih žila i migrirajuće *A. pegreffii* ličinke (**slika 4.1 C**). Makrofagi su vidljivi u dubljim slojevima submukoze, bliže velikom submukoznom krvarenju (**slika 4.1 D**).

U abdominalnoj muskulaturi, *A. pegreffii* ličinka uzrokovala je fragmentaciju tkiva i nekrozu duž migracijskog puta (**slika 4.2 A**). U perimizijalnom vezivu prisutan je izvanstanični edem i umjereno krvarenje s upalnim infiltratom sačinjenim od polimorfonuklearnih leukocita (pretežno neutrofila) i makrofaga (**slika 4.2 B**). Nekoliko polimorfonuklearnih leukocita također je bilo vidljivo u endomiziju i između miocita na mjestu penetracije ličinke. Pri povećanju 1000 puta otkriveno je strukturno raspadanje i nekroza mišićnih vlakana koja okružuju ličinku, s nakupljanjem obilnog staničnog detritusa, pomiješanog s brojnim polimorfonuklearnim leukocitima i makrofagima (**slika 4.2 C**).



**Slika 4.1** Histopatološki nalazi u želucu nakon penetracije *A. pegreffii* L3 ličinke. **(A)** Rana faza migracije *A. pegreffii* L3 ličinke kroz sluznicu želučane stijenke te uzrokovana kompresija i nekroza okolnih parijetalnih (Pc) i zimogenih stanica (Zc). Migracija ličinke uzrokovala je rupturu bazalne membrane i *muscularis mucosae* (Mm). Veliko nekrotično područje (zvjezdice) može se vidjeti pored dviju krvnih žila (Bv), odmah ispod glatkih mišićnih vlakana. Nekoliko tipova upalnih stanica, (vrhovi strelica), može se vidjeti na mjestu penetracije ličinke. Na periferiji se može vidjeti veliko krvarenje (H) sa zrelim eritrocitima u submukozi. Duljina oznake = 200  $\mu\text{m}$ . **(B)** Detalj velikog nekrotičnog područja (zvjezdice) pored krvne žile na mjestu penetracije ličinke, pomiješan s nekolicinom eritrocita (tanke strelice). Na dnu lezije, mogu se vidjeti neutrofilni (strelice) koji su okružili mjesto penetracije ličinke. Duljina oznake = 50  $\mu\text{m}$ . **(C)** Upalni infiltrat pri velikom povećanju, bliže mjestu prodiranja ličinke i veliko nekrotično područje s brojnim neutrofilima (strelice) i nekolicinom makrofaga (vrhovi strelica) raspršenima između kolagenskih vlakana (Cf), fibroblasta (Fb) i fibrocita (Fc). Duljina oznake = 20  $\mu\text{m}$ . **(D)** Opsežno submukozno krvarenje pri velikom povećanju, s brojnim zrelim eritrocitima (tanke strelice) i nekoliko makrofaga (vrhovi strelica) između kolagenskih vlakana (Cf), te u manjoj mjeri fibroblasta (Fb) i fibrocita (Fc). Duljina oznake = 20  $\mu\text{m}$  (1% otopina toluidinskog modrila).



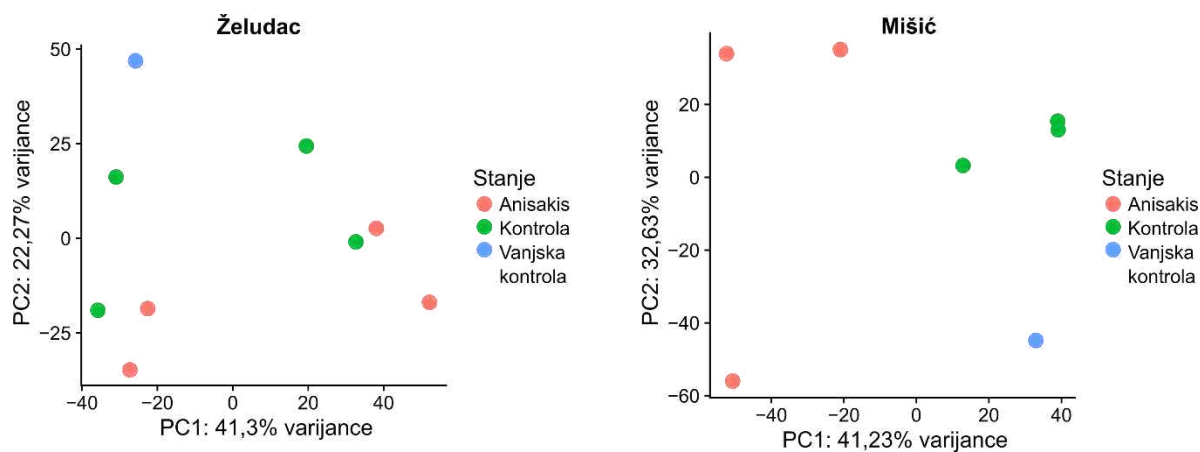
**Slika 4.2** Histopatološki nalazi u abdominalnome mišiću nakon penetracije *A. pegreffii* L3 ličinke. (A) Zbog migracije *A. pegreffii* L3 ličinke kroz perimizijalno vezivno tkivo, nastala je nekroza tkiva i pucanje mišićnih vlakana (Mf) duž migracijskog puta. Mogu se vidjeti velike površine ispunjene staničnim detritusom, pomiješane s obilnim upalnim infiltratom (zvjezdice). Umjerno krvarenje (H) u perimiziju (Pm), zajedno s umjerenim upalnim infiltratom, može se vidjeti u



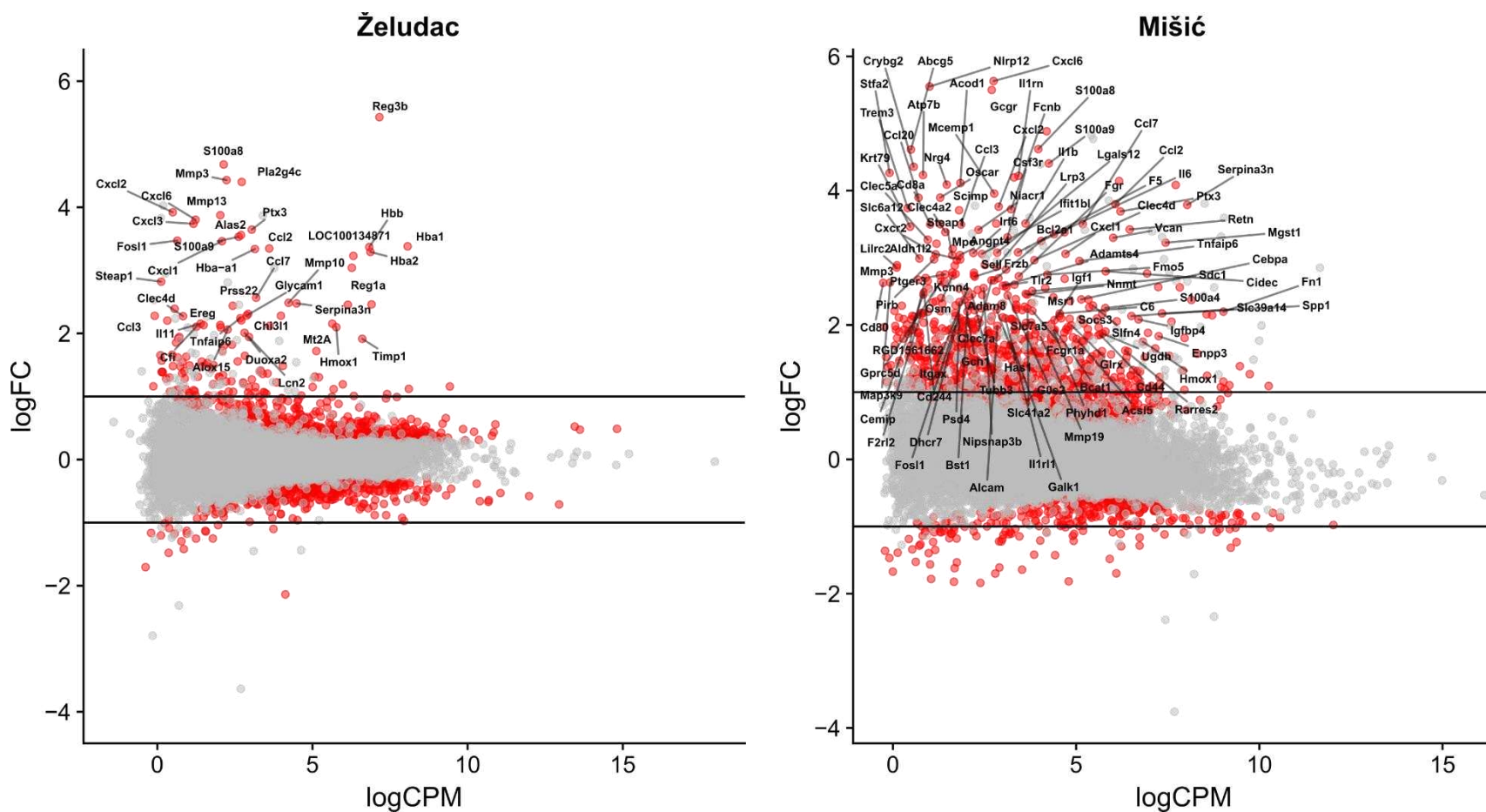
neposrednoj blizini ličinke. Nekolicina polimorfonuklearnih leukocita može se vidjeti u endomiziju i u migraciji preko mišićnih vlakana (Mf) prema mjestu prodora ličinke (strelice). Duljina oznake = 200  $\mu\text{m}$ . (B) Perimizijalno krvarenje pri velikom povećanju (H) sa zrelim eritrocitima (tanke strelice) i upalnim infiltratom sastavljenim uglavnom od neutrofila (strelice) i malim brojem makrofaga (vrhovi strelica) raspršenih između vlakana vezivnog tkiva. Duljina oznake = 20  $\mu\text{m}$ . (C) Nekrotično područje pri velikom povećanju, koje pokazuje pucanje zahvaćenih mišićnih vlakana (Mf) i obilni stanični detritus (Cd), pomiješan s brojnim neutrofilima (strelice) i makrofagima (vrhovi strelica) blizu ličinke u perimiziju (Pm) (1% toluidinsko modrilo). Duljina oznake = 20  $\mu\text{m}$ .

#### 4.1.3 Diferencijalno izraženi geni

L3 ličinke vrste *A. pegreffii* migrirale su nesinkronizirano i nisu pokazale preferenciju za mjesto prodiranja unutar pregledanih tkiva. Sukladno tomu, opažena je nešto veća varijabilnost između uzoraka unutar eksperimentalnih skupina korištenjem PCA analize (**slika 4.3**). Ipak, statistička analiza otkrila je zajedničke uzorke regulacije gena povezanih s *A. pegreffii* infekcijom u želučanim i mišićnim tkivima. Ukupno je bilo 1372 (855 povišenog izražaja i 517 sniženog izražaja) diferencijalno izraženih (DE, prema engl. *differentially expressed*) gena (FDR < 0,05) u tkivima želuca zahvaćenima prodorom ličinke *A. pegreffii* i 1633 (1230 povišenog izražaja i 403 sniženog izražaja) DE gena u mišićnim tkivima štakora zahvaćenima prodorom ličinke *A. pegreffii* (**slika 4.4**), u usporedbi s odgovarajućim kontrolama. Potpuni popis gena javno je dostupan među dodatnim materijalima objavljenog znanstvenog članka na sljedećoj poveznici: <https://www.frontiersin.org/articles/10.3389/fimmu.2018.02055/full#supplementary-material>. Samo dio DE gena povišenog izražaja prošao je TREAT test i pokazao snažne i značajne promjene u odnosu na kontrolu (LogFC >> 1): 41 gen u želučanim (**tablica 4.2**) i 111 gena u mišićnim tkivima (**tablica 4.3**).



**Slika 4.3** Vizualizacija prvih dviju komponenti proizašlih iz analize glavnih komponenti (prema engl. *principal component analysis*, PCA) izvršenih na logCPM (prema engl. *log<sub>2</sub> counts per million*) normaliziranim vrijednostima izražaja gena u tkivima domaćina (želudac i mišić) koja su bila zahvaćena prodorom ličinki (*Anisakis*), susjednih zdravih tkiva eksperimentalno zaraženih Sprague-Dawley štakora (Kontrola) i istih tkiva neinficiranih štakora (Vanjska kontrola).



**Slika 4.4** Vizualizacija odnosa između logaritma omjera izražaja gena u tkivima štakora zahvaćenima prodorom *A. pegreffii* ličinke u odnosu na kontrolna tkiva i prosječne jačine izražaja gena preko svih eksperimentalnih skupina. Statistički značajno ( $FDR < 0,05$ ) diferencijalno izražani geni su prikazani u crvenoj boji, dok su diferencijalno izražani geni koji su prošli TREAT test ( $|\log FC| \gg 1$ ) označeni simbolima gena. Puni nazivi gena prema engleskom jeziku su navedeni u **tablici 4.2** i **tablici 4.3**.

**Tablica 4.2** Popis diferencijalno izraženih gena (FDR < 0,05) u želucima štakora inficiranih s oblicem *A. pegreffii*, nakon TREAT testa, složeni prema rastućim FDR vrijednostima. Navedeni su opisi (prema engleskom nazivu) i simboli gena, log<sub>2</sub> omjera izražaja gena (logFC), p vrijednosti i FDR. Veće vrijednosti omjera izražaja istaknute su tamnijim nijansama plave boje.

|    | <b>Opis gena</b>  | <b>Simbol gena</b> | <b>logFC</b> | <b>p vrijednost</b> | <b>FDR</b>  |
|----|---|--------------------|--------------|---------------------|-------------|
| 1  | <i>regenerating family member 3 gamma</i>               | <i>Reg3g</i>       | 6,253        | 1,24E-178           | 1,53E-174   |
| 2  | <i>regenerating islet-derived 3 alpha</i>               | <i>Reg3a</i>       | 6,449        | 1,05E-39            | 6,49E-36    |
| 3  | <i>S100 calcium binding protein A8</i>                  | <i>S100a8</i>      | 4,678        | 5,52E-30            | 2,26E-26    |
| 4  | <i>C-C motif chemokine ligand 2</i>                     | <i>Ccl2</i>        | 3,347        | 1,32E-29            | 4,07E-26    |
| 5  | <i>regenerating family member 3 beta</i>                | <i>Reg3b</i>       | 5,43         | 1,28E-21            | 3,16E-18    |
| 6  | <i>matrix metalloproteinase 13</i>                      | <i>Mmp13</i>       | 3,874        | 2,24E-19            | 4,59E-16    |
| 7  | <i>S100 calcium binding protein A9</i>                  | <i>S100a9</i>      | 3,532        | 9,49E-19            | 1,67E-15    |
| 8  | <i>C-X-C motif chemokine ligand 1</i>                   | <i>Cxcl1</i>       | 3,463        | 1,28E-17            | 1,97E-14    |
| 9  | <i>matrix metalloproteinase 3</i>                       | <i>Mmp3</i>        | 4,431        | 1,05E-16            | 1,43E-13    |
| 10 | <i>C-X-C motif chemokine ligand 6</i>                   | <i>Cxcl6</i>       | 3,802        | 1,00E-15            | 1,23E-12    |
| 11 | <i>regenerating family member 1 alpha</i>               | <i>Reg1a</i>       | 3,041        | 8,71E-14            | 9,34E-11    |
| 12 | <i>C-C motif chemokine ligand 7</i>                     | <i>Ccl7</i>        | 2,566        | 9,10E-14            | 9,34E-11    |
| 13 | <i>5'-aminolevulinic acid synthase 2</i>                | <i>Alas2</i>       | 3,56         | 2,59E-13            | 2,45E-10    |
| 14 | <i>glycosylation dependent cell adhesion molecule 1</i> | <i>Glycam1</i>     | 2,283        | 2,24E-11            | 1,97E-08    |
| 15 | <i>chitinase 3 like 1</i>                               | <i>Chi3l1</i>      | 2,31         | 2,42E-11            | 1,99E-08    |
| 16 | <i>pentraxin 3</i>                                      | <i>Ptx3</i>        | 3,645        | 1,96E-10            | 1,51E-07    |
| 17 | <i>chemokine (C-X-C motif) ligand 3</i>                 | <i>Cxcl3</i>       | 3,738        | 4,05E-10            | 2,94E-07    |
| 18 | <i>hemoglobin subunit beta</i>                          | <i>Hbb</i>         | 3,369        | 2,66E-09            | 1,82E-06    |
| 19 | <i>C-X-C motif chemokine ligand 2</i>                   | <i>Cxcl2</i>       | 3,921        | 2,81E-09            | 1,82E-06    |
| 20 | <i>hemoglobin, alpha 2</i>                              | <i>Hba2</i>        | 3,291        | 3,36E-09            | 2,07E-06    |
| 21 | <i>hemoglobin, alpha 1</i>                              | <i>Hba1</i>        | 3,381        | 1,51E-08            | 8,82E-06    |
| 22 | <i>FOS like 1, AP-1 transcription factor subunit</i>    | <i>Fosl1</i>       | 3,471        | 6,46E-08            | 3,61E-05    |
| 23 | <i>TIMP metalloproteinase inhibitor 1</i>               | <i>Timp1</i>       | 1,915        | 1,06E-07            | 5,69E-05    |
| 24 | <i>dual oxidase maturation factor 2</i>                 | <i>Duoxa2</i>      | 2,01         | 3,14E-07            | 0,000161218 |
| 25 | <i>lipocalin 2</i>                                      | <i>Lcn2</i>        | 1,943        | 5,49E-07            | 0,000270176 |
| 26 | <i>STEAP family member 1</i>                            | <i>Steap1</i>      | 2,82         | 1,18E-06            | 0,000557445 |
| 27 | <i>heme oxygenase 1</i>                                 | <i>Hmox1</i>       | 2,099        | 1,52E-06            | 0,00069466  |
| 28 | <i>phospholipase A2 group IVC</i>                       | <i>Pla2g4c</i>     | 4,402        | 2,01E-06            | 0,00088506  |

|    |   |                     |       |             |             |
|----|---|---------------------|-------|-------------|-------------|
| 29 | <i>beta globin minor gene</i>                                       | <i>LOC100134871</i> | 3,229 | 2,31E-06    | 0,000978512 |
| 30 | <i>hemoglobin alpha, adult chain 1</i>                              | <i>Hba-a1</i>       | 3,338 | 7,43E-06    | 0,003047367 |
| 31 | <i>arachidonate 15-lipoxygenase</i>                                 | <i>Alox15</i>       | 2,06  | 7,84E-06    | 0,003114085 |
| 32 | <i>protease, serine, 22</i>   | <i>Prss22</i>       | 2,439 | 4,02E-05    | 0,015450787 |
| 33 | <i>metallothionein 2A</i>   | <i>Mt2A</i>         | 2,154 | 4,52E-05    | 0,016867502 |
| 34 | <i>interleukin 11</i>   | <i>Il11</i>         | 2,155 | 6,60E-05    | 0,023880457 |
| 35 | <i>serine (or cysteine) peptidase inhibitor, clade A, member 3N</i> | <i>Serpina3n</i>    | 2,476 | 7,36E-05    | 0,025869244 |
| 36 | <i>TNF alpha induced protein 6</i>                                  | <i>Tnfaip6</i>      | 2,242 | 0,000105925 | 0,036220297 |
| 37 | <i>epiregulin</i>   | <i>Ereg</i>         | 2,133 | 0,000109574 | 0,036455565 |
| 38 | <i>matrix metalloproteinase 10</i>                                  | <i>Mmp10</i>        | 2,485 | 0,000118703 | 0,038453685 |
| 39 | <i>C-C motif chemokine ligand 3</i>                                 | <i>Ccl3</i>         | 2,279 | 0,000148223 | 0,046785114 |
| 40 | <i>complement factor I</i>  | <i>Cfi</i>          | 2,106 | 0,000154753 | 0,047572957 |
| 41 | <i>C-type lectin domain family 4, member D</i>                      | <i>Clec4d</i>       | 2,273 | 0,000158448 | 0,047572957 |

**Tablica 4.3** Popis diferencijalno izraženih gena (FDR < 0,05) u mišićima štakora inficiranih oblicem *A. pegreffii*, nakon TREAT testa, složeni prema rastućim FDR vrijednostima. Navedeni su opisi (prema engleskom nazivu) i simboli gena, log<sub>2</sub> omjera izražaja gena (logFC), p vrijednosti i FDR. Veće vrijednosti omjera izražaja istaknute su tamnijim nijansama plave boje.

|    | <b>Opis gena</b>   | <b>Simbol gena</b> | <b>logFC</b> | <b>p vrijednost</b> | <b>FDR</b>  |
|----|--|--------------------|--------------|---------------------|-------------|
| 1  | <i>C-X-C motif chemokine ligand 1</i>                                    | <i>Cxcl1</i>       | 3,059        | 2,18E-20            | 2,53E-16    |
| 2  | <i>S100 calcium binding protein A8</i>                                   | <i>S100a8</i>      | 4,619        | 2,41E-18            | 1,40E-14    |
| 3  | <i>C-C motif chemokine ligand 2</i>                                      | <i>Ccl2</i>        | 3,799        | 1,02E-12            | 2,82E-09    |
| 4  | <i>S100 calcium binding protein A9</i>                                   | <i>S100a9</i>      | 4,405        | 1,16E-12            | 2,82E-09    |
| 5  | <i>NLR family, pyrin domain containing 12</i>                            | <i>Nlrp12</i>      | 5,55         | 1,21E-12            | 2,82E-09    |
| 6  | <i>interferon regulatory factor 6</i>                                    | <i>Irf6</i>        | 3,072        | 5,43E-10            | 1,05E-06    |
| 7  | <i>angiopoietin 4</i>  | <i>Angpt4</i>      | 3,042        | 7,48E-10            | 1,24E-06    |
| 8  | <i>interferon-induced protein with tetratricopeptide repeats 1B-like</i> | <i>Ifit1bl</i>     | 3,059        | 9,24E-10            | 1,34E-06    |
| 9  | <i>STEAP family member 1</i>   | <i>Steap1</i>      | 3,041        | 1,94E-09            | 2,51E-06    |
| 10 | <i>stefin A2</i>   | <i>Stfa2</i>       | 4,265        | 2,18E-09            | 2,53E-06    |
| 11 | <i>triggering receptor expressed on myeloid cells 3</i>                  | <i>Trem3</i>       | 3,741        | 5,09E-09            | 5,38E-06    |
| 12 | <i>interleukin 1 receptor antagonist</i>                                 | <i>Il1rn</i>       | 4,221        | 8,97E-09            | 8,70E-06    |
| 13 | <i>insulin-like growth factor binding protein 4</i>                      | <i>Igfbp4</i>      | 2,083        | 1,06E-08            | 9,45E-06    |
| 14 | <i>nipsnap homolog 3B</i>  | <i>Nipsnap3b</i>   | 2,552        | 1,77E-08            | 1,47E-05    |
| 15 | <i>CD8a molecule</i>   | <i>Cd8a</i>        | 3,497        | 2,47E-08            | 1,92E-05    |
| 16 | <i>glucagon receptor</i>   | <i>Gcgr</i>        | 5,5          | 4,07E-08            | 2,96E-05    |
| 17 | <i>C-X-C motif chemokine receptor 2</i>                                  | <i>Cxcr2</i>       | 3,052        | 1,09E-07            | 7,45E-05    |
| 18 | <i>insulin-like growth factor 1</i>                                      | <i>Igf1</i>        | 2,073        | 1,18E-07            | 7,62E-05    |
| 19 | <i>myeloperoxidase</i>   | <i>Mpo</i>         | 3,136        | 2,53E-07            | 0,00015474  |
| 20 | <i>selectin L</i>  | <i>Sell</i>        | 2,779        | 4,05E-07            | 0,000235412 |
| 21 | <i>C-C motif chemokine ligand 20</i>                                     | <i>Ccl20</i>       | 3,896        | 4,28E-07            | 0,000237022 |
| 22 | <i>solute carrier family 41 member 2</i>                                 | <i>Slc41a2</i>     | 2,243        | 4,91E-07            | 0,000259573 |
| 23 | <i>serine (or cysteine) peptidase inhibitor, clade A, member 3N</i>      | <i>Serpina3n</i>   | 3,788        | 5,41E-07            | 0,000273616 |
| 24 | <i>C-type lectin domain containing 5A</i>                                | <i>Clec5a</i>      | 3,27         | 5,72E-07            | 0,000277163 |
| 25 | <i>C-C motif chemokine ligand 3</i>                                      | <i>Ccl3</i>        | 3,495        | 6,29E-07            | 0,000292993 |
| 26 | <i>colony stimulating factor 3 receptor</i>                              | <i>Csf3r</i>       | 3,305        | 6,61E-07            | 0,00029573  |
| 27 | <i>prostaglandin E receptor 3</i>  | <i>Ptger3</i>      | 2,755        | 9,67E-07            | 0,000406771 |
| 28 | <i>mast cell-expressed membrane protein 1</i>                            | <i>Mcemp1</i>      | 3,957        | 9,79E-07            | 0,000406771 |
| 29 | <i>ATP binding cassette subfamily G member 5</i>                         | <i>Abcg5</i>       | 4,613        | 1,16E-06            | 0,000467424 |
| 30 | <i>cell death-inducing DFFA-like effector c</i>                          | <i>Cidec</i>       | 2,799        | 1,34E-06            | 0,000515101 |
| 31 | <i>GTP cyclohydrolase 1</i>  | <i>Gch1</i>        | 2,377        | 1,37E-06            | 0,000515101 |

|    |  |                      |       |          |             |
|----|--|----------------------|-------|----------|-------------|
| 32 | <i>G protein-coupled receptor, class C, group 5, member D</i>        | <i>Gprc5d</i>        | 2,649 | 1,75E-06 | 0,000623899 |
| 33 | <i>crystallin beta-gamma domain containing 2</i>                     | <i>Crybg2</i>        | 4,356 | 1,77E-06 | 0,000623899 |
| 34 | <i>ATPase copper transporting beta</i>                               | <i>Atp7b</i>         | 4,232 | 2,07E-06 | 0,000708271 |
| 35 | <i>SLP adaptor and CSK interacting membrane protein</i>              | <i>Scimp</i>         | 3,708 | 2,29E-06 | 0,00076037  |
| 36 | <i>galectin 12</i>   | <i>Lgals12</i>       | 3,078 | 2,51E-06 | 0,000812243 |
| 37 | <i>G0/G1switch 2</i>   | <i>G0s2</i>          | 2,44  | 3,30E-06 | 0,001030448 |
| 38 | <i>versican</i>  | <i>Vcan</i>          | 3,298 | 3,37E-06 | 0,001030448 |
| 39 | <i>C-X-C motif chemokine ligand 2</i>                                | <i>Cxcl2</i>         | 3,761 | 4,35E-06 | 0,001297336 |
| 40 | <i>neuregulin 4</i>  | <i>Nrg4</i>          | 4,09  | 4,62E-06 | 0,001337521 |
| 41 | <i>syndecan 1</i>  | <i>Sdc1</i>          | 2,506 | 4,75E-06 | 0,001337521 |
| 42 | <i>glutaredoxin</i>  | <i>Glrx</i>          | 1,995 | 4,85E-06 | 0,001337521 |
| 43 | <i>aldehyde dehydrogenase 1 family, member L2</i>                    | <i>Aldh1l2</i>       | 2,976 | 5,03E-06 | 0,001337521 |
| 44 | <i>paired Ig-like receptor B</i>                                     | <i>Pirb</i>          | 2,979 | 5,06E-06 | 0,001337521 |
| 45 | <i>niacin receptor 1</i>   | <i>Niacr1</i>        | 3,416 | 5,55E-06 | 0,001434919 |
| 46 | <i>complement C6</i>   | <i>C6</i>            | 2,17  | 5,95E-06 | 0,001503894 |
| 47 | <i>fibronectin 1</i>   | <i fn1<="" i=""></i> | 2,199 | 7,33E-06 | 0,001814979 |
| 48 | <i>tubulin, beta 3 class III</i>                                     | <i>Tubb3</i>         | 2,455 | 7,50E-06 | 0,001819213 |
| 49 | <i>cell migration-inducing hyaluronan binding protein</i>            | <i>Cemip</i>         | 2,455 | 8,16E-06 | 0,001937298 |
| 50 | <i>coagulation factor V</i>  | <i>F5</i>            | 3,083 | 9,75E-06 | 0,00227009  |
| 51 | <i>FGR proto-oncogene, Src family tyrosine kinase</i>                | <i>Fgr</i>           | 2,726 | 1,02E-05 | 0,002327038 |
| 52 | <i>C-C motif chemokine ligand 7</i>                                  | <i>Ccl7</i>          | 3,503 | 1,25E-05 | 0,002797185 |
| 53 | <i>hyaluronan synthase 1</i>   | <i>Has1</i>          | 2,23  | 1,36E-05 | 0,002982018 |
| 54 | <i>aconitate decarboxylase 1</i>                                     | <i>Acod1</i>         | 4,114 | 1,50E-05 | 0,003221686 |
| 55 | <i>CCAAT/enhancer binding protein alpha</i>                          | <i>Cebpa</i>         | 2,381 | 1,58E-05 | 0,003348953 |
| 56 | <i>UDP-glucose 6-dehydrogenase</i>                                   | <i>Ugdh</i>          | 1,872 | 1,63E-05 | 0,003382712 |
| 57 | <i>ADAM metallopeptidase with thrombospondin type 1 motif, 4</i>     | <i>Adamts4</i>       | 2,583 | 1,79E-05 | 0,003658945 |
| 58 | <i>activated leukocyte cell adhesion molecule</i>                    | <i>Alcam</i>         | 1,987 | 2,30E-05 | 0,004608345 |
| 59 | <i>S100 calcium-binding protein A4</i>                               | <i>S100a4</i>        | 2,253 | 2,67E-05 | 0,005243165 |
| 60 | <i>bone marrow stromal cell antigen 1</i>                            | <i>Bst1</i>          | 2,2   | 2,73E-05 | 0,005243165 |
| 61 | <i>solute carrier family 7 member 5</i>                              | <i>Slc7a5</i>        | 2,272 | 2,75E-05 | 0,005243165 |
| 62 | <i>similar to AI661453 protein</i>                                   | <i>RGD1561662</i>    | 2,701 | 3,25E-05 | 0,006092824 |
| 63 | <i>microsomal glutathione S-transferase 1</i>                        | <i>Mgst1</i>         | 3,226 | 3,33E-05 | 0,006144272 |
| 64 | <i>leukocyte immunoglobulin-like receptor, subfamily C, member 2</i> | <i>Lilrc2</i>        | 2,855 | 3,68E-05 | 0,006684128 |
| 65 | <i>secreted phosphoprotein 1</i>                                     | <i>Spp1</i>          | 2,173 | 4,20E-05 | 0,007527339 |
| 66 | <i>TNF alpha induced protein 6</i>                                   | <i>Tnfaip6</i>       | 2,954 | 4,35E-05 | 0,007663159 |
| 67 | <i>pentraxin 3</i>   | <i>Ptx3</i>          | 3,691 | 4,50E-05 | 0,007815724 |

|     |  |                 |       |             |             |
|-----|--|-----------------|-------|-------------|-------------|
| 68  | <i>resistin</i>  | <i>Retn</i>     | 3,423 | 4,60E-05    | 0,00786691  |
| 69  | <i>7-dehydrocholesterol reductase</i>                      | <i>Dhcr7</i>    | 2,094 | 4,80E-05    | 0,008096706 |
| 70  | <i>phytanoyl-CoA dioxygenase domain containing 1</i>       | <i>Phyhd1</i>   | 1,916 | 4,87E-05    | 0,008098693 |
| 71  | <i>interleukin 1 receptor-like 1</i>                       | <i>Il1rl1</i>   | 2,099 | 5,07E-05    | 0,00831626  |
| 72  | <i>CD44 molecule (Indian blood group)</i>                  | <i>Cd44</i>     | 1,857 | 6,50E-05    | 0,010501206 |
| 73  | <i>mitogen-activated protein kinase kinase 9</i>           | <i>Map3k9</i>   | 2,633 | 6,70E-05    | 0,010687243 |
| 74  | <i>solute carrier family 6 member 12</i>                   | <i>Slc6a12</i>  | 2,99  | 7,31E-05    | 0,011491689 |
| 75  | <i>nicotinamide N-methyltransferase</i>                    | <i>Nnmt</i>     | 2,453 | 8,04E-05    | 0,012470128 |
| 76  | <i>matrix metalloproteinase 3</i>                          | <i>Mmp3</i>     | 2,89  | 8,27E-05    | 0,012669067 |
| 77  | <i>prema engl. heme oxygenase 1</i>                        | <i>Hmox1</i>    | 1,751 | 9,41E-05    | 0,014227133 |
| 78  | <i>CD244 molecule</i>                                      | <i>Cd244</i>    | 2,486 | 0,000104159 | 0,015538437 |
| 79  | <i>toll-like receptor 2</i>                                | <i>Tlr2</i>     | 2,591 | 0,000110199 | 0,016231324 |
| 80  | <i>schlafen 4</i>  | <i>Slfn4</i>    | 2,29  | 0,000119611 | 0,017397439 |
| 81  | <i>ectonucleotide pyrophosphatase/phosphodiesterase 3</i>  | <i>Enpp3</i>    | 1,833 | 0,00012173  | 0,017487082 |
| 82  | <i>matrix metalloproteinase 19</i>                         | <i>Mmp19</i>    | 1,822 | 0,000124385 | 0,017650554 |
| 83  | <i>pleckstrin and Sec7 domain containing 4</i>             | <i>Psd4</i>     | 2,342 | 0,000127574 | 0,01788495  |
| 84  | <i>flavin containing monooxygenase 5</i>                   | <i>Fmo5</i>     | 2,751 | 0,00014935  | 0,020688508 |
| 85  | <i>solute carrier family 39 member 14</i>                  | <i>Slc39a14</i> | 2,134 | 0,000153456 | 0,021007193 |
| 86  | <i>interleukin 6</i>                                       | <i>Il6</i>      | 3,251 | 0,000172221 | 0,023301843 |
| 87  | <i>Fc fragment of IgG receptor Ia</i>                      | <i>Fcgr1a</i>   | 2,212 | 0,000174646 | 0,023358438 |
| 88  | <i>oncostatin M</i>  | <i>Osm</i>      | 2,735 | 0,000186411 | 0,024648577 |
| 89  | <i>C-type lectin domain family 4, member A2</i>            | <i>Clec4a2</i>  | 3,383 | 0,000207574 | 0,026710903 |
| 90  | <i>suppressor of cytokine signaling 3</i>                  | <i>Socs3</i>    | 2,099 | 0,000208187 | 0,026710903 |
| 91  | <i>osteoclast associated, immunoglobulin-like receptor</i> | <i>Oscar</i>    | 3,896 | 0,000208894 | 0,026710903 |
| 92  | <i>macrophage scavenger receptor 1</i>                     | <i>Msr1</i>     | 2,464 | 0,000222491 | 0,028140265 |
| 93  | <i>ADAM metalloproteinase domain 8</i>                     | <i>Adam8</i>    | 2,501 | 0,00022875  | 0,02862081  |
| 94  | <i>interleukin 1 beta</i>                                  | <i>Il1b</i>     | 3,512 | 0,000232893 | 0,028829134 |
| 95  | <i>frizzled-related protein</i>                            | <i>Frzb</i>     | 2,72  | 0,000240779 | 0,029474181 |
| 96  | <i>branched chain amino acid transaminase 1</i>            | <i>Bcat1</i>    | 1,929 | 0,00024317  | 0,029474181 |
| 97  | <i>BCL2-related protein A1</i>                             | <i>Bcl2a1</i>   | 2,667 | 0,000286859 | 0,03441121  |
| 98  | <i>Cd80 molecule</i>                                       | <i>Cd80</i>     | 2,629 | 0,000305213 | 0,036239344 |
| 99  | <i>coagulation factor II (thrombin) receptor-like 2</i>    | <i>F2rl2</i>    | 2,181 | 0,000332462 | 0,039038815 |
| 100 | <i>retinoic acid receptor responder 2</i>                  | <i>Rarres2</i>  | 1,619 | 0,0003355   | 0,039038815 |
| 101 | <i>C-X-C motif chemokine ligand 6</i>                      | <i>Cxcl6</i>    | 5,632 | 0,00037234  | 0,042896489 |
| 102 | <i>galactokinase 1</i>                                     | <i>Galk1</i>    | 1,716 | 0,000379196 | 0,043098315 |
| 103 | <i>FOS like 1, AP-1 transcription factor subunit</i>       | <i>Fosl1</i>    | 1,988 | 0,000381499 | 0,043098315 |

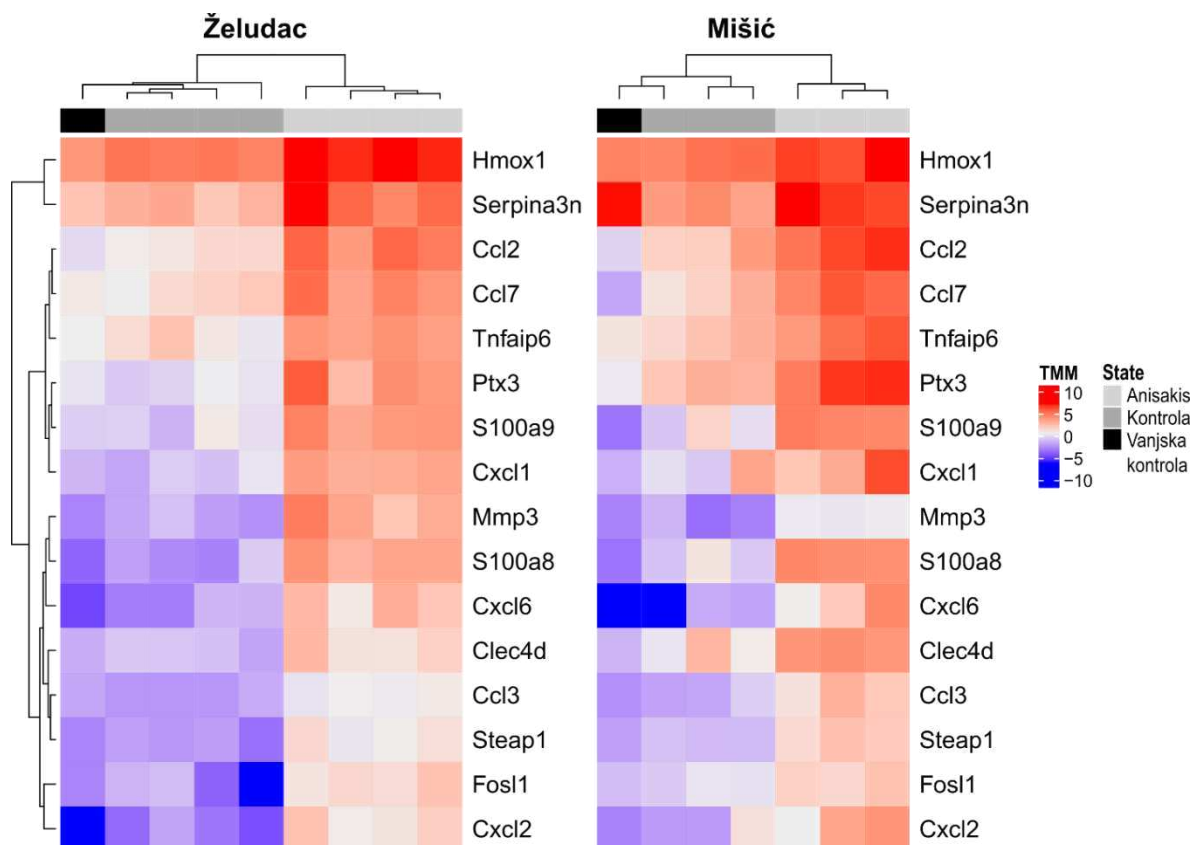


---

|     |   |               |       |             |             |
|-----|---|---------------|-------|-------------|-------------|
| 104 | <i>C-type lectin domain containing 7A</i>                       | <i>Clec7a</i> | 2,666 | 0,000389087 | 0,04320085  |
| 105 | <i>acyl-CoA synthetase long-chain family member 5</i>           | <i>Acsf5</i>  | 1,793 | 0,000389832 | 0,04320085  |
| 106 | <i>keratin 79</i>   | <i>Krt79</i>  | 3,463 | 0,000398417 | 0,043735676 |
| 107 | <i>ficolin B</i>  | <i>Fcnb</i>   | 3,723 | 0,000408671 | 0,044442021 |
| 108 | <i>potassium calcium-activated channel subfamily N member 4</i> | <i>Kcnn4</i>  | 2,74  | 0,000413364 | 0,044536169 |
| 109 | <i>C-type lectin domain family 4, member D</i>                  | <i>Clec4d</i> | 2,965 | 0,000420054 | 0,044841749 |
| 110 | <i>integrin subunit alpha X</i>                                 | <i>Itgax</i>  | 2,481 | 0,000423964 | 0,044847678 |
| 111 | <i>LDL receptor related protein 3</i>                           | <i>Lrp3</i>   | 2,869 | 0,000461637 | 0,048392879 |

---

Među genima s najvećim log omjerom izražaja, 16 je bilo zajedničkih želučanim i mišićnim tkivima zahvaćenima prodorom ličinke *A. pegreffii* (slika 4.5). Profili genskog izražaja neinficiranih uzoraka (vanjske kontrole) za oba seta podataka bili su u skladu s kontrolnim uzorcima (slika 4.5). Među genima koji su bili zajednički želučanim i mišićnim tkivima su S100 proteini, odnosno *S100a8* (4,68 logFC u želucu i 4,62 u mišiću) i *S100a9* (3,53 logFC u želucu i 4,41 u mišiću). S100A8 je protein koji veže kalcij i cink i ima važnu ulogu u regulaciji upalnih procesa i imunskog odgovora te je također bitan za kemotaksiju i adheziju neutrofila. Komplex S100A8/A9 poznat je kao kalprotektin (prema engl. *calprotectin*), koji ima mnoštvo unutar i izvanstaničnih funkcija. Luči se za vrijeme upalnog procesa, jedan je od glavnih topljivih proteina koji se nalaze u citosolu neutrofila, a zbog sposobnosti kelacije metalnih iona ima antimikrobna svojstva. Proupalno S100A8/A9 djeluje poticanjem produkcije citokina i kemokina, što je u ovom istraživanju podržano nizom diferencijalno izraženih kemokina potporodice *Cc* (*Ccl2*, *Ccl3* i *Ccl7*) i *Cxc* (*Cxcl1*, *Cxcl2* i *Cxcl6*) u tkivima zahvaćenima prodorom ličinke *A. pegreffii*. Još jedan visoko izraženi gen u tkivima želuca i mišića bila je matriks metalopeptidaza 3 (prema engl. *matrix metalloproteinase 3*) (*Mmp3*, 4,43 logFC u želucu i 2.89 u mišiću), uključena u degradaciju fibronektina, laminina, kolagena i proteoglikana hrskavice te aktivaciju prokolagenaze.



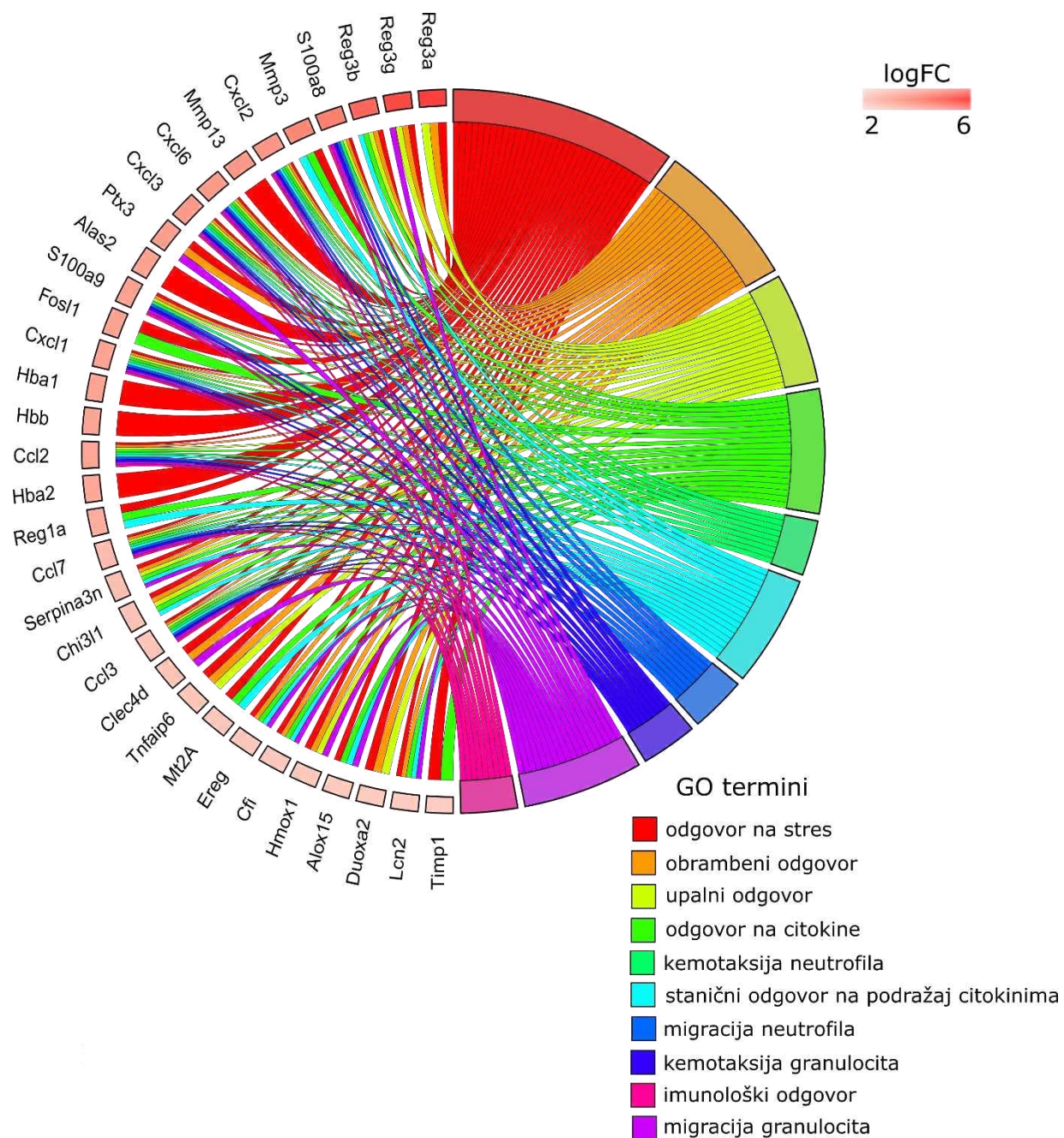
**Slika 4.5** Dvodimenzionalno hijerarhijsko grupiranje gena i prikaz normaliziranih vrijednosti diferencijalno izraženih gena (logCPM) zajedničkih ( $N = 16$ ) želučanim i mišićnim tkivima. Prikazane su pripadajuće vrijednosti za tkiva kroz koja su prodirale *A. pegreffii* ličinke, zdrava tkiva eksperimentalno inficiranih Sprague-Dawley štakora (Kontrola) i ista tkiva neinficiranih štakora (Vanjska kontrola). Geni su grupirani prema profilima uočenima u želucu, a raspon boja od plave do crvene predstavlja razine povišenog izražaja gena. Puni nazivi gena prema engleskom jeziku navedeni su u **tablici 4.2** i **tablici 4.3**.

#### 4.1.4 Funkcionalna interpretacija promjena u transkriptomima štakora izazvanih *Anisakis pegreffii* infekcijom

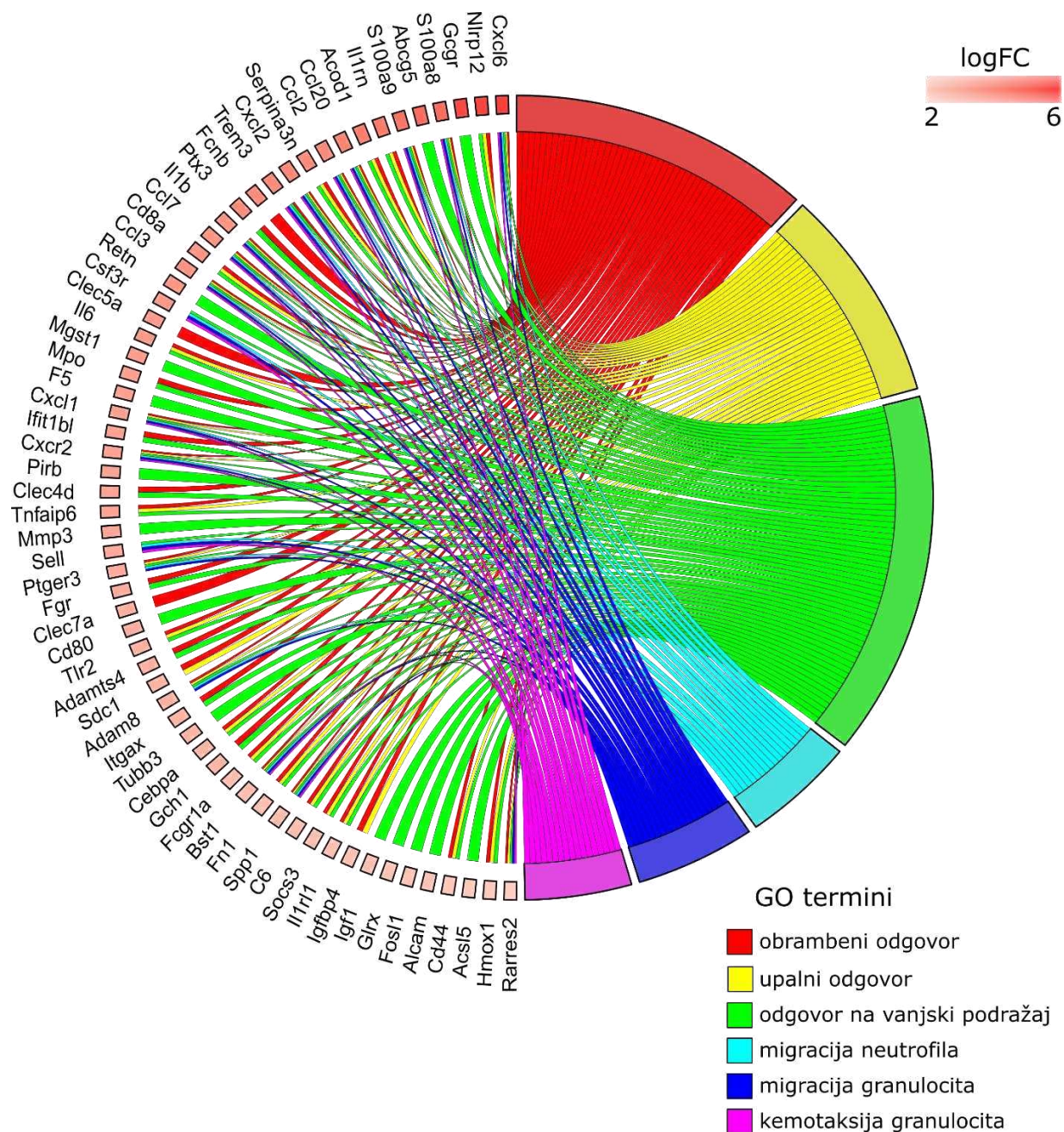
Od 259 značajno obogaćenih termina genske ontologije ( $FDR < 0,05$ ) povezanih s 41 diferencijalno izraženim genom u želučanim tkivima štakora zahvaćenih prodorom ličinke oblića *A. pegreffii*, pet najviše rangiranih koji su povezani s biološkim procesima bili su: odgovor na stres, obrambeni odgovor, upalni odgovor, odgovor na citokine te kemotaksija neutrofila (**slika 4.6** i **dodatna tablica 10.1**). Prisutnost gena povezanih sa sintezom hemoglobina (hemoglobin alfa 1 (*Hba1*), 2 (*Hba2*), hemoglobin podjedinica beta-1 (*Hbb*) i 5'-aminolevulinat sintaza 2 (*Alas2*))

izravno je povezana s odgovorom na stres. Nekoliko gena koji su članovi regenerativne obitelji (*Reg3a*, *Reg3g*, *Reg3b* i *Reg1a*), s izrazito izraženom povišenom regulacijom u tkivima želuca (**slika 4.6** i **tablica 4.2**), povezani su s pojmovima vezanim uz upalu, imunskim i obrambenim odgovorom. Ostali termini genske ontologije, među pet najzastupljenijih, imali su mnogo zajedničkih gena. Pored *S100a8/S100a9* i *Cc/Cxc* kemokina, zanimljivi transkripti obuhvaćali su lipokalin 2 (*Lcn2*), gen koji je uključen u više procesa kao što su apoptoza i urođena imunost, i gen *Chi311* (prema engl. *chitinase 3-like 1*), koji ima ulogu u Th2 upalnom odgovoru i upali induciranoj citokinom IL13.

Pet najviše rangiranih obogaćenih termina genske ontologije povezanih s diferencijalno izraženim genima u mišićnim tkivima štakora, zahvaćenih prodorom ličinke oblića *A. pegreffii*, od ukupno 494 značajnih (FDR < 0,05), bili su jako slični onima iz tkiva želuca: obrambeni odgovor, upalni odgovor, odgovor na vanjski podražaj, migracija granulocita i migracija neutrofila (**slika 4.7** i **dodatna tablica 10.2**). Odgovor na stres također je pronađen među značajno obogaćenim GO terminima za mišićna tkiva, iako je rangiran 21. prema vrijednosti FDR (**dodatna tablica 10.2**). Najveći skup DE gena pronađen je u odgovoru na vanjski podražaj, nakon čega slijedi obrambeni odgovor (**slika 4.7**). Neki od gena povezani su samo s odgovorom na vanjski podražaj, kao što je gen *Alcam* (prema engl. *activated leukocyte cell adhesion molecule*), koji potiče aktivaciju limfocita T i njihovu proliferaciju putem interakcija s Cd6. Međutim, većina gena dijelila je prvih pet obogaćenih termina genske ontologije. Pored sveprisutnih *Cc* i *Cxc* kemokina i *S100a8/S100a9*, vrijedi spomenuti dva citokina koji snažno potiču upalu; interleukin 1 $\beta$  (*Il1 $\beta$* ) i *Il6*; potonji je poznat kao začetnik akutne faze imunskog odgovora.

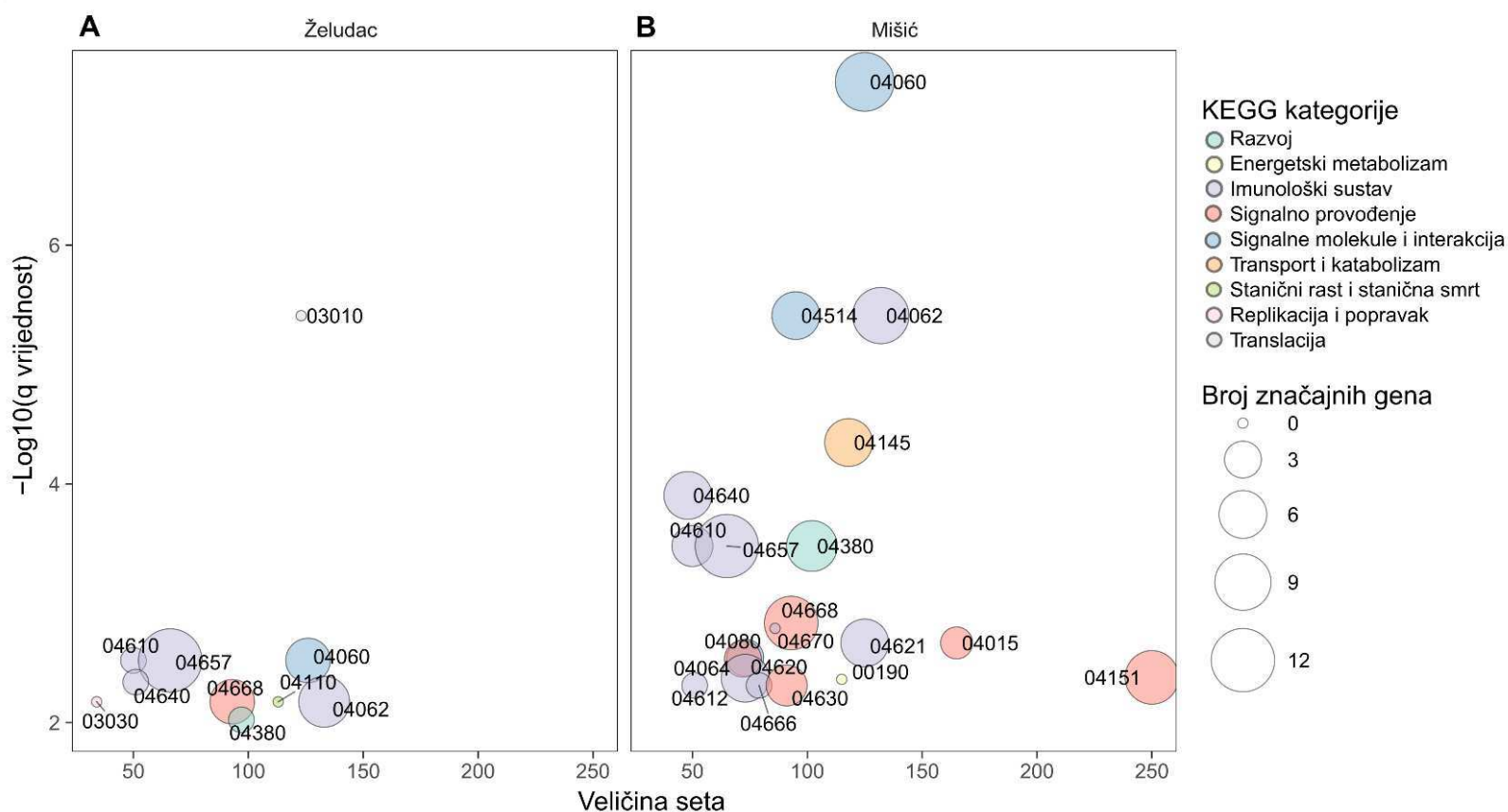


**Slika 4.6** GOChord graf s prvih deset značajno obogaćenih termina genske ontologije, prema FDR vrijednosti, koji opisuju biološke procese za tkiva štakorskih želudaca zahvaćenih prodorom *A. pegreffii* ličinke. Geni su povezani s njihovim dodijeljenim terminima preko obojenih vrpca, a poredani su prema log omjeru izražaja (logFC), koji je prikazan silaznim intenzitetom crvenih kvadrata koji se nalaze pored odabranih gena. Puni nazivi gena prema engleskom jeziku navedeni su u **tablici 4.2**.



**Slika 4.7** GOChord graf s prvih šest značajno obogaćenih termina genske ontologije, prema FDR vrijednosti, koji opisuju biološke procese za tkiva štakorskih mišića zahvaćenih prodorom *A. pegreffii* ličinke. Geni su povezani s njihovim dodijeljenim terminima preko obojenih vrpca, a poredani su prema log omjeru izražaja (logFC), koji je prikazan silaznim intenzitetom crvenih kvadrata koji se nalaze pored odabranih gena. Puni nazivi gena prema engleskom jeziku navedeni su u **tablici 4.3**.

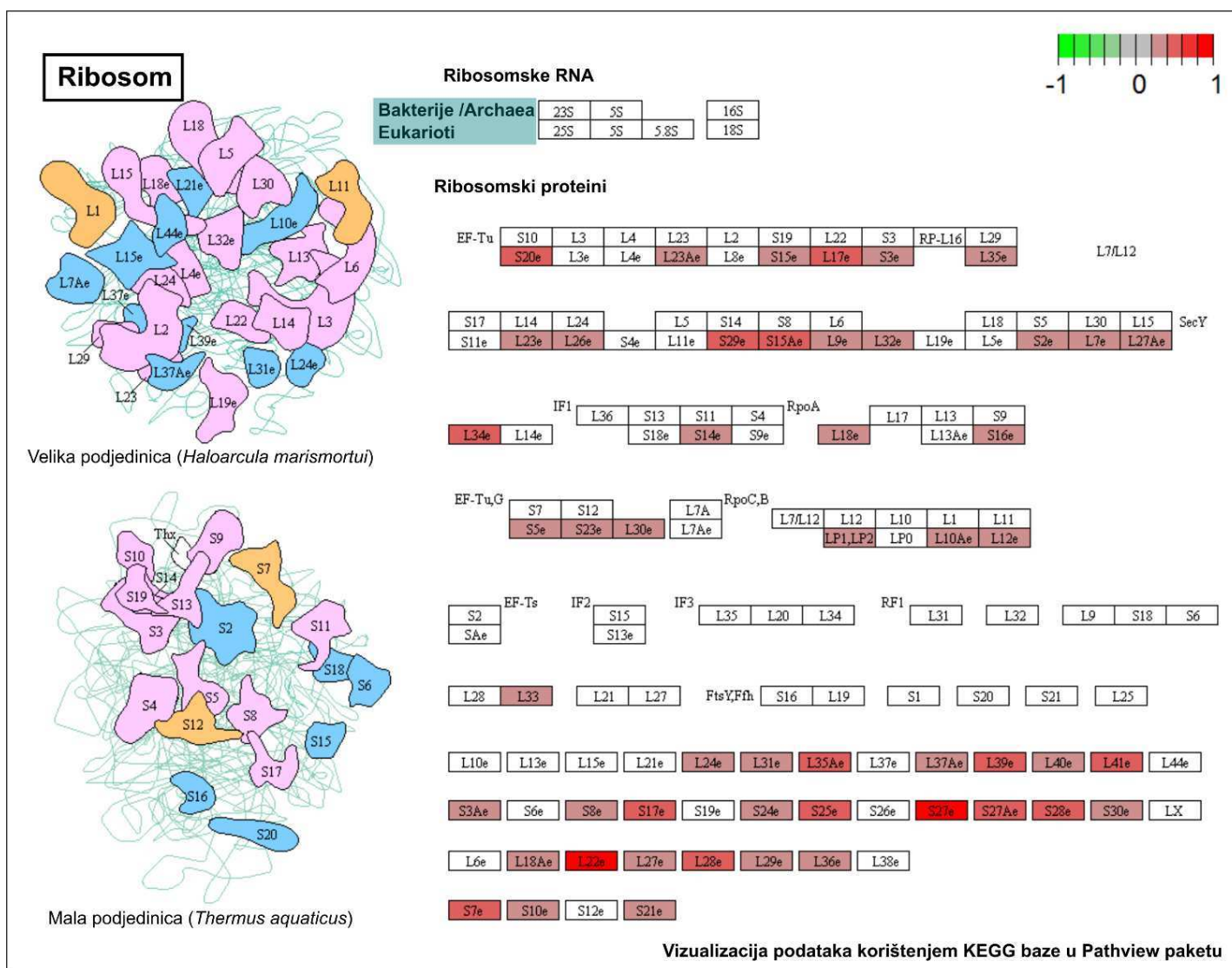
Potpuni rezultati analize KEGG signalnih puteva prikazani su u **dodatnoj tablici 10.3** i **dodatnoj tablici 10.4**, uključujući metaboličke i signalne puteve te puteve povezane s bolestima, za transkriptome želučanih i mišićnih tkiva zahvaćenih prodorom ličinke oblića *A. pegreffii*. Na **slici 4.8** prikazani su metabolički i signalni putevi s povišenom ili sniženom regulacijom koji su zadovoljili strože kriterije statističke značajnosti ( $q$  vrijednost  $< 0,01$ ). Pet najznačajnijih KEGG metaboličkih i signalnih puteva koji su regulirani u transkriptomima tkiva želuca štakora uključuju: 03010 Ribosom, 04610 Komplement i koagulacijske kaskade, 04060 Interakciju citokina i citokinskih receptora, 04657 IL17 signalni put i 04640 Hematopoetsku liniju stanica (**slika 4.8** i **dodatna tablica 10.3**). Osim 03010 Ribosoma (**slika 4.9**), ostali metabolički i signalni putevi koji su na popisu u prvih pet su također nađeni u transkriptomima mišićnih tkiva, iako se nisu svi rangirali u prvih pet rezultata (**dodatna tablica 10.4**). Uz 04060 Interakciju citokina i citokinskih receptora i 04640 Hematopoetsku staničnu liniju, prvih pet KEGG puteva s povišenom regulacijom za mišićna tkiva štakora uključivali su 04062 Kemokinski signalni put, 04514 CAMs (prema engl. *Cell adhesion molecules*) i 04145 Fagosom (**slika 4.8** i **dodatna tablica 10.4**). Jedini signalni put snižene regulacije u mišićnim tkivima štakora bio je 00190 Oksidativna fosforilacija. Prema funkcionalnim KEGG kategorijama, najveći broj diferencijalno izraženih puteva pripada imunom sustavu, praćen prenošenjem signala i signalnim molekulama i interakcijama (**slika 4.8**). 04657 IL17 signalni put (**slika 4.8**, **slika 4.10** i **slika 4.11**) imao je najveći broj DE gena ( $N = 12$  za oba seta podataka pojedinačno) u transkriptomima želučanih i mišićnih tkiva, a nakon toga slijedi 04060 Interakcija citokina i citokinskih receptora ( $N = 10$ ) za mišićna tkiva.



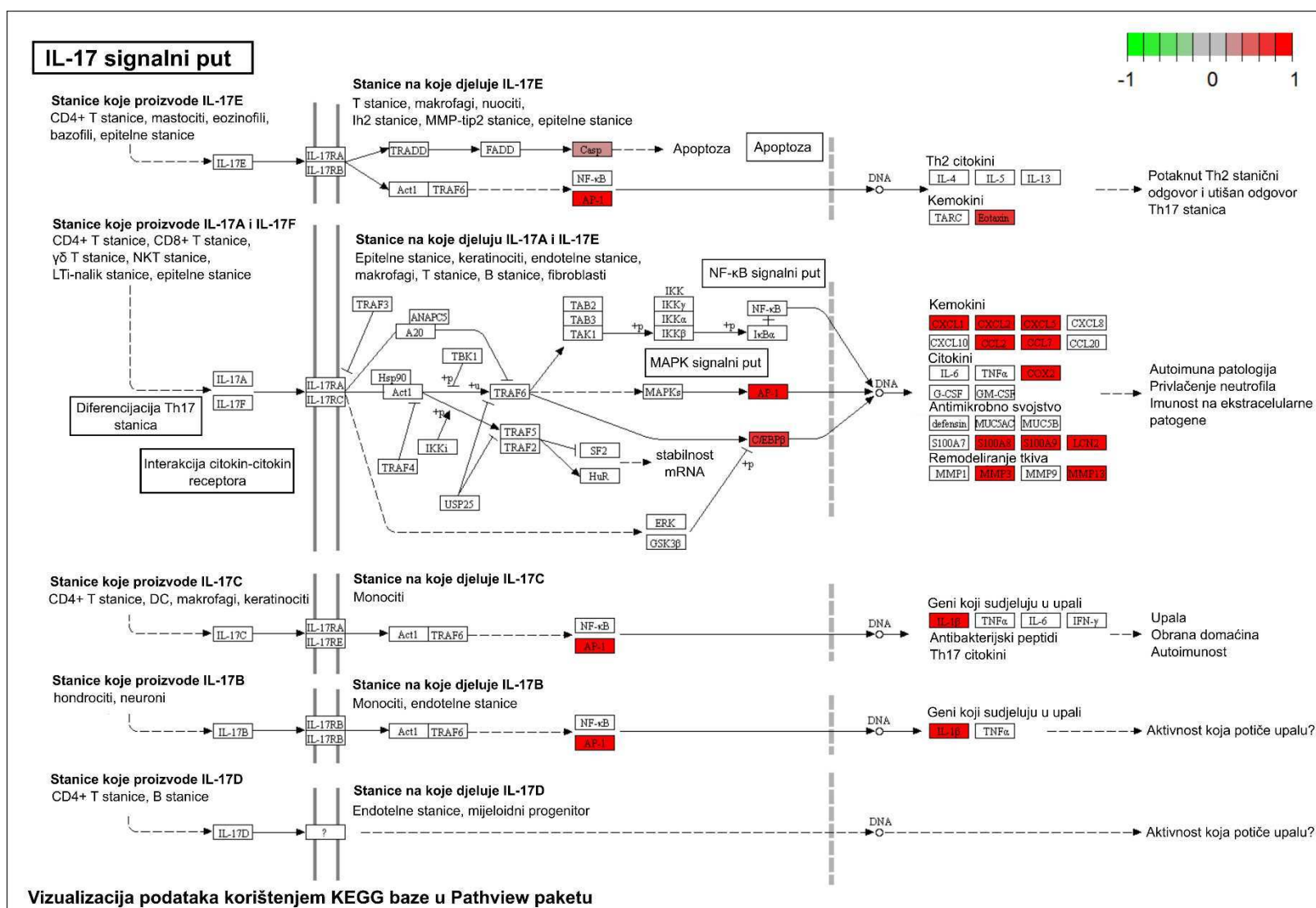
**Slika 4.8** Značajno regulirani KEGG metabolički i signalni putevi u tkivima želuca (A) i mišića (B) štakora kroz koje je prodirala ličinka oblića *A. pegreffii*. Veličina seta prikazana je u odnosu na  $\log_{10} q$  vrijednost i veličina kruga odgovara broju DE gena po svakom signalnom putu.

04060 Interakcija citokina i citokinskih receptora, 04062 Kemokinski signalni put, 04514 CAMs (prema engl. *Cell adhesion molecules*), 04145 Fagosom, 04640 Hematopoetska stanična linija, 04610 Komplement i koagulacijske kaskade, 04657 IL17 signalni put, 04380 Diferencijacija osteoklasta, 04668 TNF signalni put, 04670 Migracija leukocita između endotela, 04015 Rap1 signalni put, 04621 NLR (prema engl. *Nod-like receptor*) signalni put, 04080 Interakcija neuroaktivnog liganda i receptora, 04064 NF- $\kappa$ B signalni put, 04151 PI3K-Akt signalni put, 04620 TLR (prema engl. *Toll-like receptor*) signalni put, 04666 Fc gamma R-posredovana fagocitoza, 04612 Procesiranje i prezentacija antigena, 04630 Jak-STAT signalni put, 00190 Oksidativna fosforilacija, 03010 Ribosom, 03030 Replikacija DNA, 04110 Stanični ciklus.

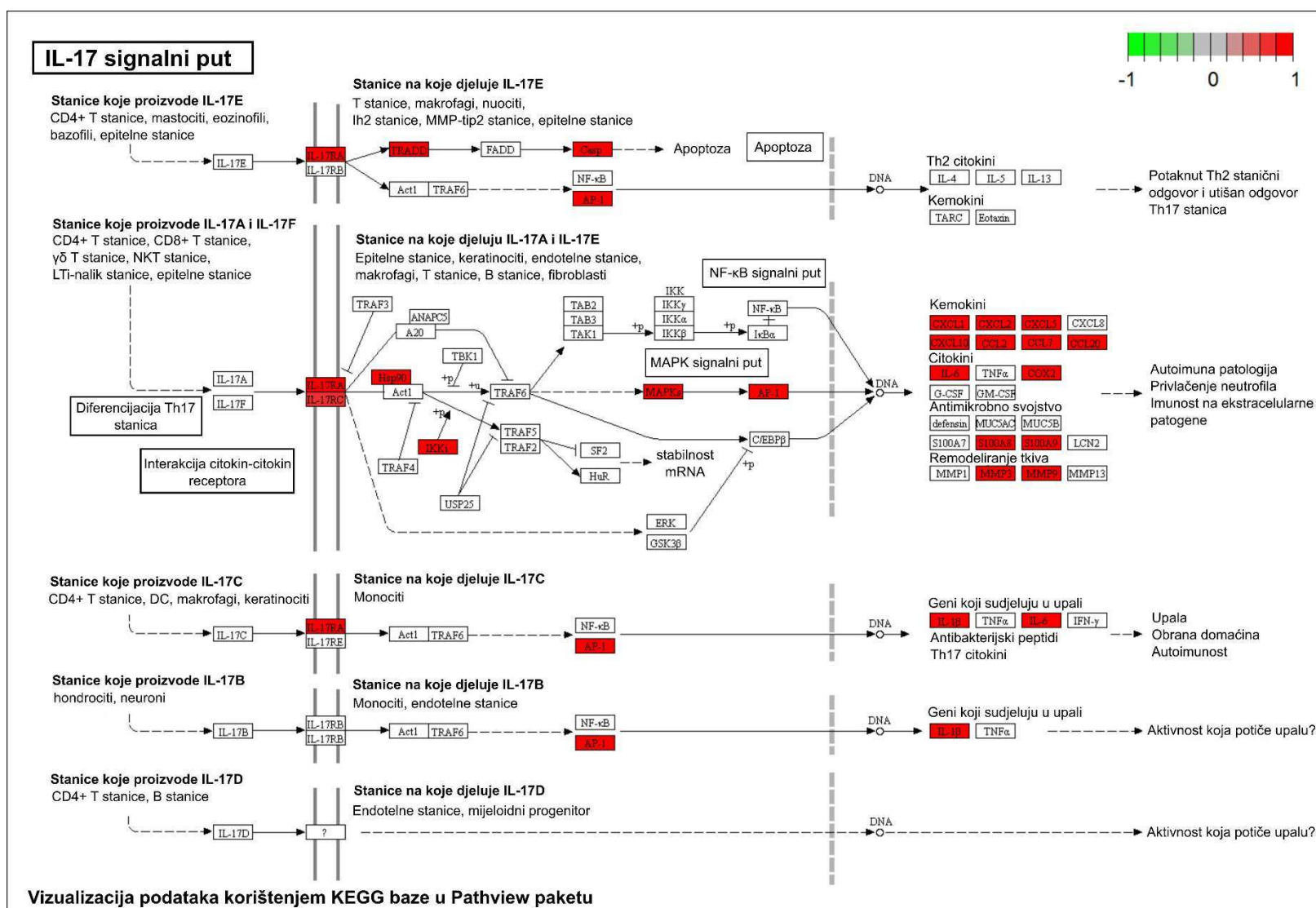




**Slika 4.9** Vizualizacija značajno izraženih gena (FDR < 0,05) u transkriptomima tkiva želca štakora inficiranih ličinkom *A. pegreffii* u KEGG putu specifičnom za Ribosom, iscrtanih s pomoću paketa Pathview za R/Bioconductor.



**Slika 4.10** Vizualizacija značajno izraženih gena ( $FDR < 0,05$ ) u transkriptomima tkiva želuca štakora inficiranih ličinkom *A. pegreffii* u KEGG IL17 signalnom putu, iscrtanih s pomoću paketa Pathview za R/Bioconductor.



**Slika 4.11** Vizualizacija značajno izraženih gena ( $FDR < 0,05$ ) u transkriptomima tkiva mišića štakora inficiranih ličinkom *A. pegreffii* u KEGG IL17 signalnom putu, iscrtanih s pomoću paketa Pathview za R/Bioconductor.

## 4.2 Rezultati istraživanja infekcije parateničnog domaćina (*Sardina pilchardus*)

### 4.2.1 Epidemiološki rezultati

Ukupna prevalencija oblića *A. pegreffii* u srdelama uzorkovanim od 2013. do 2015. godine u Sredozemnom i Jadranskom moru iznosila je 12,2% (95% CI 10,7 – 13,9, raspon 0 – 44,9%), a prosječni intenzitet infekcije 1,8 (*bootstrap* 95% CI 1,6 – 2,0) (**tablica 4.4**). Nadalje, ukupna prevalencija u fileima bila je 1,5% (95% CI 1,0 – 2,3). Daleko najviša zabilježena prevalencija bila je u srdelama koje su ulovljene u području oko zapadne Sardinije (WS), a iznosila je 44,9% (95% CI 39,7 – 50,2). Kako je veličina domaćina važan prediktor abundancije nametnika, važno je istaknuti da su srdele iz postaje WS također bile najveće u ovom istraživanju (prosječna ukupna duljina (TL) 173,2 mm ± 11,6 mm SD), prosječno > 2 cm veće od ostalih uzoraka. Najmanje srdele uhvaćene su na postaji u sjevernom Tirenskom moru (NT) (prosječna TL 129,7 mm ± 6,0 mm SD), a u njima nije zabilježena prisutnost *A. pegreffii* ličinki. Gotovo 30 puta manja prevalencija od one zabilježene na postaji WS bila je na postaji u blizini južne Sicilije (SS) (1,5%, 95% CI 0,4 – 4,4)). Između sve tri postaje uzorkovanja na području zapadnog Sredozemnog mora (WS, NT i SS) utvrđena je statistički značajna razlika ( $p < 0,001$ ) u prevalenciji, a posljedično i prosječnoj abundanciji nametnika *A. pegreffii*. U Jadranskom moru, gdje je dvogodišnje uzorkovanje omogućilo testiranje vremenskih razlika između srednje i sjeverne podregije (MA i NA), zapaženo je značajno smanjenje prevalencije od 2013. do 2014. godine u sjevernome Jadranu (sa 6,0 na 1,0%) (**tablica 4.4** i **tablica 4.5**). Za razliku od prevalencije, prosječni intenzitet infekcije nije pokazao promjene u trendovima u obje podregije Jadranskog mora. Međutim, kad se usporedi ukupna prevalencija u fileima između Jadranskog i zapadnog Sredozemnog mora, značajno niže vrijednosti zabilježene su u uzorcima srdela iz Jadranskog mora ( $p < 0,01$ ).

**Tablica 4.4** Srednja ukupna duljina domaćina (TL) sa standardnom devijacijom (SD), ukupna prosječna prevalencija (%) sa Sternovim točnim (ili prilagođenim Waldovim za  $N > 1000$ ) 95% intervalom pouzdanosti (CI), prosječnim intenzitetom (I), prosječnom abundancijom (A) s *bootstrap* 95% CI, omjerom varijance i srednjaka (v/m), indeksom nepodudarnosti (D) i eksponentom negativne binomijalne raspodjele (k) nametnika *Anisakis pegreffii* za svaku postaju uzorkovanja, odnosno podregiju Jadranskog mora i ukupni uzorak srdele *Sardina pilchardus* iz Sredozemnog mora, u razdoblju od 2013. do 2015. godine.

| Varijabla                                   | Prosječna TL<br>± SD (mm) | Prevalencija<br>(%) (95% CI) | Prosječni I (95%<br>CI) | Prosječna A (95%<br>CI) | v/m  | D     | k     |
|---|---------------------------|------------------------------|-------------------------|-------------------------|------|-------|-------|
| MA 2013 (N = 234)                           | 133,66 ± 6,97             | 1,7 (0,6 – 4,4)              | 2,3 (1,0 – 2,8)         | 0,04 (0,01 – 0,09)      | 2,53 | 0,982 | /     |
| MA 2014 (N = 453)                           | 134,62 ± 6,05             | 3,5 (2,2 – 5,7)              | 2,3 (1,4 – 4,1)         | 0,08 (0,04 – 0,16)      | 5,04 | 0,978 | 0,025 |
| MA ukupno (N = 687)                         | 134,29 ± 6,39             | 2,9 (1,9 – 4,5)              | 2,3 (1,6 – 3,8)         | 0,07 (0,04 – 0,12)      | 4,54 | 0,982 | 0,021 |
| NA 2013 (N = 117)                           | 150,61 ± 6,67             | 6,0 (2,9 – 11,9)             | 1,1 (1,0 – 1,3)         | 0,07 (0,03 – 0,12)      | 1,19 | 0,939 | /     |
| NA 2014 (N = 104)                           | 138,85 ± 6,47             | 1,0 (0,1 – 5,1)              | 1,0                     | 0,01 (0,00 – 0,03)      | 1,00 | 0,981 | /     |
| NA ukupno (N = 221)                         | 145,05 ± 8,82             | 3,6 (1,7 – 7,0)              | 1,1 (1,0 – 1,4)         | 0,04 (0,01 – 0,07)      | 1,19 | 0,963 | /     |
| Ukupni Jadranski uzorak<br>(N = 908)        | 136,91 ± 8,43             | 3,1 (2,1 – 4,4)              | 1,9 (1,4 – 3,1)         | 0,06 (0,04 – 0,10)      | 3,98 | 0,980 | 0,027 |
| Ukupni Jadranski uzorak filea<br>(N = 908)  | 136,91 ± 8,43             | 0,8 (0,4 – 1,6)              | 1,1 (1,0 – 1,4)         | 0,01 (0,00 – 0,02)      | 1,24 | 0,992 | /     |
| NT 2015 (N = 100)                           | 129,70 ± 5,98             | 0                            | /                       | /                       | /    | /     | /     |
| SS 2015 (N = 200)                           | 140,30 ± 8,40             | 1,5 (0,4 – 4,4)              | 1,7 (1,0 – 2,3)         | 0,03 (0,00 – 0,08)      | 2,19 | 0,984 | /     |
| WS 2015 (N = 356)                           | 173,17 ± 11,62            | 44,9 (39,7 – 50,2)           | 1,7 (1,6 – 1,9)         | 0,78 (0,67 – 0,90)      | 1,61 | 0,679 | 1,197 |
| Ukupni Sredozemni uzorak (N<br>= 656)       | 156,52 ± 21,00            | 24,8 (21,6 – 28,3)           | 1,7 (1,6 – 1,9)         | 0,43 (0,37 – 0,51)      | 1,96 | 0,822 | 0,380 |
| Ukupni Sredozemni uzorak<br>filea (N = 656) | 156,52 ± 21,00            | 2,6 (1,6 – 4,1)              | 1,1 (1,0 – 1,3)         | 0,03 (0,02 – 0,04)      | 1,18 | 0,975 | /     |
| Ukupni uzorak srdela<br>(N = 1564)          | 145,16 ± 17,90            | 12,2 (10,7 – 13,9)           | 1,8 (1,6 – 2,0)         | 0,22 (0,19 – 0,25)      | 2,44 | 0,915 | 0,140 |
| Ukupni uzorak filea srdela<br>(N = 1564)    | 145,16 ± 17,90            | 1,5 (1,0 – 2,3)              | 1,1 (1,0 – 1,3)         | 0,02 (0,01 – 0,02)      | 1,21 | 0,986 | /     |

Uzorak iz Jadrana: MA – srednji Jadran, NA – sjeverni Jadran, Uzorak iz zapadnog Sredozemnog mora: NT – sjeverno Tirensko more, SS – južna Sicilija, WS – zapadna Sardinija. Eksponent negativne binomijalne raspodjele (k) nije pokazao statistički značajnu razliku između zabilježenih i očekivanih frekvencija,  $p < 0,05$ .

**Tablica 4.5** Usporedba prevalencije, prosječnog intenziteta i prosječne abundancije (Varijabla II) oblića *Anisakis pegreffii* u srdeli *Sardina pilchardus* između godina na istoj postaji uzorkovanja, između postaja uzorkovanja te između ukupnog jadranskog uzorka i uzorka iz zapadnog Sredozemnog mora i pripadajućih filea (Varijabla I).

| Varijabla I  | Varijabla II          | Test                                 | p vrijednost |
|--|-----------------------|--------------------------------------|--------------|
| MA 2013. u odnosu na MA 2014.  | prevalencija          | Fisherov egzaktни test               | 0,23         |
|  | prosječni intenzitet  | <i>Bootstrap t</i> -test na 2 uzorka | 1,00         |
|  | prosječna abundancija | <i>Bootstrap t</i> -test na 2 uzorka | 0,28         |
| NA 2013. u odnosu na NA 2014.  | prevalencija          | Exact unconditional test             | 0,05*        |
|  | prosječni intenzitet  | <i>Bootstrap t</i> -test na 2 uzorka | 1,00         |
|  | prosječna abundancija | <i>Bootstrap t</i> -test na 2 uzorka | 0,07         |
| MA ukupno u odnosu na NA ukupno  | prevalencija          | Fisherov egzaktни test               | 0,65         |
|  | prosječni intenzitet  | <i>Bootstrap t</i> -test na 2 uzorka | 0,15         |
|  | prosječna abundancija | <i>Bootstrap t</i> -test na 2 uzorka | 0,33         |
| NT 2015. u odnosu na SS 2015.  | prevalencija          | Exact unconditional test             | 0,40         |
|  | prosječni intenzitet  | <i>Bootstrap t</i> -test na 2 uzorka | 1,00         |
|  | prosječna abundancija | <i>Bootstrap t</i> -test na 2 uzorka | 0,25         |
| NT 2015. u odnosu na WS 2015.  | prevalencija          | Exact unconditional test             | < 0,001**    |
|  | prosječni intenzitet  | <i>Bootstrap t</i> -test na 2 uzorka | 1,00         |
|  | prosječna abundancija | <i>Bootstrap t</i> -test na 2 uzorka | < 0,001**    |
| SS 2015. u odnosu na WS 2015.  | prevalencija          | Fisherov egzaktни test               | < 0,001**    |
|  | prosječni intenzitet  | <i>Bootstrap t</i> -test na 2 uzorka | 0,72         |
|  | prosječna abundancija | <i>Bootstrap t</i> -test na 2 uzorka | < 0,001**    |
| Ukupni jadranski uzorak u odnosu na ukupni sredozemni uzorak             | prevalencija          | Fisherov egzaktни test               | < 0,001**    |
|  | prosječni intenzitet  | <i>Bootstrap t</i> -test na 2 uzorka | 0,66         |
|  | prosječna abundancija | <i>Bootstrap t</i> -test na 2 uzorka | < 0,001**    |
| Ukupni jadranski uzorak filea u odnosu na ukupni sredozemni uzorak filea | prevalencija          | Fisherov egzaktни test               | 0,006*       |
|  | prosječni intenzitet  | <i>Bootstrap t</i> -test na 2 uzorka | 0,87         |
|  | prosječna abundancija | <i>Bootstrap t</i> -test na 2 uzorka | 0,01*        |

\*statistički značajna razlika na  $p < 0,05$ , \*\* statistički značajna razlika na  $p < 0,001$ .

#### 4.2.2 Pojavnost nametnika u fileima u odnosu na visceralne organe

Detaljnija analiza varijacije *A. pegreffii* infekcije s obzirom na lokaciju unutar ribljeg domaćina provedena je kako bi se utvrdilo razlikuju li se visceralni organi (jetra, gonade, crijeva) jedni od drugih. Nadalje, detaljnija analiza poslužila je za usporedbu visceralnih organa s dijelovima filea, odnosno usporedbom dijelova filea međusobno. Jedno od pitanja na koji ovakva analiza pruža odgovor jest može li se očekivati veća infekcija u dijelovima filea koji su bliži

visceralnim organima. Rezultati ove analize, uzimajući u obzir i prostorno-vremenski učinak i duljinu srdela kao kovarijablu, prikazani su u **tablici 4.6** za oba istraživana geografska područja. Čak i kad se izuzme varijabilnost u abundanciji oblića *A. pegreffii* koja je nastala zbog razlika u duljini srdela, ovom analizom dokazano je da lokacija parazitiranja unutar srdela ima značajan učinak. Naknadnom analizom parova utvrđeno je da su razlike uvijek i samo između želuca/piloričnih nastavaka/crijeva i svih ostalih dijelova - jetre, gonada i svih dijelova filea. U Jadranu su utvrđene razlike bile postojane tijekom godina i značajne na razini  $p < 0,05$ . Na području zapadnog Sredozemlja, postaje uzorkovanja različito su utjecale na određivanje značajnosti varijabilnosti infekcije nametnika prema lokaciji unutar ribe. Razlike između lokacija unutar ribe nisu utvrđene značajnima za SS postaju uzorkovanja, jer je infekcija na ovoj postaji bila općenito vrlo niska. Naspram tome, na WS postaji potvrđen je tipičan uzorak jako inficiranog želuca/piloričnih nastavaka/crijeva u odnosu na bilo koji drugi dio srdela s visokom razinom značajnosti ( $p < 0,001$ ) za sve *post-hoc* usporedbe. Razlike između dva filea ili njihovih AV, AD, PV i PD anatomskih dijelova nisu pronađene ni u jednoj kombinaciji prostorne i vremenske analize za istraživana geografska područja. Za potvrdu ovih nalaza provedene su dodatne analize na ventralnim (AV i PV) i dorzalnim (AD i PD) dijelovima filea, koji su analizirani odvojeno od visceralni organa, te su analize ponovljene na lijevom i desnom fileu. Rezultati tih analiza dostupni su u dodatnim materijalima (**dodatna tablica 10.5** i **dodatna tablica 10.6**), jer je potvrđeno nepostojanje razlike.

**Tablica 4.6** Sažeti rezultati trofaktorijalne (Jadransko more) i dvofaktorijalne (zapadno Sredozemno more) ANCOVA analize varijabilnosti infekcije oblicem *Anisakis pegreffii* prema lokaciji unutar domaćina (*Sardina pilchardus*), uzimajući u obzir prostorno-vremenski učinak i duljinu tijela domaćina kao kovarijablu.

| Izvor varijacije                        | Jadransko more |      |        | zapadno Sredozemno more |      |        |
|---|----------------|------|--------|-------------------------|------|--------|
|   | df             | MS   | F      | df                      | MS   | F      |
| Duljina tijela ribe                     | 1              | 1,41 | 73,07* | 1                       | 1,69 | 23,84* |
| Lokacija unutar ribe                    | 9              | 0,10 | 5,16*  | 9                       | 3,16 | 44,61* |
| Godina                                  | 1              | 0,12 | 6,15   | /                       | /    | /      |
| Postaja uzorkovanja                     | 1              | 0,58 | 30,09* | 2                       | 0,28 | 3,95   |
| Lokacija × godina                       | 9              | 0,01 | 0,07   | /                       | /    | /      |
| Lokacija × postaja uzorkovanja          | 9              | 0,06 | 0,32   | 18                      | 4,09 | 57,72* |
| Godina × postaja uzorkovanja            | 1              | 0,04 | 2,03   | /                       | /    | /      |
| Lokacija × godina × postaja uzorkovanja | 9              | 0,03 | 1,29   | /                       | /    | /      |
| Ostatak                                 | 9039           |      |        | 6529                    |      |        |

df – stupnjevi slobode, MS – prosječna suma kvadrata, F – F vrijednost, \*statistički značajna razlika na razini  $p < 0,01$ .

#### 4.2.3 Infekcija oblicem *Anisakis pegreffii* u odnosu na infekciju oblicem *Hysterothylacium* sp.

Infekcija srdele oblicem *Hysterothylacium* sp. bila je gotovo dvostruko viša od infekcije oblicem *A. pegreffii* (ukupna prevalencija 20,1%, 95% CI 18,2 – 22,2). Međutim, koinfekcija ovih nametnika zabilježena je u 13 jedinki srdela, što predstavlja samo 0,8% ukupnog uzorka. Parametri koji opisuju infekciju *Hysterothylacium* sp. Prikazani su u dodatnom materijalu (**dodatna tablica 10.7**); **tablica 4.7** sadržava rezultate analize razlika u abundanciji dviju vrsta nametnika (*A. pegreffii* i *Hysterothylacium* sp.), uzimajući u obzir prostorno-vremensku varijabilnost i duljinu ribe kao kovarijablu. Ove dvije vrste nametnika pokazale su značajno različite trendove abundancije u dvije jadranske podregije, sjevernom i srednjem dijelu Jadranskog mora, tijekom dvogodišnjeg istraživanja, što se očituje značajnim interakcijama varijabli „vrsta nametnika × godina × postaja uzorkovanja“.

*Post-hoc* analizom parova utvrđeno je da je abundancija *Hysterothylacium* sp. bila znatno veća ( $p < 0,001$ ) od abundancije nametnika *A. pegreffii* za sjeverni Jadran u 2013. godini i za srednji Jadran u 2014. godini (**tablica 4.4** i **dodatna tablica 10.7**). Naspram tome, obje vrste nametnika pokazale su slične srednje vrijednosti u 2013. godini za srednji Jadran i 2014. za sjeverni Jadran. Vremenski trend za obje vrste pokazao je porast u abundanciji za područje srednjeg Jadrana, dok su se na sjeveru Jadrana prosječne abundancije smanjile u razdoblju od 2013. do 2014. Međutim, za vrstu *A. pegreffii*, zabilježeno godišnje povećanje ili smanjenje na srednjem (MA) ili sjevernom Jadrana (NA) nije značajno. S druge strane, trend koji je prisutan za *Hysterothylacium* sp., bio je mnogo izraženiji i značajan na razini  $p < 0,01$ . Slično kao i na jadranskom poručju, na zapadnom Sredozemlju također je zabilježena značajna interakcija „vrsta nametnika × postaja uzorkovanja“. *Post-hoc* analizom parova utvrdila se značajna razlika između abundancije dviju vrsta samo za WS postaju uzorkovanja ( $p < 0,01$ ), gdje je vrsta *A. pegreffii* imala izuzetno veću abundanciju od *Hysterothylacium* sp. Na SS postaji uzorkovanja abundancija vrste *A. pegreffii* bila je niska i nije se jako razlikovala od nezabilježene prisutnosti *Hysterothylacium*



sp., dok na NT postaji uzorkovanja nijedna od istraživanih vrsta nametnika nije bila zabilježena u ukupnom uzorku.

**Tablica 4.7** Sažeti rezultati trofaktorijalne (Jadransko more) i dvofaktorijalne (zapadno Sredozemno more) ANCOVA analize razlika u abundanciji nametnika s obzirom na vrstu oblića (*Anisakis pegreffii* i *Hysterothylacium* sp.), uzimajući u obzir prostorno-vremenski učinak i duljinu tijela domaćina kao kovarijablu.

| Izvor varijacije                               | Jadransko more |        |         | zapadno Sredozemno more |       |        |
|--|----------------|--------|---------|-------------------------|-------|--------|
|  | df             | MS     | F       | df                      | MS    | F      |
| Duljina tijela ribe                            | 1              | 166,14 | 118,15* | 1                       | 8,30  | 23,98* |
| Vrsta nametnika                                | 1              | 85,35  | 60,69*  | 1                       | 18,23 | 52,66* |
| Godina   | 1              | 28,95  | 20,59*  | /                       | /     | /      |
| Postaja uzorkovanja                            | 1              | 80,56  | 57,28*  | 2                       | 1,44  | 4,17   |
| Vrsta nametnika × godina                       | 1              | 2,25   | 1,60    | /                       | /     | /      |
| Vrsta nametnika × postaja uzorkovanja          | 1              | 1,92   | 1,36    | 2                       | 23,78 | 68,68* |
| Godina × postaja uzorkovanja                   | 1              | 29,94  | 21,29*  | /                       | /     | /      |
| Vrsta nametnika × godina × postaja uzorkovanja | 1              | 87,49  | 62,22*  | /                       | /     | /      |
| Ostatak  | 1807           |        |         | 1305                    |       |        |

df – stupnjevi slobode, MS – prosječna suma kvadrata, F – F vrijednost, \*statistički značajna razlika na razini  $p < 0,01$ .

## 5. Rasprava

### 5.1 Promjene u transkriptomima tkiva štakora pri eksperimentalnoj infekciji ličinkom *Anisakis pegreffii*

U okviru ove doktorske disertacije prvi je put analiziran transkriptom tkiva štakora eksperimentalno zaraženih infektivnim ličinkama oblića *Anisakis pegreffii*. Sprague-Dawley štakori odabrani su kao model domaćina u kojem je simuliran tijek i patogeneza slučajne infekcije ljudi. Metoda RNA sekvenciranja prethodno je uspješno primijenjena u identifikaciji i karakterizaciji potencijalnih novih *Anisakis* sp. alergena [54] i u otkrivanju patogenih mehanizama vrsta *A. simplex* (s.s.) i *A. pegreffii* [146,147], odnosno njihovih hibrida [146], ali je imunski odgovor slučajnog domaćina na razini transkriptoma prvi put opisan u ovom doktorskom radu. Nadalje, molekularnom identifikacijom potvrđeno je da je u ovom istraživanju uzročnik bolesti bila vrsta *A. pegreffii*, što je važno uzeti u obzir, jer je ta vrsta najčešći uzročnik anisakijaze u Sredozemlju [58,59,80,81]. Prethodno istraživanje, koje je provedeno *in vivo* i *in vitro*, na istom životinjskom modelu koji je korišten u ovom doktorskom radu, potvrdilo je patogeni potencijal vrste *A. pegreffii*, te je pokazalo da *A. pegreffii* ličinke imaju sklonost zadržavanju u želucu štakora puno duže nego ličinke vrste *Anisakis simplex* (sensu stricto) (s.s.) [98]. Sukladno rezultatima ovog dokorskog rada, autori su zaključili da migratorno ponašanje L3 ličinki nije sinkronizirano, kao i da L3 ličinke ne pokazuju predispoziciju prema određenome mjestu prodiranja u tkiva domaćina. Međutim, autori nisu zabilježili prodiranje kroz mišićje, vjerojatno zbog kraćeg vremenskog trajanja eksperimenta (24 sata) [98].

Anisakidi nisu koevolucijski razvili nametnički odnos s ljudima kao terestričkim domaćinima, jer ne obitavaju u istom okolišu i tek slučajno mogu doći u dodir s čovjekom, za razliku od ostalih prirodnih ljudskih nametnika [3]. Neovisno o tome, humani slučajevi i modeli glodavaca u kontekstu *Anisakis* infekcije uglavnom su karakterizirani Th1, Th2 ili Th1/Th2 tipovima imunskih odgovora, jednako kao i kod humanih parazitoza. Na ovo upućuju rezultati različitih seroloških studija usmjerenih k razlučivanju kinetike alergijske reakcije prema ovom obliću, zabilježene nakon različitih postupaka senzibilizacije [48,67,97]. Međutim, u ovoj je studiji, u štakorima eksperimentalno zaraženima L3 ličinkom *A. pegreffii*, koji prethodno nisu bili

u dodiru s patogenom, identificiran akutni proupalni odgovor, pretežno karakteriziran aktivacijom Th17 linije efektorskih pomoćničkih limfocita T. Th17 limfociti poznati su po proizvodnji IL17 [148], citokina koji inducira lučenje kemokina i antimikrobnih peptida u različitim tkivima i tipovima stanica (fibroblastima, epitelnim stanicama, keratinocitima i makrofagima), što dovodi do novačenja neutrofila i pojačane upalne reakcije [149]. Ovo se poklapa s histopatološkim nalazima lezija štakora u želucu i mišiću, koje obiluju neutrofilima i makrofagima pomiješanim s nekrotičnim stanicama i staničnim detritusom. Nekroza može dodatno stimulirati upalu zbog propuštanja unutarstaničnih komponenata u okolno tkivo [150]. Ovo može biti izraženije u tkivima s visokom metaboličkom aktivnošću, kao što je epitel želuca, koji je bogat parijetalnim i zimogenim žljezdanim stanicama koje proizvode kloridnu kiselinu i različite probavne enzime [151]. Nekroza i eozinofili obično su prisutni u središtu granuloma koji obuhvaćaju ostatke *Anisakis* ličinke, zajedno s gigantskim stanicama i vezivnim tkivom. Nakon toga, stanični infiltrat, ponajprije sastavljen od limfocita, nakuplja se na mjestu granuloma, što otežava prepoznavanje nametnika kao uzrok njegova stvaranja. Tijekom prve infekcije domaćina stvaraju se memorijske stanice T i B, te se kod prethodno senzibiliziranih domaćina može pojaviti alergijska reakcija prilikom ponovnog izlaganja *Anisakis* infektivnim ličinkama [48].

U alergijskom modelu *Anisakis* infekcije u C57BL/6 miševima, nakon subkroničnog intranazalnog izlaganja (7 puta tijekom 15 dana) rekombinantnom Ani s 1 (rAni s 1) alergenu, zabilježeno je značajno povećanje proizvodnje citokina IL6 i IL17A, povezanih s odgovorom tipa Th17 [96]. *In vivo* rezultati ove studije dodatno su potvrđeni *in vitro* eksperimentom na splenocitima tretiranimi alergenima rAni s 1 ili rAni s 9, koji su nakon aktivacije započeli s lučenjem IL6 i IL17A, ukazavši da IL17 može igrati ključnu ulogu u alergijskoj reakciji izazvanoj obličem *Anisakis* roda [96]. Međutim, u drugom istraživanju provedenom na Wistar štakorima oralnim putem, izloženima svježim i smrznutim *Anisakis* ličinkama (tretirani dvaput tijekom 7 dana i uzorkovani nakon 21 dan), zabilježena je znatno povišena razina citokina IL17 u plazmi, dok intraperitonealna injekcija ukupnog proteinskog ekstrakta ličinki nije imala isti učinak [152]. Moguće je da žive *Anisakis* ličinke različito potiču imunosno prepoznavanje i aktivacijske puteve u odnosu na ukupni proteinski ekstrakt ili čak ekskretorno-sekretorne produkte *Anisakis* ličinki [153]. Ovo dodatno podupire nedavno istraživanje u kojem je proučavana sekrecija citokina i kemokina dendritičnih stanica (DC) izloženih živim *A. pegreffii* ličinkama ili ukupnom

proteinskom ekstraktu [57]. Zanimljivo, nakon interakcije s dendritičnim stanicama koje su bile izložene gore navedenom, stimulirane autologne stanice CD4<sup>+</sup> T nisu, suprotno očekivanome, uspjele proizvesti IL4, IL17 i IL10. Budući da proizvodnja IL17 nije potaknuta živom ličinkom niti ukupnim proteinskim ekstraktom, autori su zaključili da DC mogu pridonijeti uspostavi lokalizirane upale u najranijoj fazi infekcije, ali njihova uloga u polarizaciji Th2/Th17 ili regulatornog T (Treg) odgovora ostaje nepoznatom. Sukladno tomu, rezultati ove doktorske disertacije potvrđuju postojanje naizgled snažno induciranih signalnih puteva Th17 i IL17, ali bez zabilježene regulacije gena *IL17*.

Naspram navedenom, poznato je da stanice Th17 proizvode citokine specijalizirane za poticanje imunosne reakcije u prvom redu na ekstracelularne bakterije i gljivice [154], iako je odgovor tipa Th17 zabilježen i kod nekih višestaničnih nametnika. Primjerice, terestrički zoonotični oblič *Trichinella spiralis* može izazvati imunosnu reakciju tipičnu za Th2 i/ili Th17 odgovor tijekom svoje intestinalne faze, nakon prvog tjedna infekcije [155]. Infekcija *T. spiralis* u ljudi započinje konzumiranjem mesa inficiranog ličinkama prvog stupnja koje su incistirane u preobraženim mišićnim stanicama, tzv. „njegovateljicama“ (prema engl. *nurse cell*). Nakon oslobađanja ličinki iz cista tijekom probavljanja mesa i njihove penetracije kroz epitelne stanice tankog crijeva, u čovjeka započinje intestinalna faza, gdje se ličinka presvlači, raste i kao odrasla jedinka reproducira. U ovoj fazi imunosni odgovor tipa Th2, potpomognut Th17, ima ključnu ulogu u zaštiti domaćina i konačnom izbacivanju odraslih jedinki [156]. Međutim, novonastale ličinke prije toga obično započinju migratornu fazu kroz cirkulacijski sustav i inficiraju periferno mišićno tkivo, gdje započinje transformacija miocita u njegovateljski kompleks nužan za preživljavanje ličinki. U ranoj fazi nastajanja stanica „njegovateljica“ (otprilike tjedan dana nakon infekcije), odgovori Th2 i Th17 inhibirani su novačenjem stanica Treg iz perifernih limfnih čvorova u neposrednoj blizini mjesta parazitiranja ličinki zaštićenih stanicama, što odgovara vremenu od oko dva tjedna nakon infekcije [155]. Ovo pokazuje da limfociti Th2 i Th17 imaju presudnu ulogu u pokretanju upalnog odgovora na infekciju oblicima, što je opaženo i u ovoj disertaciji.

Ovaj se odgovor kasnije može razviti u drugom smjeru kad infekcija postane kronična. Kronična upala je proces koji nastane ako akutna upala nije razriješena ili je ozljeda tkiva

produljena te obično uključuje novačenje i aktiviranje monocita i limfocita. Područja kronične upale često su podvrgnuta remodeliranju tkiva, s angiogenezom i fibrozom. Iako urođeni imunosni podražaji mogu pridonijeti razvoju kronične upale, stečeni imunosni sustav također može biti uključen, zbog citokina koje luče limfociti Th1 i Th17, a snažni su induktori upale [157]. Zanimljiv rezultat ove disertacije, vezan za funkcionalnu interpretaciju transkriptoma zaraženih želuca i mišića, značajna je regulacija KEGG puteva povezanih s bolestima koje izazivaju snažan upalni odgovor, kao što su 05323 Reumatoidni artritis i 05321 Upalna bolest crijeva (**dodatna tablica 10.3 i dodatna tablica 10.4**), podržavajući opaženi Th17 odgovor u eksperimentalnoj *Anisakis* infekciji. Budući da su Th17 stanice snažni pokretači upale tkiva, također su povezani s patogeneom mnogih autoimunih bolesti i upalnih stanja kod ljudi. U životinjskim modelima, stanice Th17 odgovorne su za autoimuni encefalitis, eksperimentalno izazvani artritis induciran kolagenom, kolitis i psorijazu [158–160]. Štoviše, brojne bolesti povezane s bakterijama, koje su uočene značajno regulirane u želucu i mišiću štakora, kao što je 05150 Infekcija bakterijom *Staphylococcus aureus* i 05132 Infekcija bakterijom *Salmonella* (**dodatna tablica 10.3 i dodatna tablica 10.4**), najvjerojatnije su rezultat opsežno provedenih istraživanja Th17 odgovora na bakterijske infekcije, koja su pridonijela popunjavanju KEGG baze podataka.

Česta pojava imunosnih odgovora vezanih uz bakterije u okviru KEGG regulacijskih puteva u ovim rezultatima može se i dodatno objasniti. Naime, imunosni sustav sluznica, a naročito probavnog sustava domaćina, jedinstveno je okruženje koje mora obuzdati imunosne reakcije usmjerene protiv komenzalnih mikroba i antigena u prehrani, a istodobno štiti tkivo sluznice tijekom infekcije drugim uzročnicima bolesti, kao što su oblici [161]. Smatra se da su komenzalni mikroorganizmi fizički odvojeni od crijevne površine te je ta prepreka ključna za ograničavanje imunosne aktivacije, održavanje homeostaze u probavilu i mutualističke veze između domaćina i mikroorganizama [162]. Poremećeni prostorni odnosi između mikroorganizama i domaćina u odnosu su s bolesnim stanjima poput upalne bolesti crijeva [163]. RegIII $\gamma$ , identificiran u ovom istraživanju kao DE gen s najvišim log omjerom izražaja u tkivima želuca štakora (logFC 6,25), izlučeni je antibakterijski lektin koji ima ključnu ulogu u održavanju sluzničke prepreke probavila (oko 50  $\mu$ m razmaka), odnosno između mikroorganizama i epitela tankog crijeva [164]. Štoviše, nestanak odvojenosti domaćina i bakterija kod RegIII $\gamma^{-/-}$  miševa rezultiralo je povećanom bakterijskom kolonizacijom crijevnog epitela i aktivacijom crijevnih stečenih imunosnih odgovora

na mikroorganizme [164]. Izgledno je da je mehaničko oštećenje tkiva uzrokovano prodorom *A. pegreffii* ličinke kroz sluznicu želuca poremetilo ravnotežu odnosa domaćina i mikroorganizama, što je moglo rezultirati imunosnim odgovorom domaćina usmjerenim prema bakterijama inače prisutnima na granici sa sluznicom, odnosno bakterijama autohtonog podrijetla ili onima unesenima preko *A. pegreffii* ličinki.

Važan put, povezan s upalom koji je bio povišeno reguliran, u ovoj disertaciji je KEGG 04657 IL17 signalni put, u koji je uključeno 12 DE gena iz želučanih i mišićnih tkiva štakora pojedinačno (**slika 4.8**, **slika 4.10** i **slika 4.11**). Iako IL17A i IL17F nisu bili među DE genima, čine dio IL17 signalnog puta i imaju zaštitne uloge u obrambenom mehanizmu sluznice domaćina protiv određenih patogena. Iako uglavnom povezani s bakterijskim infekcijama [165], poznato je da su povezani i s infekcijama filarijalnim [166], i drugim oblicima [167]. U tkivima želuca i mišića štakora pojavili su se drugi bitno povišeno geni koji su tijesno povezani s IL17 signalnim putem: S100 proteini (*S100a8* i *S100a9*), matriks metalopeptidaze (*Mmp3* i *Mmp13*), *Cxc* i *Cc* kemokini (*Cxcl1*, *Cxcl2*, *Ccl2*, *Ccl7* i *Ccl20*). *Il6* bio je prisutan samo u mišićnim tkivima, a lipokalin 2 (*Lcn2*) bio je prisutan samo u želučanom tkivu. Upalne funkcije S100A8/A9 očituju se kroz novačenje leukocita, povećanu proizvodnju citokina i kemokina te regulaciju leukocitne adhezije i migracije [168]. Novačenje neutrofila, kao tipično kod infekcije oblicima, nastaje kao odgovor na visoke razine izražaja proteina S100A8 i S100A9. Tako je primjerice, novačenje neutrofila bilo značajno u prolaznom upalnom odgovoru pluća uzrokovanog migratornom filarijalnom ličinkom *Litomosoides sigmodontis* (Nematoda, Onchocercidae) u BALB/c miševima [169]. Unutarstanične i izvanstanične funkcije *S100a8/a9* u želucu i mišiću štakora ogledaju se i u obogaćenim terminima genske ontologije, poput kemotaksije i migracije neutrofila/leukocita, proizvodnje citokina i kemokina, povišene regulacije TLR i NF- $\kappa$ B signalnih puteva [168], podupirući izražen upalni početak imunosne reakcije 32 sata nakon eksperimentalne infekcije ličinkama *Anisakis* u štakora.

Zanimljiv je nedostatak procesa aktivnog zacjeljivanja rana u transkriptomima želučanih i mišićnih tkiva. Međutim, moguće je da među brojnim matriks metalopeptidazama, koje se pojavljuju u popisima gena za želučana i mišićna tkiva (neke od značajnih su *Mmp3*, *Mmp10*, *Mmp13* i *Mmp19*), neke imaju ulogu u preoblikovanju i popravku tkiva kao odgovor na nastalu

leziju [170]. Obzirom na njihovu učestalost i specifičnost uloga u pojedinim okruženjima u kojima se izlučuju, teško je izvući opću pretpostavku o točnim ulogama ovih enzima u ovom istraživanju. Tako npr. MMP, koju luči jedan tip stanice, poput makrofaga, vjerojatno obavlja drukčiju funkciju od istog enzima proizvedenog drugim tipom stanice, kao što je epitelna stanica [171]. Dodatno, MMP enzimi imaju ulogu u upali i imunosti, djelujući na upalne citokine, kemokine i druge proteine [171]. Višenamjenska uloga ovih enzima očituje se i u činjenici da MMP13 sudjeluje u zacjeljivanju rana putem mehanizma koji vjerojatno uključuje aktivaciju transformirajućeg faktora rasta beta 1 (TGFβ1) i degradaciju faktora rasta vezivnog tkiva (CTGF), kao i u migraciji keratinocita tijekom zarastanja rana [168]. Međutim, u ovom istraživanju moguće je da su hemoragijske lezije i aktivnost IL1β i IL6 mogli utjecati na odgađanje procesa zacjeljivanja rana [172] ili je prikupljanje uzoraka tkiva nastupilo prerano da bi se proces zacjeljivanja rana uhvatio kao signal u transkriptomima. Manji broj eozinofila zabilježen u usporedbi s neutrofilima može biti rezultat uzorkovanja u perakutnoj fazi koja se pojavljuje prije tipične eozinofilne infiltracije tkiva oko nametnika i formiranja odgovora Th2. Prema literaturi, eozinofilija se obično razvija nekoliko dana nakon pojave kliničkih simptoma anisakijaze [173].

Nadalje, intenzivna infiltracija neutrofila i makrofaga u oštećena tkiva u ovom istraživanju mogla je imati dvojake posljedice. U početku je njihovo djelovanje korisno u svrhu uklanjanja uzročnika i detritusa te u poticanju čimbenika koji promiču zacjeljivanje rana. Međutim, tijekom procesa ozdravljenja, kontrola upale može biti ključna za učinkovito zacjeljivanje tkiva [174], s makrofagima koji imaju važnu ulogu u razrješavanju oštećenja tkiva, kao što je uočeno tijekom virusne infekcije [175]. Općenito se smatra da rana aktivacija neutrofila s pomoću citokina IL17 pokreće događaje koji vode u razvoj odgovora tipa 2, koji onda povratno kontrolira pretjeranu neutrofiliju. Ukoliko odgovor tipa 2 ne uspije suprimirati odgovor IL17 ili ga dalje potiče, rezultat može biti patologija zbog pretjeranog odgovora tipa 2. Složena interakcija između citokina IL17, neutrofila i odgovora tipa 2 još uvijek nije u potpunosti razjašnjena i čini se da dinamika ovisi o raznim čimbenicima, među ostalim i o specifičnim tipovima stanica koji su uključeni [176,177]. Dok je uloga neutrofila u akutnoj upali prilično dobro razjašnjena, kompleksnost njihove uloge u kroničnim bolestima, lezijama tkiva i zacjeljivanju tek se počinje otkrivati [178].

IL6 bi mogao biti važan čimbenik u patogenezi uzrokovanoj ličinkom oblića *Anisakis* [96], a pojavio se u nekoliko različitih signalnih puteva zastupljenih u ovom istraživanju. Uz njegovu ulogu u aktivaciji i diferencijaciji makrofaga, limfocita i terminalnoj diferencijaciji limfocita B u plazma stanice, IL6 također regulira akutnu i kroničnu upalu [179]. Istraživanja na glodavcima identificirala su TGF $\beta$  i IL6 kao ključne citokine koji potiču Th17 diferencijaciju iz naivnih limfocita CD4<sup>+</sup> T [180,181]. Učinkovitost Th17 diferencijacije mogu povećati proupalni citokini kao što su IL1 $\beta$  i TNF $\alpha$  [182]. *Il6* i *Il1 $\beta$*  bili su među DE genima u tkivima štakora inficiranim *A. pegreffii* ličinkama. IL6 također može djelovati kao protuupalni miokin. Naime, iz miocita se pri povišenoj razini IL6 izlučuje u krvotok kao odgovor na kontrakciju mišića prilikom vježbanja [183], te bi njegovu ulogu u mišićnom tkivu štakora trebalo tumačiti s oprezom. Hiperaktivacija IL6/STAT3 signala u mišićima može stimulirati sintezu i sustavno oslobađanje proteina koji imaju ulogu u imunom odgovoru akutne faze, kao što su serumski amiloid A (SAA) i fibrinogen. Oni mogu pojačati kataboličke signale u mišiću, pretvarajući mišiće u ključne elemente u urođenoj imunosti, što je dokazano u eksperimentalno induciranom modelu raka s učinkom propadanja mišića i indirektnim promicanjem atrofije kod miševa [184]. Moguće proupalno ili protuupalno djelovanje IL6 pri infekciji mišića ličinkom oblića *A. pegreffii* treba razjasniti u budućim istraživanjima.

Uz izražen upalni odgovor temeljen na signalnim putevima Th17 i IL17, kao i DE genima uključenima u ove puteve, u rezultatima ovog istraživanja zabilježen je i odgovor na stres. Najzastupljeniji pojam genske ontologije u tkivima želuca štakora bio je odgovor na stres, dok najviša *q* vrijednost u istom tkivu neočekivano pripada KEGG 03010 Ribosomskom putu. Iako ni jedan od ribosomskih gena u ovom istraživanju nije pokazao velike razlike u izražaju u odnosu na kontrolu, radi se o dosljedno povišenoj regulaciji (FDR < 0,05) velikog broja gena. Vizualizacija KEGG Ribosomskog puta, koji je značajno zastupljen u inficiranim tkivima želuca štakora, prikazana je na **slici 4.9**. Značajna zastupljenost ovog signalnog puta upućuje na to da je infekcija oblicem *A. pegreffii* mogla potaknuti razvoj ribosomskog stresa tijekom prodiranja sluznice želuca. Odnedavno se smatra da većina ribosomskih proteina ima ulogu i u imunoreakcijama domaćina, pojačavanjem imunskog signaliziranja ili olakšavanjem proliferacije patogena u različitim okolnostima [185]. U okviru odnosa domaćina i nametnika, transkripti funkcionalno vezani uz biogenezu ribosoma i translaciju, pronađeni su u studiji RNA sekvenciranja nametnika i stanica



epitela jejunuma svinje IPEC-J2, prilikom infekcije merozoitima vrste *Cryptosporidium parvum* (Apicomplexa, Cryptosporidiidae) (rani aseksualni stadiji). Geni koji kodiraju ribosomske funkcije bili su izraženo obogaćeni u transkriptomu domaćina i nametnika, s prevagom u nametniku, međutim nisu bili diferencijalno izraženi u inficiranim intestinalnim stanicama svinje zaraženima *C. parvum* [186]. Zanimljivo je da među DE genima u transkriptomu intestinalnih stanica nisu pronađeni ni geni vezani uz stres i apoptozu, kao što je tumorski protein P53 (prema engl. *tumor protein P53*) ili gen *Mdm2* (prema engl. *Mdm2 proto-oncogene*), te su autori kao moguća objašnjenja naveli da je signal možda bio ispod detekcije provedenog *in vitro* eksperimenta ili je nametnik bio manje virulentan, intenzitet infekcije nije bio dovoljno visok ili se radi o specifičnosti upotrijebljene stanične linije. S obzirom na broj DE ribosomskih gena u inficiranim tkivima želuca štakora i sukladno nedavno otkrivenim ulogama ribosomskih proteina u imunosignalizaciji, kao što su aktivacija [187,188] ili inhibicija [189,190] jezgrinog čimbenika kappa B (prema engl. *nuclear factor kappa B*, NF-κB), promicanje [191,192] ili inhibiranje virusne produkcije [193], moguće je da ličinke oblića *A. pegreffii* induciraju ribosomski stres u ranoj fazi infekcije u određenim tkivima. Budućim ciljanim istraživanjima bit će potrebno potvrditi ovu hipotezu te utvrditi kinetiku i dinamiku nastanka ribosomskog stresa pri infekciji ličinkom *Anisakis*.

## **5.2 Prevalencija i intenzitet infekcije oblicem *Anisakis pegreffii* u parateničnom domaćinu, srdeli**

Najvažniji nalaz analiziranih 1564 jedinki srdela, vrste *Sardina pilchardus*, predstavlja pojava infektivne ličinke oblića *A. pegreffii* u gotovo svakoj drugoj analiziranoj srdeli ulovljenoj pored zapadne Sardinije (WS), što daleko nadmašuje sve ostale postaje uzorkovanja s prevalencijom od najviše 6%. Uzrok tomu dijelom je u veličini jedinki srdele, koje su iz WS postaje uzorkovanja bile u prosjeku > 2 cm veće od ostalih. Ipak, važno je napomenuti da ovo nije prvi nalaz visoke prevalencije oblića *A. pegreffii* na ovom području. Piras i suradnici [194] utvrdili su prevalenciju oblića *A. pegreffii* od 13,1% u tjelesnoj šupljini i 2,8% u fileima srdela ulovljenih u blizini sjeverne Sardinije, u skladu s rezultatima ovog istraživanja. Najveća zabilježena vrijednost prevalencije u literaturi prijavljena je za atlantsko ribolovno područje (ICES IXa), od

gotovo 62% u visceralnim organima srdele i 17% u mišićju [69]. Ipak, čak i u slučajevima izražene prevalencije, u ovom istraživanju, kao i u drugoj raspoloživoj literaturi, prosječni intenzitet infekcije u srdelama obično je nizak, od jedne do dviju ličinki oblića [72–74,194]. Za razliku od nalaza na postaji uzorkovanja WS, najmanje srdele iz sjevernog Tirenskog mora (NT) nisu bile inficirane *A. pegreffii* ličinkama. Veća prevalencija u uzorku veće ribe može se objasniti akumulacijom nametnika tijekom duljeg životnog vijeka putem hrane u kojoj se nalaze ličinke *Anisakis* spp. [195]. Zorica i suradnici [196] proveli su istraživanje na srdelama iz Jadranskog mora i utvrdili da je sastav prehrane srdele, koji pretežno uključuje kopepodne račiće, ličinačke stadije dekapodnih rakova i jaja, jednak u svim veličinskim kategorijama srdele. Istraživanje provedeno u Sjevernome moru potvrdilo je kopepodne račiće kao posredničke domaćine oblića *Anisakis simplex* [197] te se može pretpostaviti da su oni jedan od glavnih izvora infekcije oblicem u srdelama tijekom života.

S obzirom na javnozdravstveni problem infekcije čovjeka putem konzumacije srdele, značajan rezultat ovog istraživanja utvrđena je ukupna prevalencija u fileima od 1,5%. Budući da su svi uzorci kupljeni ili isporučeni svježi, broj sati od ulova ribe do dostave u istraživačke institucije usporediv je s vremenom isporuke svakom domaćinstvu. Iako se ne može sa sigurnošću tvrditi, postoji mogućnost da *Anisakis* ličinke migriraju u file čak i tijekom života parateničnog domaćina. Slični zaključci izvedeni su u istraživanju provedenom na incunu *Engraulis encrasicolus* na području Sredozemnog mora [198]. Dodatna olakšavajuća okolnost za migraciju *Anisakis* ličinke u područje mišićja mala je udaljenost od visceralnih organa do filea, kao u slučaju male plave ribe, poput incuna i srdele. U eksperimentalnim istraživanjima utvrđeno je da su temperatura i vrijeme trajanja skladištenja ribe najvažnije varijable koje određuju aktivnost i pokretljivost *Anisakis* ličinki u konzumnoj ribi [198,199]. Nadalje, mjesto parazitiranja unutar ribe ima značajan učinak, čak i kada se izuzme varijabilnost abundancije oblića *A. pegreffii* uzrokovane veličinom parateničnog domaćina. Naime, najveća je vjerojatnost da će zaraženi dio srdele uključivati želudac/piloričke nastavke/crijevo, što je važno znati ako postoji praksa da se ribi zbog male veličine ne odstranjuje utroba prije konzumacije. Budući da se srdele u sredozemnim zemljama uobičajeno konzumiraju termički neobrađene (npr. soljene ili marinirane), a da se pritom ne vadi utroba zbog veličine ribe, čimbenici rizika nisu zanemarivi. Iako su restorani obvezni po zakonu zamrzavati ribu prije pripreme, mnoga kućanstva pripremaju navedena jela sa svježim,

prethodno nezamrznutim srdelama, a *Anisakis* ličinke mogu preživjeti proces soljenja ili mariniranja [200].

Važan je nalaz ovog istraživanja pojava *Hysterothylacium* sp. s ukupnom prevalencijom od 20,1%. Prisutnost *Hysterothylacium* sp. Prethodno je zabilježena u srdeli i drugim vrstama riba iz Jadranskog [73] i zapadnog Sredozemnog mora [201,202], iako s različitim prevalencijama za svako istraživano područje. Rello i suradnici [202] zamijetili su *Hysterothylacium aduncum* kao jedinog nametnika prisutnog u srdelama s južne i istočne obale Španjolske s ukupnom prevalencijom od 11,85% (TL raspon 12,2 – 21,0 cm). Cavallero i suradnici objavili su jednu od najviših zabilježenih prevalencija nametnika *Hysterothylacium* sp. (42,4%) u velikom uzorku srdela tijekom 2011. i 2012. godine (N = 3300) na području sjevernog Jadrana [73]. Čak i u tako velikom uzorku s vrlo visokom prevalencijom *Hysterothylacium* sp., prevalencija *Anisakis* spp bila je vrlo niska (0,2%). Navedeni su rezultati dijelom slični nalazima u ovom istraživanju za sjeverno Jadransko more 2013. godine (*Hysterothylacium* sp. prevalencija 42,7% i *A. pegreffii* prevalencija 6,0%) (**tablica 4.4 i dodatna tablica 10.7**). Međutim, u 2014. godini prevalencija obaju nametnika smanjila se u analiziranim uzorcima, osobito za *Hysterothylacium* sp. (prevalencija 1%). Trend je bio suprotan u srednjem Jadranu; od 1,3% u 2013. godini, do najviše zabilježene prevalencije *Hysterothylacium* sp. od 57,4% u 2014. godini. Isti trend bio je prisutan, iako manje naglašen, u oblića *A. pegreffii* (od 1,7 do 3,5%). Razlog ove promjene u abundanciji nametnika u srdelama može biti u oceanografskim događanjima u Jadranskome moru, a samim time i dostupnosti plijena koji ima ulogu intermedijarnog domaćina. Ovo se jedino može istražiti analizom sadržaja želuca i praćenjem oceanografskih uvjeta na mjestu uzorkovanja, uz napomenu da bi uzorkovanje trebalo obuhvatiti dulje vremensko razdoblje (> 2 godine) kako bi se mogli izvesti zaključci o povezanosti klimatskih promjena i populacija nametnika.

Nedavno otkriće prisutnosti ličinki oblića *Anisakis* spp. u brojnim mezozooplanktonskim organizmima sugerira da su putevi prijenosa širi nego što se pretpostavljalo [35,197], dok su različiti organizmi, kao što su kalanoidni kopepodi, mnogočetinaši i gamaridni amfipodi poznati kao intermedijarni domaćini oblića *Hysterothylacium* sp. [203]. Međutim, nalazi iz Jadranskog mora uvelike premašuju prevalenciju oblića *Hysterothylacium* sp. na području zapadnog Sredozemnog mora, uglavnom jer na dvije postaje uzorkovanja nametnik nije otkriven (postaja u

sjevernom Tirenskom moru i pokraj južne Sicilije). Iako se *Hysterothylacium* sp. općenito smatra nepatogenim za ljude, njegova prisutnost može imati ekonomske implikacije [202] zbog odbojnog izgleda utrobe ribe u kojoj su vidljivi nametnici.

Ispitivanje koje je provedeno anketiranjem španjolskih potrošača ribe uputilo je na percepciju i stavove potrošača u odnosu na prisutnost ličinki *Anisakis* roda u ribi [204]. Rezultati su ukazali na zabrinutost većine potrošača, ali koji bi bili spremni platiti do 10% veću cijenu ribe (6.60€/kg u usporedbi s cijenom od 6€/kg), ako bi im se jamčilo da je proizvod nezaražen. UV-kompresijska metoda, korištena u ovom istraživanju, jako je učinkovita u otkrivanju nametnika, međutim proces zamrzavanja trenutačno zahtjeva previše vremena da bi se koristila na ribarskim brodovima i prikladnija je za riboprerađivačke pogone [205]. Dodatno, nakon UV-kompresijske metode uzorak je uništen te se ne može staviti na tržište, a postoji ograničenje i kod korištenja na jako velikim uzorcima ribe. Poboljšanje i razvoj tehnologije, trenutačno dostupne na tržištu za pregledavanje i sprječavanje pojave *Anisakis* ličinke u proizvodima ribarstva i riboprerađivačke industrije, omogućila bi bolju ekonomsku održivost ove industrije i pritom ostvarila dobrobit za javno zdravstvo [204]. Nadalje, spriječilo bi se odbijanje izvoznih morskih proizvoda na granici [206], što se događa prilikom izvoza incuna za Italiju i Španjolsku, zbog infekcije nametnikom *Anisakis* [207].

Više od 25% anketiranih španjolskih potrošača izjavilo je da su u prošlosti izbjegavali kupiti ili jesti morsku ribu zbog prisutnosti *Anisakis* ličinke, a gotovo dvije trećine potrošača izjavilo je da su spremni prestati kupovati ili jesti morsku ribu zbog prisutnosti *Anisakis* ličinke. Posebno je zanimljiv rezultat, u odnosu na rezultate ovog istraživanja, taj da su španjolski potrošači svjesni zaraženosti *Anisakis* ličinkom određenih vrsta morskih riba, poput oslića (19% ispitanika označilo je da su izbjegavali oslića u prošlosti), dok je jako malo ispitanika bilo svjesno rizika konzumacije male plave ribe (samo 1% ispitanika označio je izbjegavanje srdele u prošlosti i 4% ispitanika izbjegavalo je incun). 40% ispitanika odgovorilo je da konzumiraju sirovu ili slabije kuhanu ribu, a 10% ispitanika potvrdilo je korištenje svježe, prethodno nezamrznute ribe, za pripremu sirove ili lagano kuhane ribe u domaćinstvima. Među ispitanicima koju su potvrdili konzumiranje sirove svježe ribe u kući, 22% navelo je izbjegavanje incuna, a 2% srdele [204].

Srdele se općenito smatraju niskim ili vrlo niskim izvorom infekcije ljudi ličinkama *Anisakis* s obzirom na prevalenciju u mišićju, pogotovo u usporedbi s velikim predatorskim vrstama riba, kao što je oslić. Zanimljivo je da se inćun ipak smatra visoko rizičnim za ljude, iako razina rizika ovisi o geografskom području [69]. Nedavno objavljeno istraživanje o pojavnosti *Anisakis* ličinki u blago prerađenim proizvodima inćuna (soljeni, u ulju i marinirani inćuni), prikupljenih s talijanskih tržnica, umjetnom digestijom otkrilo je iznimno velik broj ličinki [208]. Ukupno 1283 mrtve ličinke prikupljene su u 107 analiziranih proizvoda, bar jedna ličinka pronađena je u 54,2% proizvoda, a prednjačili su soljeni proizvodi koji su svi bili zaraženi, s 1 – 105 ličinki po proizvodu. Poduzorak oblića (N = 122) molekularno je identificiran kao vrsta *A. pegreffii* (N = 92) i *A. simplex* (N = 30). Iako je rizik za anisakijazu bio zanemariv, jer se radilo o mrtvim ličinkama, pojavnost potencijalnih alergijskih reakcija senzibiliziranih pojedinaca, međutim, nije isključena. Također, odbojan izgled proizvoda kod potrošača bio je izražen [208]. Činjenicu da u sredozemnim zemljama komercijalno važna mala plava riba nije zanemariv izvor infekcije ljudi potvrdila je i nedavno objavljena retrospektivna analiza literature o slučajevima anisakijaze u Italiji, s posebnim naglaskom na izvoru zaraze [209]. Kriterij uključenja bila je prisutnost ličinke i njezina identifikacija, a analizirali su se epidemiološki podaci i klinička slika 73 slučaja koji su zadovoljili kriterije. Kod većine pacijenata izvor zaraze bio je sirov ili lagano kuhan inćun (65,7%), inćun ili srdela (15,1%), općenito sirova morska hrana (15,1%) i srdele (1,4%).

Ovo istraživanje potvrdilo je da je prisutnost oblića *A. pegreffii* u srdelama iz Sredozemnog mora pod snažnim utjecajem geografske varijacije i varijacije u veličini domaćina. Navedene varijable, zajedno s podacima o prevalenciji i intenzitetu *A. pegreffii* infekcije (posebno za file srdela), mogu se izravno uključiti u buduće procjene izloženosti hrvatske populacije ovom riziku, koristeći i podatke iz upitnika o prehrambenim navikama stanovništva (detaljna metodologija prikazana u literaturi [85]). Dodana je vrijednost ovog istraživanja pružanje osnove potrebne za izradu kvantitativne procjene rizika za srdelu i razvoj HACCP (prema engl. *hazard analysis and critical control points*) protokola za proizvode riboprerađivačke industrije.

## 6. Zaključak

Istraživanje u okviru ove doktorske disertacije predstavlja napredak u razumijevanju mehanizama rane infekcije ličinkom oblića *Anisakis pegreffii* u modelu slučajnog domaćina jer prvi put primjenjuje metodologiju visokoprotočnog sekvenciranja u ispitivanju patogeneze anisakijaze. Molekularni rezultati pokazali su snažan lokaliziran upalni odgovor, većim dijelom temeljen na aktivaciji signalnog puta IL17 i razvoj odgovora Th17, uz moguću pojavu ribosomskog stresa. Isto je dodatno potkrijepljeno nalazima na staničnoj razini, koji su pokazali teške upalne/hemoragične lezije u tkivima želuca i abdominalnih mišića. Mjesto prodora ličinke oblića *A. pegreffii* u prva 32 sata infekcije infiltrirano je polimorfonuklearnim leukocitima (pretežno neutrofilima) te u manjoj mjeri makrofagima. Bolje razumijevanje efektorskih mehanizama postavlja temelje za buduća istraživanja fokusirana na mehanizme interakcija nametnika koji nisu koevolucijski razvili nametnički odnos s ljudima.

Opsežno uzorkovanje srdela na području Jadranskog mora i zapadnog Sredozemnog mora, kao i primjena specifične metode pregledavanja ribljeg mesa i utrobe upotrijebljenih u ovom istraživanju, pružaju ključne podatke za krajnjeg potrošača, riboprerađivačku industriju, ali i javnozdravstvene stručnjake i liječnike. Istraživanje je potvrdilo da se prisutnost infektivne ličinke oblića *A. pegreffii* u srdelama na području Jadranskog i zapadnog Sredozemnog mora značajno mijenja ovisno o geografskom području i veličini domaćina. Navedene varijable, zajedno s podacima o prevalenciji i intenzitetu infekcije oblicem vrste *A. pegreffii* (poglavito u fileima srdele), mogu se iskoristiti kao osnova za izradu kvantitativne procjene rizika infekcije ljudi te za razvoj HACCP protokola unutar riboprerađivačke industrije.

## 7. Kratki sažetak na engleskom jeziku (Summary)

### **Prevalence of infectious nematode larvae *Anisakis pegreffii* (Nematoda, Anisakidae) in paratenic host (*Sardina pilchardus*) and molecular characterization of model accidental host response (*Rattus norvegicus*)**

Aims of the research performed on model accidental host infected with *Anisakis pegreffii* larvae were to: histopathologically describe severe inflammatory/hemorrhagic lesions at the infection site and explore the transcriptomes of affected tissues using RNA-Seq. Elicited strong local proinflammatory reaction seems to favor the activation of the interleukin 17 signaling pathway and the development of the T helper 17-type response. The lesion sites showed infiltration by polymorphonuclear leukocytes and macrophages. Understanding the cellular and molecular mechanisms underlying host responses to *Anisakis* infection is important to elucidate many aspects of the onset of anisakiasis, a disease of growing public-health concern.

The study of European pilchards from different Adriatic and Mediterranean regions aimed to assess prevalence and intensity of *A. pegreffii* infection during a three-year period. The overall prevalence in pilchards was 12.2% (range 0–44.9% for different sampling points) and mean intensity 1.8, while an overall larval prevalence in fillets was 1.5%. This study demonstrates that the presence of *A. pegreffii* in European pilchards from the Adriatic and Mediterranean Sea is highly influenced by geographic and host size variation. Results suggest the need to implement these variables in future planning of risk management measures, to mitigate potential effects on the public health.

## 8. Kratki sažetak

Ciljevi istraživanja provedenog na modelu slučajnog domaćina inficiranog ličinkama oblića *Anisakis pegreffii* bili su: histopatološki opisati teške upalne/hemoragijske lezije na mjestu infekcije i istražiti transkriptome zahvaćenih tkiva s pomoću RNA sekvenciranja. Snažna lokalna upalna reakcija temelji se na aktivaciji signalnog puta interleukina 17 i razvoju odgovora limfocita Th17, a područja lezija infiltrirana su polimorfonuklearnim leukocitima i makrofagima. Razumijevanje staničnih i molekularnih mehanizama odgovora domaćina na infekciju oblicem *Anisakis* važno je za shvaćanje mnogih osobitosti nastanka anisakijaze, sve važnije bolesti javno-zdravstvenog interesa.

Cilj istraživanja na srdelama (*Sardina pilchardus*) iz različitih jadranskih i zapadno-sredozemnih regija bio je procijeniti prevalenciju i intenzitet infekcije ličinkom oblića *A. pegreffii* kroz trogodišnje razdoblje uzorkovanja. Ukupna prevalencija iznosila je 12,2% (raspon 0 – 44,9% za različite postaje uzorkovanja) i prosječni intenzitet 1,8, dok je ukupna prevalencija ličinki u fileima bila 1,5%. Ovim istraživanjem potvrđeno je da se prisutnost infektivne ličinke oblića *A. pegreffii* u srdelama na području Jadranskog i zapadnog Sredozemnog mora značajno mijenja ovisno o geografskom području i veličini domaćina. Rezultati upućuju na potrebu uključivanja ovih varijabli u buduće mjere upravljanja rizikom kako bi se smanjio potencijalni utjecaj na zdravlje ljudske populacije.



## 9. Popis literature

- [1] Broglia A, Kapel C. Changing dietary habits in a changing world: Emerging drivers for the transmission of foodborne parasitic zoonoses. *Vet Parasitol* 2011;182:2–13. doi:10.1016/j.vetpar.2011.07.011.
- [2] Bouwknegt M, Devleeschauwe B, Graham H, Robertson LJ, van der Giessen J. Prioritization of foodborne parasites in Europe. *Euro Surveill* 2018;23:17-00161. doi:https://doi.org/10.2807/1560-7917.ES.2018.23.9.17-00161.
- [3] EFSA. Scientific opinion of the Panel on Biological Hazards on risk assessment of parasites in fishery products. *EFSA J* 2010;8:10–43. doi:10.2903/j.efsa.2010.1543.
- [4] Chai J-Y, Darwin Murrell K, Lymbery AJ. Fish-borne parasitic zoonoses: Status and issues. *Int J Parasitol* 2005;35:1233–54. doi:10.1016/j.ijpara.2005.07.013.
- [5] Hepworth M, Grecis RK, Artis D. Regulation of immunity and inflammation following intestinal helminth infection. In: Kennedy MW, Harnett W, editors. *Parasit. Nematodes. Mol. Biol. Biochem. Immunol.* 2nd ed., 2013, p. 106–22.
- [6] Allen JE, Maizels RM. Diversity and dialogue in immunity to helminths. *Nat Rev Immunol* 2011;11:375–88. doi:10.1038/nri2992.
- [7] Yates KE, Lyczak JB. Overview of immunity. In: Pier G, Lyczak J, Wetzle L, editors. *Immunol. Infect. Immun.*, Washington, DC: ASM Press; 2004, p. 3–27.
- [8] Abbas AK, Lichtman AH, Pillai S. Properties and overview of immune responses. *Cell. Mol. Immunol.* 9th Ed., Philadelphia: Elsevier; 2018, p. 1–13.
- [9] Murphy K, Weaver C. Basic concepts in immunology. *Janeway's Immunobiol.* 9th ed., 2017, p. 1–36.

- 
- [10] Taradi M. Pregled imunosti. In: Andreis I, Batinić D, Čulo F, Grčević D, Lukinović-Škudar V, Marušić M, et al., editors. *Imunologija*. 7th ed., Zagreb: Medicinska naklada; 2010, p. 2–17.
- [11] Čulo F, Batinić D. Stanice, tkiva i organi imunskog sustava. In: Andreis I, Batinić D, Čulo F, Grčević D, Lukinović-Škudar V, Marušić M, et al., editors. *Imunologija*. 7th ed., Zagreb: Medicinska naklada; 2010, p. 18–57.
- [12] Xiao TS. Innate immunity and inflammation. *Cell Mol Immunol* 2017;14:1–3. doi:10.1038/cmi.2016.45.
- [13] Taradi M. Nespecifična imunost. In: Andreis I, Batinić D, Čulo F, Grčević D, Lukinović-Škudar V, Marušić M, et al., editors. *Imunologija*. 7th ed., Zagreb: Medicinska naklada; 2010, p. 156–71.
- [14] Lyczak JB. Innate immunity. In: Pier G, Lyczak J, Wetzler L, editors. *Immunol. Infect. Immun.*, Washington DC: ASM Press; 2004, p. 29–46.
- [15] Vijay-Kumar M, Gewirtz AT. Guardians of the gut: newly appreciated role of epithelial Toll-like receptors in protecting the intestine. *Gastroenterology* 2008;135:351–354.
- [16] Fritz JH, Ferrero RL, Philpott DJ, Girardin SE. Nod-like proteins in immunity, inflammation and disease. *Nat Immunol* 2006;7:1250–1257.
- [17] Fritz JH, Le Bourhis L, Magalhaes JG, Philpott DJ. Innate immune recognition at the epithelial barrier drives adaptive immunity: APCs take the back seat. *Trends Immunol* 2008;29:41–49.
- [18] Stadnyk AW, Kearsley JA. Pattern of proinflammatory cytokine mRNA expression during *Trichinella spiralis* infection of the rat. *Infect Immun* 1996;64:5138–5143.
- [19] Cruickshank, S.M., DeSchoolmeester, M.L., Svensson M, Howell G, Bazakou A, Logunova

- L, Little MC, English N, et al. Rapid dendritic cell mobilization to the large intestinal epithelium is associated with resistance to *Trichuris muris* infection. *J Immunol* 2009;182:3055–3062.
- [20] Zaph C, Troy AE, Taylor BC, Berman-Booty, L.D., Guild KJ, Du Y, Yost EA, et al. Epithelial-cell-intrinsic IKK-beta expression regulates intestinal immune homeostasis. *Nature* 2007;446:552–556.
- [21] Madden KB, Whitman L, Sullivan C, Gause WC, Urban JFJ, Katona IM, et al. Role of STAT6 and mast cells in IL-4- and IL-13-induced alterations in murine intestinal epithelial cell function. *J Immunol* 2002;169:4417–4422.
- [22] Bancroft AJ, McKenzie ANJ, Grenicis RK. A critical role for IL-13 in resistance to intestinal nematode infection. *J Immunol* 1998;160:3453–3461.
- [23] Wilson, M.S., Ramalingam, T.R., Rivollier A, Shenderov K, Mentink-Kane, M.M., Madala SK, Cheever AW, Artis D, Kelsall BL, et al. Colitis and intestinal inflammation in IL10-/- mice results from IL-13Ralpha2-mediated attenuation of IL-13 activity. *Gastroenterology* 2010;140:254–264.
- [24] McKenzie GJ, Fallon PG, Emson CL, Grenicis RK, McKenzie AN. Simultaneous disruption of interleukin (IL)-4 and IL-13 defines individual roles in T helper cell type 2-mediated responses. *J Exp Med* 1999;189:1565–1572.
- [25] Urban JFJ, Noben-Trauth, N., Donaldson DD, Madden KB, Morris SC, Collins M, Finkelman FD. IL-13, IL-4Ralpha, and Stat6 are required for the expulsion of the gastrointestinal nematode parasite *Nippostrongylus brasiliensis*. *Immunity* 1988;8:255–264.
- [26] Schopf LR, Hoffmann KF, Cheever AW, Urban JFJ, Wynn TA. IL-10 is critical for host resistance and survival during gastrointestinal helminth infection. *J Immunol* 2002;168:2383–2392.

- 
- [27] Bliss SK, Alcaraz A, Appleton JA. IL-10 prevents liver necrosis during murine infection with *Trichinella spiralis*. *J Immunol* 2003;171:3142–3147.
- [28] Audicana MT, Kennedy MW. *Anisakis simplex*: From obscure infectious worm to inducer of immune hypersensitivity. *Clin Microbiol Rev* 2008;21:360–79. doi:10.1128/CMR.00012-07.
- [29] Mattiucci S, Cipriani P, Levsen A, Paoletti M, Nascetti G. Molecular epidemiology of *Anisakis* and anisakiasis: An ecological and evolutionary road map. *Adv Parasitol* 2018;99:1–171. doi:10.1016/bs.apar.2017.12.001.
- [30] Abollo E, Gestal C, Pascual S. *Anisakis* infestation in marine fish and cephalopods from Galician waters: An updated perspective. *Parasitol Res* 2001;87:492–9. doi:10.1007/s004360100389.
- [31] Pozio E. Integrating animal health surveillance and food safety: the example of *Anisakis*. *Rev Sci Tech Off Int Epiz* 2013;32:487–96.
- [32] Mattiucci S, D’Amelio S. Anisakiasis. In: Bruschi F, editor. *Helminth Infect. Their Impact Glob. Public Heal.*, Springer-Verlag Wien; 2014, p. 325–66. doi:10.1093/cid/ciu891.
- [33] Køie M, Berland B, Burt M. Development to third-stage larva occurs in eggs *Anisakis simplex* and *Pseudoterranova decipiens* (Nematoda, Ascaridoidea, Anisakidae). *Can J Fish Aquat Sci* 1995;52:134–9.
- [34] Hays R, Measures LN, Huot J. Euphausiids as intermediate hosts of *Anisakis simplex* in the St. Lawrence estuary. *Can J Zool* 1998;76:1226–35. doi:10.1139/cjz-76-7-1226.
- [35] Gregori M, Roura Á, Abollo E, González ÁF, Pascual S. *Anisakis simplex* complex (Nematoda: Anisakidae) in zooplankton communities from temperate NE Atlantic waters. *J Nat Hist* 2015;49:755–73. doi:10.1080/00222933.2014.979260.

- [36] Gómez-Gutiérrez J, Robinson CJ, Kawaguchi S, Nicol S. Parasite diversity of *Nyctiphanes simplex* and *Nematoscelis difficilis* (Crustacea: Euphausiacea) along the northwestern coast of Mexico. *Dis Aquat Organ* 2010;88:249–66. doi:10.3354/dao02155.
- [37] Berland B. Musings on nematode parasites (*Fisken oghavet*). Havforskningsinstituttet, Bergen. 2006.
- [38] Iglesias L, Valero A, Benítez R, Adroher FJ. In vitro cultivation of *Anisakis simplex*: Pepsin increases survival and moulting from fourth larval to adult stage. *Parasitology* 2001;123:285–91. doi:10.1017/S0031182001008423.
- [39] Mattiucci S, Nascetti G. Advances and trends in the molecular systematics of anisakid nematodes, with implications for their evolutionary ecology and host-parasite co-evolutionary processes. *Adv Parasitol* 2008;66:47–148. doi:10.1016/S0065-308X(08)00202-9.
- [40] Ishikura H, Kikuchi K, Nagasawa K, Ooiwa T, Takamiya H, Sato N, et al. Anisakidae and anisakidosis. In: Sun T, editor. *Prog. Clin. Parasitol.*, New York: Springer-Verlag; 1993, p. 43–102.
- [41] Valentini A, Mattiucci S, Bondanelli P, Webb SC, Mignucci-Giannone A a, Colom-Llavina MM, et al. Genetic relationships among *Anisakis* species (Nematoda: Anisakidae) inferred from mitochondrial *cox2* sequences, and comparison with allozyme data. *J Parasitol* 2006;92:156–66. doi:10.1645/GE-3504.1.
- [42] Mattiucci S, Acerra V, Paoletti M, Cipriani P, Levsen A, Webb SC, et al. No more time to stay ‘single’ in the detection of *Anisakis pegreffii*, *A. simplex* (s. s.) and hybridization events between them: a multi-marker nuclear genotyping approach. *Parasitology* 2016:1–14. doi:10.1017/S0031182016000330.
- [43] Ishikura H, Kikuchi K. Intestinal anisakiasis in Japan: Infected fish, sero-immunological diagnosis, and prevention. Tokyo: Springer-Verlag; 1990.

- [44] Rosales MJ, Mascaró C, Fernandez C, Luque F, Moreno MS, Parras L, et al. Acute intestinal anisakiasis in Spain: A fourth-stage *Anisakis simplex* larva. Mem Inst Oswaldo Cruz 1999;94:823–6. doi:10.1590/S0074-02761999000600020.
- [45] Baptista-Fernandes T, Rodrigues M, Castro I, Paixão P, Pinto-Marques P, Roque L, et al. Human gastric hyperinfection by *Anisakis simplex*: A severe and unusual presentation and a brief review. Int J Infect Dis 2017;64:38–41. doi:10.1016/j.ijid.2017.08.012.
- [46] Hochberg NS, Hamer DH. Anisakidosis: Perils of the deep. Clin Infect Dis 2010;51:806–12. doi:10.1086/656238.
- [47] Mattiucci S, Paoletti M, Colantoni A, Carbone A, Gaeta R, Proietti A, et al. Invasive anisakiasis by the parasite *Anisakis pegreffii* (Nematoda: Anisakidae): diagnosis by real-time PCR hydrolysis probe system and immunoblotting assay. BMC Infect Dis 2017;17:530. doi:10.1186/s12879-017-2633-0.
- [48] Nieuwenhuizen NE. *Anisakis* – immunology of a foodborne parasitosis. Parasite Immunol 2016;38:548–57. doi:10.1111/pim.12349.
- [49] Moneo I, Carballeda-Sangiao N, González-Muñoz M. New perspectives on the diagnosis of allergy to *Anisakis* spp. Curr Allergy Asthma Rep 2017;17:27. doi:10.1007/s11882-017-0698-x.
- [50] Carlin AF, Abeles S, Chin NA, Lin GY, Young M, Vinetz JM. Case report: A common source outbreak of anisakidosis in the United States and postexposure prophylaxis of family collaterals. Am J Trop Med Hyg 2018;99:1219–21. doi:10.4269/ajtmh.18-0586.
- [51] Daschner A, Alonso-Gómez A, Cabañas R, Suarez-de-Parga J-M, López-Serrano M-C. Gastroallergic anisakiasis: Borderline between food allergy and parasitic disease—Clinical and allergologic evaluation of 20 patients with confirmed acute parasitism by *Anisakis simplex*. J Allergy Clin Immunol 2000;105:176–81. doi:10.1016/S0091-6749(00)90194-5.

- [52] Baird FJ, Gasser RB, Jabbar A, Lopata AL. Foodborne anisakiasis and allergy. *Mol Cell Probes* 2014;28:167–74. doi:10.1016/j.mcp.2014.02.003.
- [53] Fæste CK, Jonscher KR, Dooper MMWB, Egge-Jacobsen W, Moen A, Daschner A, et al. Characterisation of potential novel allergens in the fish parasite *Anisakis simplex*. *EuPA Open Proteomics* 2014;4:140–55. doi:10.1016/j.euprot.2014.06.006.
- [54] Baird FJ, Su X, Aibinu I, Nolan MJ, Sugiyama H, Otranto D, et al. The *Anisakis* transcriptome provides a resource for fundamental and applied studies on allergy-causing parasites. *PLoS Negl Trop Dis* 2016;10:e0004845. doi:10.1371/journal.pntd.0004845.
- [55] Anadón AM, Romarís F, Escalante M, Rodríguez E, Gárate T, Cuéllar C, et al. The *Anisakis simplex* Ani s 7 major allergen as an indicator of true *Anisakis* infections. *Clin Exp Immunol* 2009;156:471–8. doi:10.1111/j.1365-2249.2009.03919.x.
- [56] Kikuchi Y, Ishikura H, Kikuchi K. Pathology of intestinal anisakiasis. In: Ishikura H, Kikuchi K, editors. *Intest. anisakiasis Japan*, Tokyo: Springer; 1990, p. 129–43.
- [57] Napoletano C, Mattiucci S, Colantoni A, Battisti F, Zizzari IG, Rahimi H, et al. *Anisakis pegreffii* impacts differentiation and function of human dendritic cells. *Parasite Immunol* 2018:e12527. doi:10.1111/pim.12527.
- [58] Mattiucci S, Paoletti M, Borrini F, Palumbo M, Palmieri RM, Gomes V, et al. First molecular identification of the zoonotic parasite *Anisakis pegreffii* (Nematoda: Anisakidae) in a paraffin-embedded granuloma taken from a case of human intestinal anisakiasis in Italy. *BMC Infect Dis* 2011;11:82. doi:10.1186/1471-2334-11-82.
- [59] Mladineo I, Popović M, Drmić-Hofman I, Poljak V. A case report of a *Anisakis pegreffii* (Nematoda, Anisakidae) identified from archival paraffin sections of a Croatian patient. *BMC Infect Dis* 2015;16:42. doi:10.1186/s12879-016-1401-x.
- [60] Zanelli M, Ragazzi M, Fiorino S, Foroni M, Cecinato P, del Mar Jordana Sanchez M, et al.

- An Italian case of intestinal anisakiasis with a presurgical diagnosis: Could this parasite represent an emerging disease? *Pathol Res Pract* 2017;213:558–64. doi:10.1016/j.prp.2017.01.027.
- [61] Nieuwenhuizen N, Lopata AL, Jeebhay MF, Herbert DR, Robins TG, Brombacher F. Exposure to the fish parasite *Anisakis* causes allergic airway hyperreactivity and dermatitis. *J Allergy Clin Immunol* 2006;117:1098–105. doi:10.1016/j.jaci.2005.12.1357.
- [62] Sánchez-Velasco P, Mendizábal L, Antón EM, Ocejo-Vinyals G, Jerez J, Leyva-Cobián F. Association of hypersensitivity to the nematode *Anisakis simplex* with HLA class II DRB1\*1502-DQB1\*0601 haplotype. *Hum Immunol* 2000;61:314–9. doi:10.1016/S0198-8859(99)00167-6.
- [63] Heffler E, Sberna ME, Sichili S, Intravaia R, Nicolosi G, Porto M, et al. High prevalence of *Anisakis simplex* hypersensitivity and allergy in Sicily, Italy. *Ann Allergy, Asthma Immunol* 2016;116:146–50. doi:10.1016/j.anai.2015.12.014.
- [64] Arilla MC, Ibarrola I, Martínez A, Monteseirín J, Conde J, Asturias J a. An antibody-based ELISA for quantification of Anis 1, a major allergen from *Anisakis simplex*. *Parasitology* 2008;135:735–40. doi:10.1017/S0031182008004332.
- [65] Caballero ML, Asero R, Antonicelli L, Kamberi E, Colangelo C, Fazii P, et al. *Anisakis* allergy component-resolved diagnosis: Clinical and immunologic differences between patients from Italy and Spain. *Int Arch Allergy Immunol* 2013;162:39–44. doi:10.1159/000351056.
- [66] Zuloaga J, Rodríguez-Bobada C, Corcuera MT, Gómez-Aguado F, González P, Rodríguez-Perez R, et al. A rat model of intragastric infection with *Anisakis* spp. live larvae: Histopathological study. *Parasitol Res* 2013;112:2409–11. doi:10.1007/s00436-013-3359-6.
- [67] Gonzalez-Muñoz M, Rodriguez-Mahillo AI, Moneo I. Different Th1/Th2 responses to



- Anisakis simplex* are related to distinct clinical manifestations in sensitized patients. *Parasite Immunol* 2010;32:67–73. doi:10.1111/j.1365-3024.2009.01162.x.
- [68] Europska komisija. Činjenice i slikovni prikazi o politici usuglašanih mjera EU-a namijenjenih opstanku i održivosti europske ribarstvene industrije. Osnovni statistički podaci. 2016.
- [69] Levsen A, Svanevik CS, Cipriani P, Mattiucci S, Gay M, Hastie LC, et al. A survey of zoonotic nematodes of commercial key fish species from major European fishing grounds—Introducing the FP7 PARASITE exposure assessment study. *Fish Res* 2018;202:4–21. doi:10.1016/j.fishres.2017.09.009.
- [70] Morello EB, Arneri E. Anchovy and sardine in the Adriatic Sea - an ecological review. In: Gibson RN, Atkinson RJA, Gordon JDM, editors. *Ocean Mar Biol*. 47th ed., 2009, p. 209–56.
- [71] GFCM-FAO (prema engl. *General Fisheries Commission for the Mediterranean, Food and Agriculture Organization*). Statistika o ribarstvu i akvakulturi. GFCM produkcija ulova za razdoblje 1970. – 2014. (FishstatJ), 2016.
- [72] Molina-Fernández D, Malagón D, Gómez-Mateos M, Benítez R, Martín-Sánchez J, Adroher FJ. Fishing area and fish size as risk factors of *Anisakis* infection in sardines (*Sardina pilchardus*) from Iberian waters, southwestern Europe. *Int J Food Microbiol* 2015;203:27–34. doi:10.1016/j.ijfoodmicro.2015.02.024.
- [73] Cavallero S, Magnabosco C, Civettini M, Boffo L, Mingarelli G, Buratti P, et al. Survey of *Anisakis* sp. and *Hysterothylacium* sp. in sardines and anchovies from the North Adriatic Sea. *Int J Food Microbiol* 2015;200:18–21. doi:10.1016/j.ijfoodmicro.2015.01.017.
- [74] Mladineo I, Poljak V. Ecology and genetic structure of zoonotic *Anisakis* spp. from Adriatic commercial fish species. *Appl Environ Microbiol* 2014;80:1281–90. doi:10.1128/AEM.03561-13.

- [75] Serracca L, Battistini R, Rossini I, Carducci A, Verani M, Prearo M, et al. Food safety considerations in relation to *Anisakis pegreffii* in anchovies (*Engraulis encrasicolus*) and sardines (*Sardina pilchardus*) fished off the Ligurian Coast (Cinque Terre National Park, NW Mediterranean). *Int J Food Microbiol* 2014;190:79–83. doi:10.1016/j.ijfoodmicro.2014.08.025.
- [76] Mladineo I, Poljak V, Martínez-Sernández V, Ubeira FM. Anti-*Anisakis* IgE seroprevalence in the healthy Croatian coastal population and associated risk factors. *PLoS Negl Trop Dis* 2014;8:e2673. doi:10.1371/journal.pntd.0002673.
- [77] Barros C, Manzarbeitia F, López-Vélez R, Oñate JM. Anisakiasis humana en España por consumo de sardinas crudas. *Alimentaria* 1992;57–61.
- [78] López-Vélez R, García A, Barros C, Manzarbeitia F, Oñate JM. Anisakiasis en España. *Enferm Infecc Microbiol Clin* 1992;10:158–161.
- [79] Kim SH, Park CW, Kim SK, Won S, Park WK, Kim HR, et al. A case of anisakiasis invading the stomach and the colon at the same time after eating anchovies. *Clin Endosc* 2013;46:293–296.
- [80] Fumarola L, Monno R, Ierardi E, Rizzo G, Giannelli G, Lalle M, et al. *Anisakis pegreffii* etiological agent of gastric infections in two Italian women. *Foodborne Pathog Dis* 2009;6:1157–9. doi:10.1089/fpd.2009.0325.
- [81] Mattiucci S, Fazii P, Rosa A De, Paoletti M, Megna AS, Glielmo A, et al. Anisakiasis and gastroallergic reactions associated with *Anisakis pegreffii* infection, Italy. *Emerg Infect Dis* 2013;19:496–9.
- [82] Valle J, Lopera E, Sánchez ME, Lerma R, Ruiz JL. Spontaneous splenic rupture and *Anisakis* appendicitis presenting as abdominal pain: A case report. *J Med Case Rep* 2012;6:114. doi:10.1186/1752-1947-6-114.

- [83] Del Rey Moreno A, Valero A, Mayorga C, Gómez B, Torres MJ, Hernández J, et al. Sensitization to *Anisakis simplex s.l.* in a healthy population. *Acta Trop* 2006;97:265–9. doi:10.1016/j.actatropica.2005.11.007.
- [84] Puente P, Anadón AM, Rodero M, Romarís F, Ubeira FM, Cuéllar C. *Anisakis simplex*: The high prevalence in Madrid (Spain) and its relation with fish consumption. *Exp Parasitol* 2008;118:271–4. doi:10.1016/j.exppara.2007.07.002.
- [85] Bao M, Pierce GJ, Pascual S, González-Muñoz M, Mattiucci S, Mladineo I, et al. Assessing the risk of an emerging zoonosis of worldwide concern: anisakiasis. *Sci Rep* 2017;7:43699. doi:10.1038/srep43699.
- [86] D'amico P, Malandra R, Costanzo F, Castigliero L, Guidi A, Gianfaldoni D, et al. Evolution of the *Anisakis* risk management in the European and Italian context. *Food Res Int* 2014;64:348–62. doi:10.1016/j.foodres.2014.06.038.
- [87] Serrano-Moliner M, Morales-Suarez-Varela M, Valero MA. Epidemiology and management of foodborne nematodiasis in the European Union, systematic review 2000–2016. *Pathog Glob Health* 2018;112:249–58. doi:10.1080/20477724.2018.1487663.
- [88] Cavallero S, Martini A, Migliara G, Vito C De, Iavicoli S, Amelio SD. Anisakiasis in Italy : Analysis of hospital discharge records in the years 2005-2015. *PLoS One* 2018;13:e0208772.
- [89] Yera H, Fréalle É, Dutoit E, Dupouy-Camet J. A national retrospective survey of anisakidosis in France (2010-2014): decreasing incidence, female predominance, and emerging allergic potential. *Parasite* 2018;25:23. doi:10.1051/parasite/2018016.
- [90] Quiazon KMA, Yoshinaga T, Ogawa K. Experimental challenge of *Anisakis simplex sensu stricto* and *Anisakis pegreffii* (Nematoda: Anisakidae) in rainbow trout and olive flounder. *Parasitol Int* 2011;60:126–31. doi:10.1016/j.parint.2010.11.007.

- [91] Macri F, Lanteri G, Rapisarda G, Costa A, Marino F. *Anisakis pegreffii* experimental challenge in *Dicentrarchus labrax*: An endoscopic study. *Aquaculture* 2012;338–341:297–9. doi:10.1016/j.aquaculture.2012.01.015.
- [92] Marino F, Lanteri G, Passantino A, De Stefano C, Costa A, Gaglio G, et al. Experimental susceptibility of gilthead sea bream, *Sparus aurata*, via challenge with *Anisakis pegreffii* larvae. *Biomed Res Int* 2013;2013. doi:10.1155/2013/701828.
- [93] Haarder S, Kania PW, Holm TL, Louise von Gersdorff Jørgensen KB. Effect of ES-products from *Anisakis* (Nematoda: Anisakidae) on experimentally induced colitis in adult zebrafish. *Parasite Immunol* 2017;39:e12456. doi:10.1111/pim.12456.
- [94] Figueiredo I, Cardoso L, Teixeira G, Lopes L, São Clemente SC, Vericimo MA. A technique for the intra-gastric administration of live larvae of *Anisakis simplex* in mice. *Exp Parasitol* 2012;130:285–7. doi:10.1016/j.exppara.2012.01.004.
- [95] Park SK, Cho MK, Park H-K, Lee KH, Lee SJ, Choi SH, et al. Macrophage migration inhibitory factor homologs of *Anisakis simplex* suppress Th2 response in allergic airway inflammation model via CD4+CD25+Foxp3+ T cell recruitment. *J Immunol* 2009;182:6907–14. doi:10.4049/jimmunol.0803533.
- [96] Cho MK, Park MK, Kang SA, Caballero ML, Perez-Pinar T, Rodriguez-Perez R, et al. Allergenicity of two *Anisakis simplex* allergens evaluated *in vivo* using an experimental mouse model. *Exp Parasitol* 2014;146:71–7. doi:10.1016/j.exppara.2014.09.008.
- [97] Baeza ML, Conejero L, Higaki Y, Martín E, Pérez C, Infante S, et al. *Anisakis simplex* allergy: A murine model of anaphylaxis induced by parasitic proteins displays a mixed Th1/Th2 pattern. *Clin Exp Immunol* 2005;142:433–40. doi:10.1111/j.1365-2249.2005.02952.x.
- [98] Jeon C, Kim J. Pathogenic potential of two sibling species, *Anisakis simplex* (s.s.) and *Anisakis pegreffii* (Nematoda: Anisakidae): *In vitro* and *in vivo* studies. *Biomed Res Int*

- 2015;2015:1–9. doi:10.1155/2015/983656.
- [99] Romero MC, Valero A, Navarro-Moll MC, Martín-Sánchez J. Experimental comparison of pathogenic potential of two sibling species *Anisakis simplex* s.s. and *Anisakis pegreffii* in Wistar rat. *Trop Med Int Heal* 2013;18:979–84. doi:10.1111/tmi.12131.
- [100] Romero MC, Valero A, Navarro MC, Hierro I, Barón SD, Martín-Sánchez J. Experimental demonstration of pathogenic potential of *Anisakis physeteris* and *Anisakis paggiae* in Wistar rats. *Parasitol Res* 2014;113:4377–86. doi:10.1007/s00436-014-4113-4.
- [101] Morsy K, Badr AM, Abdel-Ghaffar F, El Deeb S, Ebead S. Pathogenic potential of fresh, frozen, and thermally treated *Anisakis* spp. type II (L3) (Nematoda: Anisakidae) after oral inoculation into Wistar rats: A histopathological study. *J Nematol* 2017;49:427–36.
- [102] Abe N, Teramoto I. *Anisakis* haemoglobin is a main antigen inducing strong and prolonged immunoreactions in rats. *Parasitol Res* 2017;116:2035–9. doi:10.1007/s00436-017-5475-1.
- [103] Abe N, Teramoto I. Oral inoculation of live or dead third-stage larvae of *Anisakis simplex* in rats suggests that only live larvae induce production of antibody specific to *A. simplex*. *Acta Parasitol* 2014;59:184–8. doi:10.2478/s11686-014-0216-4.
- [104] Romero MC, Navarro MC, Martín-Sánchez J, Valero A. Peppermint (*Mentha piperita*) and albendazole against anisakiasis in an animal model. *Trop Med Int Heal* 2014;19:1430–6. doi:10.1111/tmi.12399.
- [105] Romero MC, Valero A, Martín-Sánchez J, Navarro-Moll MC. Activity of *Matricaria chamomilla* essential oil against anisakiasis. *Phytomedicine* 2012;19:520–3. doi:10.1016/j.phymed.2012.02.005.
- [106] Gause WC, Urban JF, Stadecker MJ. The immune response to parasitic helminths: Insights from murine models. *Trends Immunol* 2003;24:269–77. doi:10.1016/S1471-4906(03)00101-7.

- [107] D'Amelio S, Mathiopoulos KD, Santos CP, Pugachev ON, Webb SC, Picanço M, et al. Genetic markers in ribosomal DNA for the identification of members of the genus *Anisakis* (Nematoda: Ascaridoidea) defined by polymerase-chain-reaction-based restriction fragment length polymorphism. *Int J Parasitol* 2000;30:223–6. doi:10.1016/S0020-7519(99)00178-2.
- [108] Voelkerding K V., Dames SA, Durtschi JD. Next-generation sequencing: From basic research to diagnostics. *Clin Chem* 2009;55:641–58. doi:10.1373/clinchem.2008.112789.
- [109] Habulin D. Računalna analiza knjižnica dobivenih metodama sekvenciranja sintezom prema kalupu i sekvenciranja nanoporama 2016.
- [110] Wang Z, Gerstein M, Snyder M. RNA-Seq: a revolutionary tool for transcriptomics. *Nat Rev Genet* 2009;10:57–63. doi:10.1038/nrg2484.
- [111] Bennett S. Solexa Ltd. *Pharmacogenomics* 2004;5:433–8. doi:10.1517/14622416.5.4.433.
- [112] Bolger AM, Lohse M, Usadel B. Trimmomatic: a flexible trimmer for Illumina sequence data. *Bioinformatics* 2014;1–7. doi:10.1093/bioinformatics/btu170.
- [113] Schmieder R, Edwards R. Quality control and preprocessing of metagenomic datasets. *Bioinformatics* 2011;27:863–4. doi:10.1093/bioinformatics/btr026.
- [114] Zerbino DR, Achuthan P, Akanni W, Amode MR, Barrell D, Bhai J, et al. Ensembl 2018. *Nucleic Acids Res* 2018;46:D754–61. doi:10.1093/nar/gkx1098.
- [115] Dobin A, Davis CA, Schlesinger F, Drenkow J, Zaleski C, Jha S, et al. STAR: Ultrafast universal RNA-seq aligner. *Bioinformatics* 2013;29:15–21. doi:10.1093/bioinformatics/bts635.
- [116] Robinson MD, McCarthy DJ, Smyth GK. edgeR: a Bioconductor package for differential expression analysis of digital gene expression data. *Bioinformatics* 2010;26:139–40.

- doi:10.1093/bioinformatics/btp616.
- [117] McCarthy DJ, Chen Y, Smyth GK. Differential expression analysis of multifactor RNA-Seq experiments with respect to biological variation. *Nucleic Acids Res* 2012;40:4288–97. doi:10.1093/nar/gks042.
- [118] R Development Core Team. *R: A language and environment for statistical computing* 2017.
- [119] Huber W, Carey VJ, Gentleman R, Anders S, Carlson M, Carvalho BS, et al. Orchestrating high-throughput genomic analysis with Bioconductor. *Nat Methods* 2015;12:115–21. doi:10.1038/nmeth.3252.
- [120] Carlson M, Carlson M. *org.Rn.eg.db: Genome wide annotation for rat* 2017.
- [121] McCarthy DJ, Smyth GK. Testing significance relative to a fold-change threshold is a TREAT. *Bioinformatics* 2009;25:765–71. doi:10.1093/bioinformatics/btp053.
- [122] Smyth GK. Linear models and empirical Bayes methods for assessing differential expression in microarray experiments. *Stat Appl Genet Mol Biol* 2004;3:1–25. doi:10.2202/1544-6115.1027.
- [123] Gu Z, Eils R, Schlesner M. Complex heatmaps reveal patterns and correlations in multidimensional genomic data. *Bioinformatics* 2016;32:2847–9. doi:10.1093/bioinformatics/btw313.
- [124] The Gene Ontology Consortium. The Gene Ontology project in 2008. *Nucleic Acids Res* 2008;36:D440–4. doi:10.1093/nar/gkm883.
- [125] Oshlack A, Wakefield MJ. Transcript length bias in RNA-seq data confounds systems biology. *Biol Direct* 2009;4:14. doi:10.1186/1745-6150-4-14.
- [126] Walter W, Sánchez-Cabo F, Ricote M. GOplot: an R package for visually combining

- expression data with functional analysis. *Bioinformatics* 2015;31:2912–4. doi:10.1093/bioinformatics/btv300.
- [127] Wickham H. *ggplot2 - elegant graphics for data analysis*. Use R! New York: Springer; 2009.
- [128] Luo W, Friedman MS, Shedden K, Hankenson KD, Woolf PJ. GAGE: generally applicable gene set enrichment for pathway analysis. *BMC Bioinformatics* 2009;10:161. doi:10.1186/1471-2105-10-161.
- [129] Kanehisa M, Furumichi M, Tanabe M, Sato Y, Morishima K. KEGG: new perspectives on genomes, pathways, diseases and drugs. *Nucleic Acids Res* 2017;45:D353–61. doi:10.1093/nar/gkw1092.
- [130] Luo W, Brouwer C. Pathview: an R/Bioconductor package for pathway-based data integration and visualization. *Bioinformatics* 2013;29:1830–1. doi:10.1093/bioinformatics/btt285.
- [131] Jardas I. *Jadranska ihtiofauna*. Zagreb: Školska knjiga; 1996.
- [132] Artegiani A, Bregant D, Paschini E, Pinardi N, Raicich F, Russo A. The Adriatic Sea General Circulation. Part I: Air–Sea Interactions and Water Mass Structure. *J Phys Oceanogr* 1997;27:1492–514. doi:10.1175/1520-0485(1997)027<1492:TASGCP>2.0.CO;2.
- [133] Brambati A. Origin and evolution of the Adriatic Sea. In: Colombo G, Ferrari I, Ceccherelli VU, Rossi R, editors. *Mar. Eutrophication Popul. Dyn. XXV Eur. Mar. Biol. Symp.*, 1992, p. 327–46.
- [134] Gačić M, Poulain P-M, Zore-Armanda M, Barale V. Overview. In: Cushman-Roisin B, Gačić M, Poulain P-M, editors. *Phys. Oceanogr. Adriat. Sea*, Dordrecht: Academic Publishers; 2001, p. 1–44.



- 
- [135] Lipej L, Dulčić J. The current status of Adriatic fish biodiversity. In: Griffiths HI, Kryštufek B, Reed JM, editors. *Balk. Biodivers.*, Netherlands: Kluwer Academic Publishers; 2004, p. 291–306.
- [136] Karl H, Leinemann M. A fast and quantitative detection method for nematodes in fish fillets and fishery products. *Arch Lebensmittelhyg* 1993;44:105–28.
- [137] Berland B. Nematodes from some Norwegian marine fishes. *Sarsia* 1961;2:1–50.
- [138] Mattiucci S, Cipriani P, Webb SC, Paoletti M, Marcer F, Bellisario B, et al. Genetic and morphological approaches distinguish the three sibling species of the *Anisakis simplex* species complex, with a species designation as *Anisakis berlandi* n. sp. for *A. simplex* sp. C (Nematoda: Anisakidae). *J Parasitol* 2014;100:199–214. doi:10.1645/12-120.1.
- [139] Nadler SA, Hudspeth DS. Phylogeny of the Ascaridoidea (Nematoda: Ascaridida) based on three genes and morphology: hypotheses of structural and sequence evolution. *J Parasitol* 2000;86:380–93. doi:10.1645/0022-3395(2000)086[0380:POTANA]2.0.CO;2.
- [140] Reiczigel J, Rózsa L. *Quantitative parasitology* 2005.
- [141] Bliss CI, Fisher RA. Fitting the negative binomial distribution to biological data. *Biometrics* 1953;9:176–200. doi:10.2307/3001850.
- [142] Poulin R. The disparity between observed and uniform distributions: A new look at parasite aggregation. *Int J Parasitol* 1993;23:937–44. doi:10.1016/0020-7519(93)90060-C.
- [143] Reiczigel J, Abonyi-Tóth Z, Singer J. An exact confidence set for two binomial proportions and exact unconditional confidence intervals for the difference and ratio of proportions. *Comput Stat Data Anal* 2008;52:5046–53. doi:10.1016/j.csda.2008.04.032.
- [144] Underwood. *Experiments in ecology: their logical design and interpretation using analysis of variance*. Cambridge University Press; 1997.

- [145] Field A. Discovering statistics using SPSS for Windows: Advanced techniques for the beginner. Sage Publications; 2000.
- [146] Llorens C, Arcos SC, Robertson L, Ramos R, Futami R, Soriano B, et al. Functional insights into the infective larval stage of *Anisakis simplex s.s.*, *Anisakis pegreffii* and their hybrids based on gene expression patterns. BMC Genomics 2018;19:592. doi:10.1186/s12864-018-4970-9.
- [147] Cavallero S, Lombardo F, Su X, Salvemini M, Cantacessi C, D'Amelio S. Tissue-specific transcriptomes of *Anisakis simplex (sensu stricto)* and *Anisakis pegreffii* reveal potential molecular mechanisms involved in pathogenicity. Parasit Vectors 2018;11:31. doi:10.1186/s13071-017-2585-7.
- [148] Park H, Li Z, Yang XO, Chang SH, Nurieva R, Wang Y-H, et al. A distinct lineage of CD4 T cells regulates tissue inflammation by producing interleukin 17. Nat Immunol 2005;6:1133–41. doi:10.1038/ni1261.
- [149] Weaver CT, Hatton RD, Mangan PR, Harrington LE. IL-17 family cytokines and the expanding diversity of effector T cell lineages. Annu Rev Immunol 2007;25:821–52. doi:10.1146/annurev.immunol.25.022106.141557.
- [150] Proskuryakov SY, Konoplyannikov AG, Gabai VL. Necrosis: A specific form of programmed cell death? Exp Cell Res 2003;283:1–16. doi:10.1016/S0014-4827(02)00027-7.
- [151] Junqueira LC, Carneiro J. Basic histology: Text & atlas. McGraw-Hill, Medical Pub. Division; 2005.
- [152] Abdel-Ghaffar F, Badr AM, Morsy K, Ebead S, El Deeb S, Al Quraishy S, et al. Cytokine signature and antibody-mediated response against fresh and attenuated *Anisakis simplex* (L3) administration into Wistar rats: implication for anti-allergic reaction. Parasitol Res 2015;114:2975–84. doi:10.1007/s00436-015-4500-5.

- 
- [153] Messina CM, Pizzo F, Santulli A, Bušelić I, Boban M, Orhanović S, et al. *Anisakis pegreffii* (Nematoda: Anisakidae) products modulate oxidative stress and apoptosis-related biomarkers in human cell lines. *Parasit Vectors* 2016;9:607. doi:10.1186/s13071-016-1895-5.
- [154] Murphy K, Weaver C. *Janeway's Immunobiology*. New York: Garland Science, Taylor & Francis Group, LLC; 2017.
- [155] Kang SA, Cho MK, Park M-K, Kim D-H, Hong YC, Lee YS, et al. Alteration of helper T-cell related cytokine production in splenocytes during *Trichinella spiralis* infection. *Vet Parasitol* 2012;186:319–27. doi:10.1016/J.VETPAR.2011.12.002.
- [156] Katz M, Despommier DD, Gwadz R. *Parasitic diseases*. New York: Springer-Verlag; 1989.
- [157] Abbas AK, Lichtman AH, Pillai S. *Innate immunity*. *Cell. Mol. Immunol.* 9th Ed., Philadelphia: Elsevier; 2018, p. 57–97.
- [158] Murphy CA, Langrish CL, Chen Y, Blumenschein W, McClanahan T, Kastelein RA, et al. Divergent pro- and antiinflammatory roles for IL-23 and IL-12 in joint autoimmune inflammation. *J Exp Med* 2003;198:1951–7. doi:10.1084/jem.20030896.
- [159] Yen D, Cheung J, Scheerens H, Poulet F, McClanahan T, Mckenzie B, et al. IL-23 is essential for T cell-mediated colitis and promotes inflammation via IL-17 and IL-6. *J Clin Invest* 2006;116:1310–6. doi:10.1172/JCI21404.
- [160] Zheng Y, Danilenko DM, Valdez P, Kasman I, Eastham-Anderson J, Wu J, et al. Interleukin-22, a Th17 cytokine, mediates IL-23-induced dermal inflammation and acanthosis. *Nature* 2007;445:648–51. doi:10.1038/nature05505.
- [161] Patel N, Kreider T, Urban JF, Gause WC. Characterisation of effector mechanisms at the host:parasite interface during the immune response to tissue-dwelling intestinal nematode parasites. *Int J Parasitol* 2009;39:13–21. doi:10.1016/j.ijpara.2008.08.003.

- [162] Johansson ME V, Phillipson M, Petersson J, Velcich A, Holm L, Hansson GC, et al. The inner of the two Muc2 mucin-dependent mucus layers in colon is devoid of bacteria. *Proc Natl Acad Sci U S A* 2008;105:15064–9. doi:10.1073/pnas.0803124105.
- [163] Swidsinski A, Weber J, Loening-baucke V, Hale LP, Lochs H. Spatial organization and composition of the mucosal flora in patients with inflammatory bowel disease. *J Clin Microbiol* 2005;43:3380–9. doi:10.1128/JCM.43.7.3380.
- [164] Vaishnava S, Yamamoto M, Severson KM, Ruhn KA, Yu X, Koren O, et al. The antibacterial lectin RegIII $\gamma$  promotes the spatial segregation of microbiota and host in the intestine. *Science* (80- ) 2011;334:255–8. doi:10.1126/science.1209791.
- [165] Jin W, Dong C. IL-17 cytokines in immunity and inflammation. *Emerg Microbes Infect* 2013;2:e60–e60. doi:10.1038/emi.2013.58.
- [166] Pathak M, Verma M, Srivastava M, Misra-Bhattacharya S. *Wolbachia* endosymbiont of *Brugia malayi* elicits a T helper type 17-mediated pro-inflammatory immune response through *Wolbachia* surface protein. *Immunology* 2015;144:231–44. doi:10.1111/imm.12364.
- [167] Anuradha R, Munisankar S, Dolla C, Kumaran P, Nutman TB, Babu S. Parasite antigen-specific regulation of Th1, Th2, and Th17 responses in *Strongyloides stercoralis* infection. *J Immunol* 2015;195:2241–50. doi:10.4049/jimmunol.1500745.
- [168] Bateman A, Martin MJ, O'Donovan C, Magrane M, Alpi E, Antunes R, et al. UniProt: the universal protein knowledgebase. *Nucleic Acids Res* 2017;45:D158–69. doi:10.1093/nar/gkw1099.
- [169] Karadjian G, Fercoq F, Pionnier N, Vallarino-Lhermitte N, Lefoulon E, Nieguitsila A, et al. Migratory phase of *Litomosoides sigmodontis* filarial infective larvae is associated with pathology and transient increase of S100A9 expressing neutrophils in the lung. *PLoS Negl Trop Dis* 2017;11:e0005596. doi:10.1371/journal.pntd.0005596.

- [170] Page-McCaw A. Remodeling the model organism: Matrix metalloproteinase functions in invertebrates. *Semin Cell Dev Biol* 2008;19:14–23. doi:10.1016/j.semcdb.2007.06.004.
- [171] Parks WC, Parks WC, Wilson CL, Wilson CL, López-Boado YS, López-Boado YS. Matrix metalloproteinases as modulators of inflammation and innate immunity. *Nat Rev Immunol* 2004;4:617–29. doi:10.1038/nri1418.
- [172] Angele MK, Knöferl MW, Ayala A, Albina JE, Cioffi WG, Bland KI, et al. Trauma-hemorrhage delays wound healing potentially by increasing pro-inflammatory cytokines at the wound site. *Surgery* 1999;126:279–85. doi:10.1016/S0039-6060(99)70166-2.
- [173] O’Connell EM, Nutman TB. Eosinophilia in infectious diseases. *Immunol Allergy Clin North Am* 2015;35:493–522. doi:10.1016/j.iac.2015.05.003.
- [174] Martin P, Leibovich SJ. Inflammatory cells during wound repair: The good, the bad and the ugly. *Trends Cell Biol* 2005;15:599–607. doi:10.1016/j.tcb.2005.09.002.
- [175] Shirey KA, Pletneva LM, Puche AC, Keegan AD, Gregory A, Blanco JCG, et al. Control of RSV-induced lung injury by alternatively activated macrophages is IL-4R $\alpha$ -, TLR4-, and IFN- $\beta$ -dependent. *Mucosal Immunol* 2010;3:291–300. doi:10.1038/mi.2010.6.Control.
- [176] Kinyanjui MW, Shan J, Nakada EM, Qureshi ST, Fixman ED. Dose-dependent effects of IL-17 on IL-13-induced airway inflammatory responses and airway hyperresponsiveness. *J Immunol* 2013;190:3859–68. doi:10.4049/jimmunol.1200506.
- [177] Allen JE, Sutherland TE, Rückerl D. IL-17 and neutrophils: unexpected players in the type 2 immune response. *Curr Opin Immunol* 2015;34:99–106. doi:10.1016/J.COI.2015.03.001.
- [178] Kruger P, Saffarzadeh M, Weber ANR, Rieber N, Radsak M, Von Bernuth H, et al. Neutrophils: Between host defence, immune modulation, and tissue injury. *PLoS Pathog* 2015;11:e1004651. doi:10.1371/journal.ppat.1004651.

- [179] Naka T, Nishimoto N, Kishimoto T. The paradigm of IL-6: from basic science to medicine. *Arthritis Res* 2002;4:S233. doi:10.1186/ar565.
- [180] Mangan PR, Harrington LE, O'Quinn DB, Helms WS, Bullard DC, Elson CO, et al. Transforming growth factor- $\beta$  induces development of the Th17 lineage. *Nature* 2006;441:231–4. doi:10.1038/nature04754.
- [181] Veldhoen M, Hocking RJ, Atkins CJ, Locksley RM, Stockinger B. TGF $\beta$  in the context of an inflammatory cytokine milieu supports de novo differentiation of IL-17-producing T cells. *Immunity* 2006;24:179–89. doi:10.1016/J.IMMUNI.2006.01.001.
- [182] Cho M-L, Kang J-W, Moon Y-M, Nam H-J, Jhun J-Y, Heo S-B, et al. STAT3 and NF- $\kappa$ B signal pathway is required for IL-23-mediated IL-17 production in spontaneous arthritis animal model IL-1 receptor antagonist-deficient mice. *J Immunol* 2006;176:5652–61. doi:10.4049/jimmunol.176.9.5652.
- [183] Pedersen BK, Febbraio MA. Muscle as an endocrine organ. *Physiol Rev* 2008;88:1379–406. doi:10.1152/physrev.90100.2007.
- [184] Muñoz-Cánoves P, Scheele C, Pedersen BK, Serrano AL. Interleukin-6 myokine signaling in skeletal muscle: A double-edged sword? *FEBS J* 2013;280:4131–48. doi:10.1111/febs.12338.
- [185] Zhou X, Liao WJ, Liao JM, Liao P, Lu H. Ribosomal proteins: Functions beyond the ribosome. *J Mol Cell Biol* 2015;7:92–104. doi:10.1093/jmcb/mjv014.
- [186] Mirhashemi ME, Noubary F, Chapman-Bonofiglio S, Tzipori S, Huggins GS, Widmer G. Transcriptome analysis of pig intestinal cell monolayers infected with *Cryptosporidium parvum* asexual stages. *Parasit Vectors* 2018;11:176. doi:10.1186/s13071-018-2754-3.
- [187] Zhang H-X, Liu Z-X, Sun Y-P, Zhu J, Lu S-Y, Liu X-S, et al. Rig-I regulates NF- $\kappa$ B activity through binding to *Nf- $\kappa$ b1* 3'-UTR mRNA. *Proc Natl Acad Sci* 2013;110:6459–64.

- doi:10.1073/pnas.1304432110.
- [188] Wan F, Weaver A, Gao X, Bern M, Hardwidge PR, Lenardo MJ. IKK $\beta$  2 phosphorylation regulates RPS3 nuclear translocation and NF- $\kappa$ B function during infection with *Escherichia coli* strain O157:H7. *Nat Immunol* 2011;12:335–44. doi:10.1038/ni.2007.
- [189] Lv J, Huang XR, Klug J, Ohlich SF, Lacher P, Xu A, et al. Ribosomal protein S19 is a novel therapeutic agent in inflammatory kidney disease. *Clin Sci* 2013;124:627–37. doi:10.1042/CS20120526.
- [190] Filip AM, Klug J, Cayli S, Fröhlich S, Henke T, Lacher P, et al. Ribosomal protein S19 interacts with macrophage migration inhibitory factor and attenuates its pro-inflammatory function. *J Biol Chem* 2009;284:7977–85. doi:10.1074/jbc.M808620200.
- [191] Beyer AR, Bann D V., Rice B, Pultz IS, Kane M, Goff SP, et al. Nucleolar trafficking of the mouse mammary tumor virus Gag protein induced by interaction with ribosomal protein L9. *J Virol* 2013;87:1069–82. doi:10.1128/JVI.02463-12.
- [192] Huang JY, Su WC, Jeng KS, Chang TH, Lai MMC. Attenuation of 40S ribosomal subunit abundance differentially affects host and HCV translation and suppresses HCV replication. *PLoS Pathog* 2012;8. doi:10.1371/journal.ppat.1002766.
- [193] Green L, Houck-Loomis B, Yueh A, Goff SP. Large ribosomal protein 4 increases efficiency of viral recoding sequences. *J Virol* 2012;86:8949–58. doi:10.1128/JVI.01053-12.
- [194] Piras MC, Tedde T, Garippa G, Virgilio S, Sanna D, Farjallah S, et al. Molecular and epidemiological data on *Anisakis* spp. (Nematoda: Anisakidae) in commercial fish caught off northern Sardinia (western Mediterranean Sea). *Vet Parasitol* 2014;203:237–40. doi:10.1016/j.vetpar.2014.02.003.
- [195] Valero A, Martín-Sánchez J, Reyes-Muelas E, Adroher FJ. Larval anisakids parasitizing the

- blue whiting, *Micromesistius poutassou*, from Motril Bay in the Mediterranean region of southern Spain. *J Helminthol* 2000;74:361–4. doi:10.1017/S0022149X00000536.
- [196] Zorica B, Čikeš Keč V, Vidjak O, Mladineo I, Ezgeta Balić D. Feeding habits and helminth parasites of sardine (*S. pilchardus*) and anchovy (*E. encrasicolus*) in the Adriatic Sea. *Mediterr Mar Sci* 2016;17:216–29.
- [197] Klimpel S, Palm HW, Rückert S, Piatkowski U. The life cycle of *Anisakis simplex* in the Norwegian Deep (northern North Sea). *Parasitol Res* 2004;94:1–9. doi:10.1007/s00436-004-1154-0.
- [198] Cipriani P, Acerra V, Bellisario B, Sbaraglia GL, Cheleschi R, Nascetti G, et al. Larval migration of the zoonotic parasite *Anisakis pegreffii* (Nematoda: Anisakidae) in European anchovy, *Engraulis encrasicolus*: Implications to seafood safety. *Food Control* 2016;59:148–57. doi:10.1016/j.foodcont.2015.04.043.
- [199] Šimat V, Miletić J, Bogdanović T, Poljak V, Mladineo I. Role of biogenic amines in the post-mortem migration of *Anisakis pegreffii* (Nematoda: Anisakidae Dujardin, 1845) larvae into fish fillets. *Int J Food Microbiol* 2015;214:179–86. doi:10.1016/j.ijfoodmicro.2015.08.008.
- [200] Sánchez-Monsalvez I, De Armas-Serra C, Martínez J, Dorado M, Sánchez A, Rodríguez-Caabeiro F. A new procedure for marinating fresh anchovies and ensuring the rapid destruction of *Anisakis* larvae. *J Food Prot* 2005;68:1066–72.
- [201] Angelucci G, Meloni M, Merella P, Sardu F, Madeddu S, Marrosu R, et al. Prevalence of *Anisakis* spp. and *Hysterothylacium* spp. larvae in teleosts and cephalopods sampled from waters off Sardinia. *J Food Prot* 2011;74:1769–75. doi:10.4315/0362-028X.JFP-10-482.
- [202] Rello FJ, Adroher FJ, Valero A. *Hysterothylacium aduncum*, the only anisakid parasite of sardines (*Sardina pilchardus*) from the southern and eastern coasts of Spain. *Parasitol Res* 2008;104:117–21. doi:10.1007/s00436-008-1168-0.



- [203] González L, Carvajal J. New host records of larval *Hysterothylacium aduncum* (Nematoda: Anisakidae) in fauna associated with salmonid sea farms in Chile. *Res Rev Parasit* 1995;55:247–253.
- [204] Bao M, Pierce GJ, Strachan NJC, Martínez C, Fernández R, Theodossiou I. Consumers' attitudes and willingness to pay for *Anisakis*-free fish in Spain. *Fish Res* 2018;202:149–60. doi:10.1016/j.fishres.2017.06.018.
- [205] Gómez-Morales MA, Castro CM, Lalle M, Fernández R, Pezzotti P, Abollo E, et al. UV-press method versus artificial digestion method to detect Anisakidae L3 in fish fillets: Comparative study and suitability for the industry. *Fish Res* 2018;202:22–8. doi:10.1016/j.fishres.2016.12.011.
- [206] EC RASFF. The Rapid Alert System for Food and Feed—Annual Report. Office for Official Publications of the European Communities, Luxembourg. 2010. doi:10.2772/59932.
- [207] Mladineo I, Šimat V, Miletić J, Beck R, Poljak V. Molecular identification and population dynamic of *Anisakis pegreffii* (Nematoda: Anisakidae Dujardin, 1845) isolated from the European anchovy (*Engraulis encrasicolus* L.) in the Adriatic Sea. *Int J Food Microbiol* 2012;157:224–9. doi:10.1016/j.ijfoodmicro.2012.05.005.
- [208] Guardone L, Nucera D, Lodola LB, Tinacci L, Acutis PL, Guidi A, et al. *Anisakis* spp. larvae in different kinds of ready to eat products made of anchovies (*Engraulis encrasicolus*) sold in Italian supermarkets. *Int J Food Microbiol* 2018;268:10–8. doi:10.1016/j.ijfoodmicro.2017.12.030.
- [209] Guardone L, Armani A, Nucera D, Costanzo F, Mattiucci S, Bruschi F. Human anisakiasis in Italy: a retrospective epidemiological study over two decades. *Parasite* 2018;25:41. doi:10.1051/parasite/2018034.
- [210] Voelkerding K V., Dames SA, Durtschi JD. Next-generation sequencing: from basic research to diagnostics. *Clin Chem* 2009;55:641–58. doi:10.1373/clinchem.2008.112789.

## 10. Dodatni materijal

**Dodatna tablica 10.1** Prvih 50 značajno obogaćenih ( $FDR < 0,05$ ) termina genske ontologije (GO) povezanih s diferencijalno izraženim genima u tkivima želuca štakora inficiranih ličinkama oblića *A. pegreffii*. Za svaki GO pojam prikazana je domena (biološki proces (BP), stanične komponente (CC) ili molekularna funkcija (MF)), broj gena koji su uključeni u GO pojam, broj gena povišene regulacije u ovoj disertaciji koji su uključeni u GO pojam,  $p$  vrijednost i FDR.

|    | Termini genske ontologije (GO)                     | Domena | Broj gena u GO terminu | Broj gena povišene regulacije | $p$ vrijednost | FDR      |
|----|--|--------|------------------------|-------------------------------|----------------|----------|
| 1  | odgovor na stres                                   | BP     | 2568                   | 33                            | 4,68E-16       | 8,85E-12 |
| 2  | obrambeni odgovor                                  | BP     | 826                    | 22                            | 8,49E-16       | 8,85E-12 |
| 3  | upalni odgovor                                     | BP     | 417                    | 17                            | 5,30E-15       | 3,69E-11 |
| 4  | odgovor na citokine                                | BP     | 670                    | 19                            | 5,89E-14       | 3,07E-10 |
| 5  | kemotaksija neutrofila                             | BP     | 61                     | 9                             | 3,02E-13       | 1,11E-09 |
| 6  | kompleks hemoglobina                               | CC     | 5                      | 5                             | 3,18E-13       | 1,11E-09 |
| 7  | aktivnost kemokina<br>stanični odgovor na podražaj | MF     | 24                     | 7                             | 8,80E-13       | 2,36E-09 |
| 8  | citokinima   | BP     | 571                    | 17                            | 9,05E-13       | 2,36E-09 |
| 9  | migracija neutrofila                               | BP     | 73                     | 9                             | 1,64E-12       | 3,80E-09 |
| 10 | aktivnost citokina                                 | MF     | 75                     | 9                             | 2,11E-12       | 4,41E-09 |
| 11 | kemotaksija granulocita                            | BP     | 76                     | 9                             | 2,39E-12       | 4,53E-09 |
| 12 | vezanje kemokinskog receptora                      | MF     | 32                     | 7                             | 8,39E-12       | 1,44E-08 |
| 13 | imunosti odgovor                                   | BP     | 772                    | 18                            | 9,54E-12       | 1,44E-08 |
| 14 | receptor-ligand aktivnost                          | MF     | 179                    | 11                            | 9,77E-12       | 1,44E-08 |
| 15 | migracija granulocita                              | BP     | 89                     | 9                             | 1,03E-11       | 1,44E-08 |
| 16 | aktivnost nosača kisika                            | MF     | 8                      | 5                             | 1,77E-11       | 2,17E-08 |
| 17 | prijenos kisika                                    | BP     | 8                      | 5                             | 1,77E-11       | 2,17E-08 |
| 18 | odgovor na bakterije                               | BP     | 402                    | 14                            | 1,98E-11       | 2,26E-08 |
| 19 | signalni put posredovan kemokinima                 | BP     | 36                     | 7                             | 2,06E-11       | 2,26E-08 |
| 20 | odgovor na vanjski podražaj                        | BP     | 1537                   | 23                            | 3,02E-11       | 3,14E-08 |
| 21 | aktivnost regulatora receptora                     | MF     | 206                    | 11                            | 4,49E-11       | 4,46E-08 |
| 22 | izvanstanična regija                               | CC     | 2769                   | 29                            | 6,22E-11       | 5,74E-08 |

|    |  |    |      |    |          |          |
|----|--|----|------|----|----------|----------|
| 23 | reakcija na spoj koji sadrži kisik                                   | BP | 1430 | 22 | 6,33E-11 | 5,74E-08 |
| 24 | proces imunosnog sustava   | BP | 1462 | 22 | 9,81E-11 | 8,52E-08 |
| 25 | proces višestrukih organizama  | BP | 1352 | 21 | 1,90E-10 | 1,58E-07 |
| 26 | migracija mijeloidnih leukocita                                      | BP | 126  | 9  | 2,46E-10 | 1,91E-07 |
| 27 | transport plina  | BP | 12   | 5  | 2,48E-10 | 1,91E-07 |
| 28 | odgovor na drugi organizam   | BP | 597  | 15 | 3,18E-10 | 2,34E-07 |
| 29 | odgovor na vanjski biotički podražaj                                 | BP | 598  | 15 | 3,26E-10 | 2,34E-07 |
| 30 | regulacija aktivnosti receptora                                      | BP | 258  | 11 | 5,02E-10 | 3,49E-07 |
| 31 | odgovor na biotički podražaj   | BP | 621  | 15 | 5,51E-10 | 3,62E-07 |
| 32 | kemotaksija leukocita  | BP | 138  | 9  | 5,56E-10 | 3,62E-07 |
| 33 | zacjeljivanje rana   | BP | 338  | 12 | 5,84E-10 | 3,69E-07 |
| 34 | stanični odgovor na interleukin-1                                    | BP | 93   | 8  | 6,09E-10 | 3,71E-07 |
| 35 | vezanje kisika   | MF | 14   | 5  | 6,24E-10 | 3,71E-07 |
| 36 | aktivnost molekularnog nosača<br>pozitivna regulacija kemotaksije    | MF | 15   | 5  | 9,33E-10 | 5,40E-07 |
| 37 | leukocita  | BP | 68   | 7  | 2,22E-09 | 1,25E-06 |
| 38 | urođeni imunosni odgovor   | BP | 382  | 12 | 2,35E-09 | 1,28E-06 |
| 39 | odgovor na lipopolisaharid<br>odgovor na molekule bakterijskog       | BP | 299  | 11 | 2,39E-09 | 1,28E-06 |
| 40 | podrijetla   | BP | 314  | 11 | 3,99E-09 | 2,08E-06 |
| 41 | odgovor na interleukin-1   | BP | 118  | 8  | 4,12E-09 | 2,09E-06 |
| 42 | odgovor na organsku tvar   | BP | 2366 | 25 | 4,56E-09 | 2,27E-06 |
| 43 | dio izvanstanične regije   | CC | 2636 | 26 | 7,42E-09 | 3,60E-06 |
| 44 | kemotaksija stanica  | BP | 187  | 9  | 8,19E-09 | 3,88E-06 |
| 45 | regulacija kemotaksije leukocita<br>pozitivna regulacija odgovora na | BP | 83   | 7  | 9,15E-09 | 4,24E-06 |
| 46 | vanjske podražaje  | BP | 195  | 9  | 1,18E-08 | 5,35E-06 |
| 47 | odgovor na kemikalije  | BP | 2945 | 27 | 1,44E-08 | 6,38E-06 |
| 48 | odgovor na ranjavanje  | BP | 453  | 12 | 1,60E-08 | 6,93E-06 |
| 49 | izvanstanični prostor  | CC | 2514 | 25 | 1,67E-08 | 7,11E-06 |
| 50 | vezanje citokinskog receptora  | MF | 147  | 8  | 2,34E-08 | 9,75E-06 |

**Dodatna tablica 10.2** Prvih 50 značajno obogaćenih ( $FDR < 0,05$ ) termina genske ontologije (GO) povezanih s diferencijalno izraženim genima u mišićnim tkivima štakora inficiranih ličinkama oblića *A. pegreffii*. Za svaki GO pojam prikazana je domena [biološki proces (BP), stanične komponente (CC) ili molekularna funkcija (MF)], broj gena koji su uključeni u GO pojam, broj gena povišene regulacije u ovoj disertaciji koji su uključeni u GO pojam,  $p$  vrijednost i FDR.

|    | <b>Termini genske ontologije</b>                   | <b>Domena</b> | <b>Broj gena u GO terminu</b> | <b>Broj gena povišene regulacije</b> | <b><math>p</math> vrijednost</b> | <b>FDR</b> |
|----|--|---------------|-------------------------------|--------------------------------------|----------------------------------|------------|
| 1  | obrambeni odgovor                                  | BP            | 798                           | 46                                   | 4,02E-25                         | 8,25E-21   |
| 2  | upalni odgovor                                     | BP            | 404                           | 34                                   | 2,01E-23                         | 2,06E-19   |
| 3  | odgovor na vanjski podražaj                        | BP            | 1494                          | 57                                   | 8,99E-23                         | 6,15E-19   |
| 4  | migracija neutrofila                               | BP            | 72                            | 18                                   | 2,89E-21                         | 1,22E-17   |
| 5  | migracija granulocita                              | BP            | 86                            | 19                                   | 2,98E-21                         | 1,22E-17   |
| 6  | kemotaksija granulocita                            | BP            | 75                            | 17                                   | 2,53E-19                         | 8,59E-16   |
| 7  | kemotaksija neutrofila                             | BP            | 62                            | 16                                   | 2,93E-19                         | 8,59E-16   |
| 8  | odgovor na bakterije                               | BP            | 402                           | 30                                   | 3,91E-19                         | 1,00E-15   |
| 9  | proces imunskog sustava                            | BP            | 1426                          | 51                                   | 9,50E-19                         | 2,16E-15   |
| 10 | migracija mijeloidnih leukocita                    | BP            | 123                           | 19                                   | 3,88E-18                         | 7,65E-15   |
| 11 | odgovor na vanjski biotički podražaj               | BP            | 596                           | 34                                   | 4,48E-18                         | 7,65E-15   |
| 12 | odgovor na drugi organizam                         | BP            | 596                           | 34                                   | 4,48E-18                         | 7,65E-15   |
| 13 | odgovor na biotički podražaj                       | BP            | 618                           | 34                                   | 1,35E-17                         | 2,13E-14   |
| 14 | imunosni odgovor                                   | BP            | 757                           | 36                                   | 1,28E-16                         | 1,88E-13   |
| 15 | pozitivna regulacija procesa imunskog sustava      | BP            | 568                           | 31                                   | 6,37E-16                         | 8,34E-13   |
| 16 | odgovor na lipopolisaharid                         | BP            | 303                           | 24                                   | 6,54E-16                         | 8,34E-13   |
| 17 | kemotaksija leukocita                              | BP            | 138                           | 18                                   | 7,29E-16                         | 8,34E-13   |
| 18 | migracija leukocita                                | BP            | 213                           | 21                                   | 7,32E-16                         | 8,34E-13   |
| 19 | pozitivna regulacija odgovora na vanjske podražaje | BP            | 191                           | 20                                   | 1,15E-15                         | 1,25E-12   |
| 20 | odgovor na molekule bakterijskog podrijetla        | BP            | 316                           | 24                                   | 1,64E-15                         | 1,68E-12   |
| 21 | odgovor na stres                                   | BP            | 2460                          | 61                                   | 3,91E-15                         | 3,82E-12   |
| 22 | regulacija odgovora na vanjski podražaj            | BP            | 479                           | 27                                   | 3,45E-14                         | 3,21E-11   |
| 23 | kemotaksija stanica                                | BP            | 185                           | 18                                   | 1,20E-13                         | 1,07E-10   |

|    |  |    |      |    |          |          |
|----|--|----|------|----|----------|----------|
| 24 | odgovor na podražaj<br>regulacija procesa imunskog               | BP | 5072 | 86 | 2,26E-13 | 1,93E-10 |
| 25 | sustava<br>pozitivna regulacija migracije                        | BP | 813  | 33 | 3,00E-13 | 2,46E-10 |
| 26 | leukocita  | BP | 97   | 14 | 3,65E-13 | 2,88E-10 |
| 27 | odgovor na lipid   | BP | 851  | 33 | 1,15E-12 | 8,76E-10 |
| 28 | regulacija migracije leukocita                                   | BP | 131  | 15 | 1,57E-12 | 1,15E-09 |
| 29 | migracija stanica  | BP | 919  | 34 | 1,71E-12 | 1,21E-09 |
| 30 | aktivnost citokina   | MF | 72   | 12 | 3,14E-12 | 2,14E-09 |
| 31 | regulacija migracije neutrofila<br>pozitivna regulacija stanične | BP | 33   | 9  | 3,57E-12 | 2,36E-09 |
| 32 | migracije<br>pozitivna regulacija odgovora na                    | BP | 368  | 22 | 4,00E-12 | 2,56E-09 |
| 33 | podražaj   | BP | 1377 | 41 | 4,43E-12 | 2,75E-09 |
| 34 | kemotaksije  | BP | 334  | 21 | 4,98E-12 | 3,01E-09 |
| 35 | taksije<br>pozitivna regulacija pokretljivosti                   | BP | 336  | 21 | 5,54E-12 | 3,25E-09 |
| 36 | stanica  | BP | 376  | 22 | 6,07E-12 | 3,46E-09 |
| 37 | regulacija upalnog odgovora                                      | BP | 204  | 17 | 6,75E-12 | 3,74E-09 |
| 38 | regulacija obrambenog odgovora                                   | BP | 385  | 22 | 7,92E-12 | 4,28E-09 |
| 39 | pokretljivost stanica  | BP | 974  | 34 | 8,68E-12 | 4,45E-09 |
| 40 | lokalizacija stanica   | BP | 974  | 34 | 8,68E-12 | 4,45E-09 |
| 41 | kretanje<br>pozitivna regulacija kretanja                        | BP | 1094 | 36 | 9,79E-12 | 4,90E-09 |
| 42 | stanične komponente  | BP | 387  | 22 | 1,09E-11 | 5,31E-09 |
| 43 | reakcija na spoj koji sadrži kisik                               | BP | 1363 | 40 | 1,57E-11 | 7,39E-09 |
| 44 | proces višestrukih organizama                                    | BP | 1298 | 39 | 1,58E-11 | 7,39E-09 |
| 45 | pozitivna regulacija kretanja                                    | BP | 397  | 22 | 1,76E-11 | 8,02E-09 |
| 46 | akutni upalni odgovor  | BP | 84   | 12 | 1,84E-11 | 8,19E-09 |
| 47 | regulacija izlučivanja<br>regulacija kemotaksije                 | BP | 497  | 24 | 3,08E-11 | 1,34E-08 |
| 48 | granulocita  | BP | 37   | 9  | 3,72E-11 | 1,59E-08 |
| 49 | regulacija lokalizacije<br>pozitivna regulacija migracije        | BP | 1889 | 47 | 4,10E-11 | 1,72E-08 |
| 50 | neutrofila   | BP | 27   | 8  | 1,02E-10 | 4,20E-08 |

**Dodatna tablica 10.3** Značajno regulirani KEGG metabolički i signalni putevi te putevi povezani s bolestima u tkivima želuca inficiranim ličinkama oblića *A. pegreffii*, prema rezultatima GAGE analize ( $q < 0,1$ ). Putevi koji nisu u suvišku (nisu pokazali veliko preklapanje u popisu efektivnih gena) prikazani su podebljanim slovima. Za svaki signalni put naveden je tip, tkivo, smjer regulacije, identifikacija (ID), statistička srednja vrijednost i  $q$  vrijednost.

| Tip puteva                    | Tkivo   | Smjer regulacije   | ID puteva   | Stat. srednjak | $q$ vrijednost |
|-------------------------------|---------|--------------------|---|----------------|----------------|
| Signalni i metabolički putevi | Želudac | Povišena           | rno03010 Ribosom  | 5,774          | 3,90E-06       |
|                               |         |                    | rno04610 Komplement i koagulacijske kaskade                       | 4,121          | 0,003          |
|                               |         |                    | rno04060 Interakcija citokina i citokinskih receptora             | 3,989          | 0,003          |
|                               |         |                    | rno04657 IL17 signalni put  | 4,085          | 0,003          |
|                               |         |                    | rno04640 Hematopoetska stanična linija                            | 3,865          | 0,005          |
|                               |         |                    | rno03030 Replikacija DNA  | 3,738          | 0,007          |
|                               |         |                    | rno04062 Kemokinski signalni put                                  | 3,567          | 0,007          |
|                               |         |                    | rno04110 Stanični ciklus  | 3,524          | 0,007          |
|                               |         |                    | rno04668 TNF signalni put   | 3,547          | 0,007          |
|                               |         |                    | rno04380 Diferencijacija osteoklasta                              | 3,390          | 0,009          |
|                               |         |                    | fno04145 Fagosom  | 3,068          | 0,024          |
|                               |         |                    | rno03050 Proteasom  | 3,053          | 0,032          |
|                               |         |                    | rno04115 p53 signalni put   | 2,955          | 0,032          |
|                               |         |                    | rno04064 NF- $\kappa$ B signalni put                              | 2,813          | 0,045          |
|                               |         |                    | rno00590 Metabolizam arahidonske kiseline                         | 2,729          | 0,061          |
| Signalni i metabolički putevi | Želudac | Povišena i snižena | rno04621 NLR (prema engl. <i>Nod-like receptor</i> ) signalni put | 2,639          | 0,062          |
|                               |         |                    | rno04060 Interakcija citokina i citokinskih receptora             | 4,171          | 0,005          |
|                               |         |                    | rno04610 Komplement i koagulacijske kaskade                       | 3,752          | 0,017          |
|                               |         |                    | rno04657 IL17 signalni put  | 3,662          | 0,017          |
|                               |         |                    | rno04640 Hematopoetska stanična linija                            | 3,334          | 0,034          |
| Putevi povezani s bolestima   | Želudac | Povišena           | rno04080 Interakcija neuroaktivnog liganda i receptora            | 3,016          | 0,064          |
|                               |         |                    | rno05150 Infekcija bakterijom <i>Staphylococcus aureus</i>        | 4,814          | 0,000          |
|                               |         |                    | rno05152 Tuberkuloza  | 3,623          | 0,007          |
|                               |         |                    | rno05144 Malaria  | 3,666          | 0,008          |

|                                    |                |                           |   |       |       |
|------------------------------------|----------------|---------------------------|---|-------|-------|
|                                    |                |                           | rno05140 Lišmanioza   | 3,459 | 0,008 |
|                                    |                |                           | <b>Rno05132 Infekcija bakterijom <i>Salmonella</i></b>                          | 3,057 | 0,019 |
|                                    |                |                           | rno05322 Sistemska eritemski lupus  | 3,082 | 0,019 |
|                                    |                |                           | rno05143 Afrička tripanosomijaza  | 3,120 | 0,023 |
|                                    |                |                           | rno05323 Reumatoidni artritis   | 2,886 | 0,024 |
|                                    |                |                           | <b>rno05133 Pertusis</b>  | 2,796 | 0,026 |
|                                    |                |                           | <b>rno05167 Infekcija <i>Herpes</i> virusom povezana s Kaposijevim sarkomom</b> | 2,679 | 0,028 |
|                                    |                |                           | rno05134 Legioneloza  | 2,746 | 0,028 |
|                                    |                |                           | rno05321 Upalna bolest crijeva (IBD)  | 2,610 | 0,035 |
|                                    |                |                           | rno05164 Virus gripe A  | 2,397 | 0,050 |
|                                    |                |                           | <b>rno05142 Chagasova bolest (američka tripanosomijaza)</b>                     | 2,358 | 0,051 |
|                                    |                |                           | <b>rno05166 HTLV-I infekcija</b>  | 2,331 | 0,051 |
|                                    |                |                           | rno05168 Infekcija virusom <i>Herpes simplex</i>                                | 2,196 | 0,068 |
|                                    |                |                           | <b>rno05169 Infekcija virusom Epstein-Barr</b>                                  | 2,144 | 0,072 |
|                                    |                |                           | rno05332 Bolest odbacivanja transplantata                                       | 2,151 | 0,078 |
|                                    |                |                           | <b>rno05145 Toksoplazmoza</b>   | 2,037 | 0,085 |
|                                    |                |                           | <b>rno05150 Infekcija bakterijom <i>Staphylococcus aureus</i></b>               | 3,539 | 0,024 |
| <b>Putevi povezani s bolestima</b> | <b>Želudac</b> | <b>Povišena i snižena</b> | <b>rno05144 Malarija</b>  | 3,508 | 0,024 |
|                                    |                |                           | <b>rno05323 Reumatoidni artritis</b>  | 2,860 | 0,070 |
|                                    |                |                           | rno05143 Afrička tripanosomijaza  | 2,815 | 0,087 |

**Dodatna tablica 10.4** Značajno regulirani KEGG metabolički i signalni putevi te putevi povezani s bolestima u mišićnim tkivima inficiranim ličinkama oblića *A. pegreffii*, prema rezultatima GAGE analize ( $q < 0,1$ ). Putevi koji nisu u suvišku (nisu pokazali veliko preklapanje u popisu efektivnih gena) prikazani su podebljanim slovima. Za svaki signalni put naveden je tip, tkivo, smjer regulacije, identifikacija (ID), statistička srednja vrijednost i  $q$  vrijednost.

| Tip puteva                    | Tkivo | Smjer regulacije | ID puteva   | Stat. srednjak | $q$ vrijednost |
|-------------------------------|-------|------------------|---|----------------|----------------|
| Signalni i metabolički putevi | Mišić | Povišena         | <b>rno04060 Interakcija citokina i citokinskih receptora</b>                                | 6,570          | 4,29E-08       |
|                               |       |                  | <b>rno04062 Kemokinski signalni put</b>   | 5,521          | 3,89E-06       |
|                               |       |                  | <b>rno04514 CAMs (prema engl. <i>Cell adhesion molecules</i>)</b>                           | 5,541          | 3,89E-06       |
|                               |       |                  | <b>fno04145 Fagosom</b>   | 4,923          | 4,51E-05       |
|                               |       |                  | <b>rno04640 Hematopoetska stanična linija</b>   | 4,849          | 1,25E-04       |
|                               |       |                  | <b>rno04610 Komplement i koagulacijske kaskade</b>  | 4,583          | 3,32E-04       |
|                               |       |                  | <b>rno04657 IL17 signalni put</b>   | 4,484          | 3,32E-04       |
|                               |       |                  | <b>rno04380 Diferencijacija osteoklasta</b>   | 4,334          | 3,32E-04       |
|                               |       |                  | rno04668 TNF signalni put   | 3,945          | 0,001          |
|                               |       |                  | <b>rno04670 Migracija leukocita između endotela</b>   | 3,880          | 0,002          |
|                               |       |                  | <b>rno04015 Rap1 signalni put</b>   | 3,719          | 0,002          |
|                               |       |                  | <b>rno04621 NLR (prema engl. <i>Nod-like receptor</i>) signalni put</b>                     | 3,740          | 0,002          |
|                               |       |                  | <b>rno04080 Interakcija neuroaktivnog liganda i receptora</b>                               | 3,689          | 0,003          |
|                               |       |                  | <b>rno04064 NF-<math>\kappa</math>B signalni put</b>  | 3,651          | 0,003          |
|                               |       |                  | <b>rno04151 PI3K-Akt signalni put</b>   | 3,465          | 0,004          |
|                               |       |                  | <b>rno04620 TLR (prema engl. <i>Toll-like receptor</i>) signalni put</b>                    | 3,507          | 0,004          |
|                               |       |                  | <b>rno04666 Fc gamma R-posredovana fagocitoza</b>   | 3,403          | 0,005          |
|                               |       |                  | rno04612 Procesiranje i prezentacija antigena   | 3,439          | 0,005          |
|                               |       |                  | rno04630 Jak-STAT signalni put  | 3,394          | 0,005          |
|                               |       |                  | <b>rno04650 Citotoksičnost posredovana stanicama NK (prema engl. <i>Natural killer</i>)</b> | 3,001          | 0,018          |
|                               |       |                  | <b>rno04810 Regulacija aktinskog citoskeleta</b>  | 2,884          | 0,022          |
|                               |       |                  | <b>rno00100 Biosinteza steroida</b>   | 2,921          | 0,034          |
|                               |       |                  | <b>rno00260 Metabolizam glicina, serina i treonina</b>                                      | 2,745          | 0,039          |
|                               |       |                  | <b>rno00140 Biosinteza steroidnih hormona</b>   | 2,732          | 0,049          |
|                               |       |                  | rno04512 Interakcija ECM i receptora  | 2,565          | 0,051          |



|                                      |              |                           |   |        |       |
|--------------------------------------|--------------|---------------------------|---|--------|-------|
|                                      |              |                           | <b>rno04974 Probava i apsorpcija proteina</b>   | 2,544  | 0,051 |
|                                      |              |                           | <b>rno00790 Biosinteza folata</b>   | 2,633  | 0,051 |
|                                      |              |                           | <b>rno04672 Intestinalna imunosna mreža za proizvodnju IgA</b>                              | 2,518  | 0,062 |
|                                      |              |                           | rno04510 Fokalna adhezija   | 2,335  | 0,075 |
|                                      |              |                           | <b>rno04978 Mineralna apsorpcija</b>  | 2,360  | 0,077 |
|                                      |              |                           | rno04662 Signalni put receptora stanica B   | 2,243  | 0,093 |
|                                      |              |                           | <b>rno00830 Metabolizam retinola</b>  | 2,300  | 0,093 |
|                                      |              |                           | rno04611 Aktivacija trombocita  | 2,200  | 0,096 |
| <b>Signalni i metabolički putevi</b> | <b>Mišić</b> | <b>Snižena</b>            | <b>rno00190 Oksidativna fosforilacija</b>   | -4,230 | 0,004 |
|                                      |              |                           | <b>rno04120 Proteoliza posredovana ubikvitinom</b>  | -3,656 | 0,018 |
|                                      |              |                           | <b>rno04060 Interakcija citokina i citokinskih receptora</b>                                | 5,914  | 0,000 |
|                                      |              |                           | <b>rno04610 Komplement i koagulacijske kaskade</b>  | 4,832  | 0,000 |
|                                      |              |                           | <b>rno04062 Kemokinski signalni put</b>   | 4,574  | 0,000 |
|                                      |              |                           | <b>rno04514 CAMs (prema engl. <i>Cell adhesion molecules</i>)</b>                           | 4,507  | 0,000 |
|                                      |              |                           | <b>rno04657 IL17 signalni put</b>   | 4,349  | 0,001 |
|                                      |              |                           | <b>rno04380 Diferencijacija osteoklasta</b>   | 4,081  | 0,001 |
|                                      |              |                           | <b>fno04145 Fagosom</b>   | 3,743  | 0,004 |
|                                      |              |                           | <b>rno04640 Hematopoetska stanična linija</b>   | 3,739  | 0,005 |
|                                      |              |                           | <b>rno04080 Interakcija neuroaktivnog liganda i receptora</b>                               | 3,597  | 0,006 |
|                                      |              |                           | <b>rno04621 NLR (prema engl. <i>Nod-like receptor</i>) signalni put</b>                     | 3,475  | 0,007 |
| <b>Signalni i metabolički putevi</b> | <b>Mišić</b> | <b>Povišena i snižena</b> | rno04668 TNF signalni put   | 3,392  | 0,009 |
|                                      |              |                           | <b>rno04670 Migracija leukocita između endotela</b>   | 3,195  | 0,015 |
|                                      |              |                           | <b>rno04620 TLR (prema engl. <i>Toll-like receptor</i>) signalni put</b>                    | 2,876  | 0,040 |
|                                      |              |                           | <b>rno04650 Citotoksičnost posredovana stanicama NK (prema engl. <i>Natural killer</i>)</b> | 2,825  | 0,043 |
|                                      |              |                           | <b>rno04151 PI3K-Akt signalni put</b>   | 2,752  | 0,044 |
|                                      |              |                           | <b>rno04064 NF-κB signalni put</b>  | 2,753  | 0,046 |
|                                      |              |                           | <b>rno04015 Rap1 signalni put</b>   | 2,702  | 0,046 |
|                                      |              |                           | rno04611 Aktivacija trombocita  | 2,674  | 0,049 |
|                                      |              |                           | <b>rno03320 PPAR signalni put</b>   | 2,610  | 0,058 |
|                                      |              |                           | rno04630 Jak-STAT signalni put  | 2,578  | 0,058 |
|                                      |              |                           | <b>rno01230 Biosinteza aminokiselina</b>  | 2,584  | 0,058 |

|  |  |  |   |       |       |
|--|--|--|---|-------|-------|
|  |  |  | <b>rno00260 Metabolizam glicina, serina i treonina</b>                          | 2,553 | 0,068 |
|  |  |  | <b>rno04923 Regulacija lipolize u adipocitima</b>                               | 2,494 | 0,069 |
|  |  |  | <b>rno04974 Probava i apsorpcija proteina</b>                                   | 2,467 | 0,069 |
|  |  |  | <b>rno04672 Intestinalna imunosna mreža za proizvodnju IgA</b>                  | 2,432 | 0,086 |
|  |  |  | <b>rno04666 Fc gama R-posredovana fagocitoza</b>                                | 2,334 | 0,087 |
|  |  |  | <b>rno04020 Signalni put kalcija</b>  | 2,283 | 0,090 |
|  |  |  | <b>rno00100 Biosinteza steroida</b>   | 2,405 | 0,090 |
|  |  |  | <b>rno04659 Diferencijacija stanica Th17</b>                                    | 2,280 | 0,090 |
|  |  |  | <b>rno05150 Infekcija bakterijom <i>Staphylococcus aureus</i></b>               | 6,255 | 0,000 |
|  |  |  | <b>rno05144 Malaria</b>   | 5,464 | 0,000 |
|  |  |  | <b>rno05152 Tuberkuloza</b>   | 4,661 | 0,000 |
|  |  |  | rno05133 Pertusis   | 4,337 | 0,000 |
|  |  |  | rno05140 Lišmanioza   | 4,143 | 0,001 |
|  |  |  | <b>rno05323 Reumatoidni artritis</b>  | 4,139 | 0,001 |
|  |  |  | <b>rno05167 Infekcija <i>Herpes</i> virusom povezana s Kaposijevim sarkomom</b> | 3,904 | 0,001 |
|  |  |  | <b>rno05332 Bolest odbacivanja transplantata</b>                                | 3,830 | 0,002 |
|  |  |  | rno05320 Autoimuna bolest štitnjače   | 3,670 | 0,002 |
|  |  |  | rno05330 Odbacivanje transplantata  | 3,672 | 0,002 |
|  |  |  | rno05164 Virus gripe A  | 3,432 | 0,002 |
|  |  |  | rno05143 Afrička tripanosomijaza  | 3,476 | 0,004 |
|  |  |  | <b>rno05142 Chagasova bolest (američka tripanosomijaza)</b>                     | 3,169 | 0,005 |
|  |  |  | rno04940 Dijabetes tip I  | 3,269 | 0,005 |
|  |  |  | Rno05132 Infekcija bakterijom <i>Salmonella</i>                                 | 3,169 | 0,005 |
|  |  |  | rno05168 Infekcija virusom <i>Herpes simplex</i>                                | 2,965 | 0,008 |
|  |  |  | rno05146 Amebijaza  | 2,945 | 0,008 |
|  |  |  | rno05321 Upalna bolest crijeva (IBD)  | 2,993 | 0,008 |
|  |  |  | rno05134 Legioneloza  | 2,972 | 0,008 |
|  |  |  | <b>rno05418 Razvoj ateroskleroze</b>  | 2,853 | 0,009 |
|  |  |  | <b>rno05162 Ospice</b>  | 2,680 | 0,014 |
|  |  |  | rno04933 AGE-RAGE signalni put u dijabetičkim komplikacijama                    | 2,629 | 0,016 |
|  |  |  | <b>rno05310 Astma</b>   | 2,827 | 0,017 |

Putevi povezani s  
bolestima

Mišić

Povišena

|                                    |              |                           |   |        |       |
|------------------------------------|--------------|---------------------------|---|--------|-------|
|                                    |              |                           | rno05416 Virusni miokarditis  | 2,574  | 0,018 |
|                                    |              |                           | rno05322 Sistemska eritemski lupus  | 2,550  | 0,019 |
|                                    |              |                           | rno05145 Toksoplazmoza  | 2,443  | 0,022 |
|                                    |              |                           | <b>rno05340 Primarna imunodeficijencija</b>                                     | 2,553  | 0,022 |
|                                    |              |                           | <b>rno05202 Transkripcijske pogreške regulacije u raku</b>                      | 2,241  | 0,034 |
|                                    |              |                           | <b>rno05200 Putevi u raku</b>   | 2,212  | 0,035 |
|                                    |              |                           | <b>rno05204 Kemijska karcinogeneza</b>  | 2,123  | 0,047 |
|                                    |              |                           | <b>rno05205 Proteoglikani u raku</b>  | 1,762  | 0,094 |
|                                    |              |                           | <b>rno05160 Hepatitis C</b>   | 1,754  | 0,094 |
|                                    |              |                           | <b>Rno01523 Otpornost na antifolate</b>   | 1,748  | 0,099 |
|                                    |              |                           | rno05166 HTLV-I infekcija   | 1,697  | 0,099 |
| <b>Putevi povezani s bolestima</b> | <b>Mišić</b> | <b>Snižena</b>            | <b>rno05012 Parkinsonova bolest</b>   | -3,444 | 0,026 |
|                                    |              |                           | <b>rno05016 Huntingtonova bolest</b>  | -2,954 | 0,063 |
|                                    |              |                           | <b>rno05150 Infekcija bakterijom <i>Staphylococcus aureus</i></b>               | 5,362  | 0,000 |
|                                    |              |                           | <b>rno05144 Malaria</b>   | 5,223  | 0,000 |
|                                    |              |                           | <b>rno05152 Tuberkuloza</b>   | 3,786  | 0,002 |
|                                    |              |                           | <b>rno05323 Reumatoidni artritis</b>  | 3,881  | 0,002 |
|                                    |              |                           | rno05140 Lišmanioza   | 3,850  | 0,002 |
|                                    |              |                           | rno05133 Pertusis   | 3,620  | 0,003 |
|                                    |              |                           | rno05143 Afrička tripanosomijaza  | 3,408  | 0,009 |
|                                    |              |                           | <b>rno05146 Amebijaza</b>   | 3,168  | 0,009 |
|                                    |              |                           | <b>rno05416 Virusni miokarditis</b>   | 3,025  | 0,013 |
| <b>Putevi povezani s bolestima</b> | <b>Mišić</b> | <b>Povišena i snižena</b> | <b>rno05167 Infekcija <i>Herpes</i> virusom povezana s Kaposijevim sarkomom</b> | 2,887  | 0,015 |
|                                    |              |                           | rno05321 Upalna bolest crijeva (IBD)  | 2,955  | 0,015 |
|                                    |              |                           | rno05134 Legioneloza  | 2,898  | 0,016 |
|                                    |              |                           | Rno05132 Infekcija bakterijom <i>Salmonella</i>                                 | 2,818  | 0,016 |
|                                    |              |                           | rno05202 Transkripcijske pogreške regulacije u raku                             | 2,592  | 0,024 |
|                                    |              |                           | rno05332 Bolest odbacivanja transplantata                                       | 2,703  | 0,024 |
|                                    |              |                           | rno05142 Chagasova bolest (američka tripanosomijaza)                            | 2,595  | 0,024 |
|                                    |              |                           | rno05164 Virus gripe A  | 2,569  | 0,024 |
|                                    |              |                           | rno04933 AGE-RAGE signalni put u dijabetičkim komplikacijama                    | 2,463  | 0,030 |

---

|  |       |       |
|--|-------|-------|
| rno05418 Razvoj ateroskleroze                    | 2,419 | 0,032 |
| rno05032 Ovisnost o morfiju                      | 2,384 | 0,035 |
| rno05320 Autoimuna bolest štitnjače              | 2,384 | 0,037 |
| rno05330 Odbacivanje transplantata               | 2,253 | 0,049 |
| <b>rno05340 Primarna imunodeficijencija</b>      | 2,256 | 0,052 |
| rno04940 Dijabetes tip I                         | 2,185 | 0,052 |
| rno05322 Sistemska eritemski lupus               | 2,077 | 0,061 |
| <b>rno05205 Proteoglikani u raku</b>             | 2,026 | 0,062 |
| <b>rno05162 Ospice</b>                           | 1,985 | 0,066 |
| <b>rno04931 Inzulinska rezistencija</b>          | 1,977 | 0,066 |
| <b>rno05200 Putevi u raku</b>                    | 1,931 | 0,067 |
| <b>rno05310 Astma</b>                            | 2,064 | 0,067 |
| rno05145 Toksoplazmoza                           | 1,886 | 0,071 |
| <b>rno05204 Kemijska karcinogeneza</b>           | 1,908 | 0,071 |
| rno05168 Infekcija virusom <i>Herpes simplex</i> | 1,793 | 0,083 |

---

**Dodatna tablica 10.5** Sažeti rezultati trofaktorijalne (Jadransko more) i dvofaktorijalne (zapadno Sredozemno more) ANCOVA analize varijabilnosti infekcije oblicem *Anisakis pegreffii* prema lokalizaciji u fileima (dorzalni i ventralni dijelovi) domaćina (*Sardina pilchardus*), uzimajući u obzir prostorno-vremenski učinak i duljinu tijela domaćina kao kovarijablu.

| Izvor varijacije                                     | Jadransko more |          |         | zapadno Sredozemno more |       |        |
|--|----------------|----------|---------|-------------------------|-------|--------|
|  | df             | MS       | F       | df                      | MS    | F      |
| Duljina tijela ribe                                  | 1              | 0,043    | 31,212* | 1                       | 0,002 | 0,456  |
| Lokalizacija unutar ribe                             | 1              | 0,002    | 1,379   | 1                       | 0,012 | 3,475  |
| Godina   | 1              | 0,003    | 2,052   | /                       | /     | /      |
| Postaja uzorkovanja                                  | 1              | 0,020    | 14,605* | 2                       | 0,014 | 3,926  |
| Dorzalni_ventralni d. × godina                       | 1              | 0,001    | 0,820   | /                       | /     | /      |
| Dorzalni_ventralni d. × postaja uzorkovanja          | 1              | 0,000025 | 0,018   | 2                       | 0,018 | 5,038* |
| Godina × postaja uzorkovanja                         | 1              | 0,002    | 1,424   | /                       | /     | /      |
| Dorzalni_ventralni d. × godina × postaja uzorkovanja | 1              | 0,000025 | 0,018   | /                       | /     | /      |
| Ostatak  | 7263           |          |         | 5247                    |       |        |

df – stupnjevi slobode, MS – prosječna suma kvadrata, F – F vrijednost, \*statistički značajna razlika na razini  $p < 0,01$ .

**Dodatna tablica 10.6** Sažeti rezultati trofaktorijalne (Jadransko more) i dvofaktorijalne (zapadno Sredozemno more) ANCOVA analize varijabilnosti infekcije oblicem *Anisakis pegreffii* prema lokalizaciji u fileima (lijevi i desni file) domaćina (*Sardina pilchardus*), uzimajući u obzir prostorno-vremenski učinak i duljinu tijela domaćina kao kovarijablu.

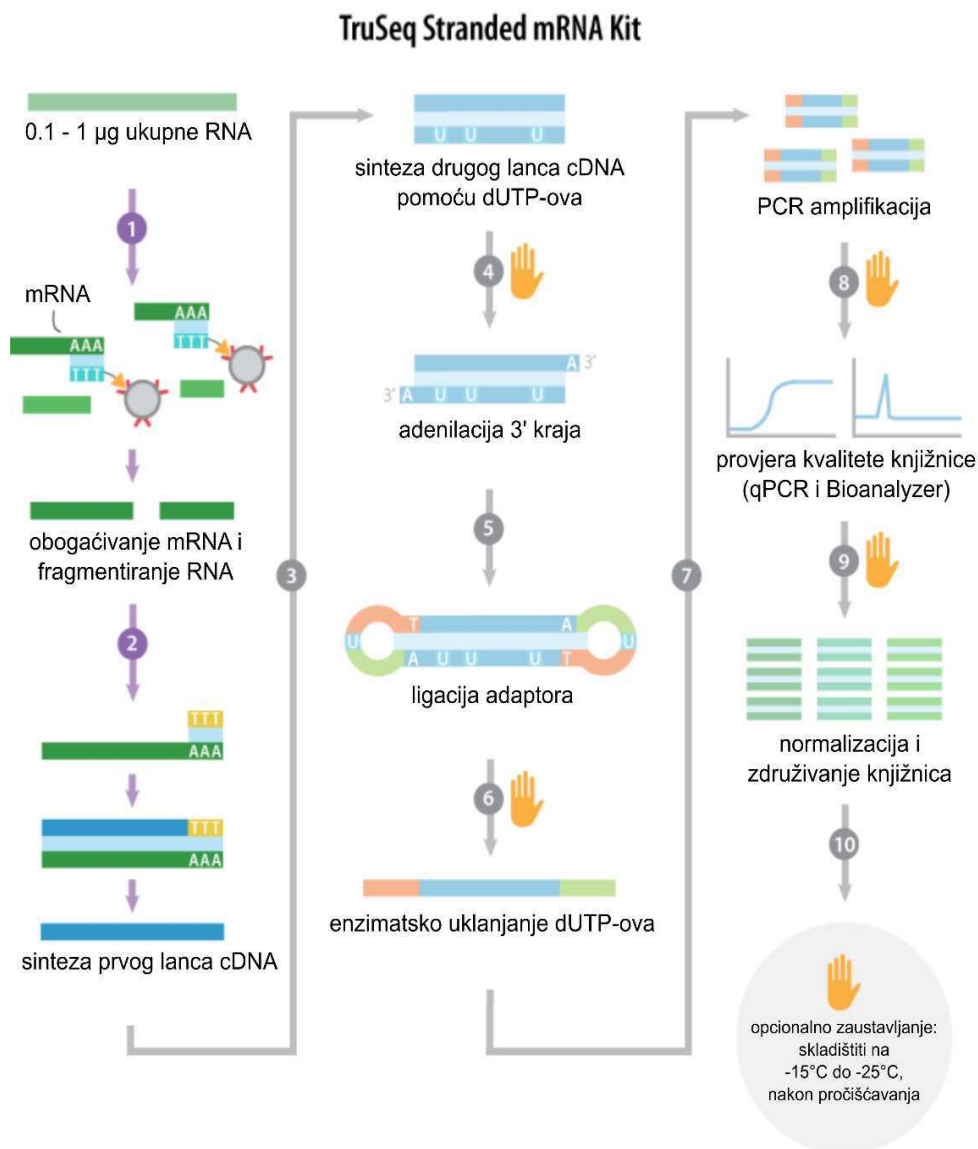
| Izvor varijacije                               | Jadransko more |          |         | zapadno Sredozemno more |       |       |
|--|----------------|----------|---------|-------------------------|-------|-------|
|  | df             | MS       | F       | df                      | MS    | F     |
| Duljina tijela ribe                            | 1              | 0,043    | 31,212* | 1                       | 0,002 | 0,454 |
| Lokalizacija unutar ribe                       | 1              | 0,002    | 1,379   | 1                       | 0,003 | 0,754 |
| Godina   | 1              | 0,003    | 2,052   | /                       | /     | /     |
| Postaja uzorkovanja                            | 1              | 0,020    | 14,605* | 2                       | 0,014 | 3,913 |
| Lijevi_Desni f. × godina                       | 1              | 0,001    | 0,820   | /                       | /     | /     |
| Lijevi_Desni f. × postaja uzorkovanja          | 1              | 0,000025 | 0,018   | 2                       | 0,004 | 1,094 |
| Godina × postaja uzorkovanja                   | 1              | 0,002    | 1,424   | /                       | /     | /     |
| Lijevi_Desni f. × godina × postaja uzorkovanja | 1              | 0,000025 | 0,018   | /                       | /     | /     |
| Ostatak  | 7263           |          |         |                         |       |       |

df – stupnjevi slobode, MS – prosječna suma kvadrata, F – F vrijednost, \*statistički značajna razlika na razini  $p < 0,01$ .

**Dodatna tablica 10.7** Srednja ukupna duljina domaćina (TL) sa standardnom devijacijom (SD), ukupna prosječna prevalencija (%) sa Sternovim točnim (ili prilagođenim Waldovim za  $N > 1000$ ) 95% intervalom pouzdanosti (CI), prosječni intenzitet (I), prosječna abundancija (A) s *bootstrap* 95% CI, omjerom varijance i srednjaka (v/m), indeksom nepodudarnosti (D) i eksponentom negativne binomnijalne raspodjele (k) nametnika *Hysterothylacium* sp. za svaku postaju uzorkovanja, odnosno podregiju za Jadransko more i ukupnog uzorka srdele *Sardina pilchardus* iz Sredozemnog mora, u razdoblju od 2013. do 2015. godine.

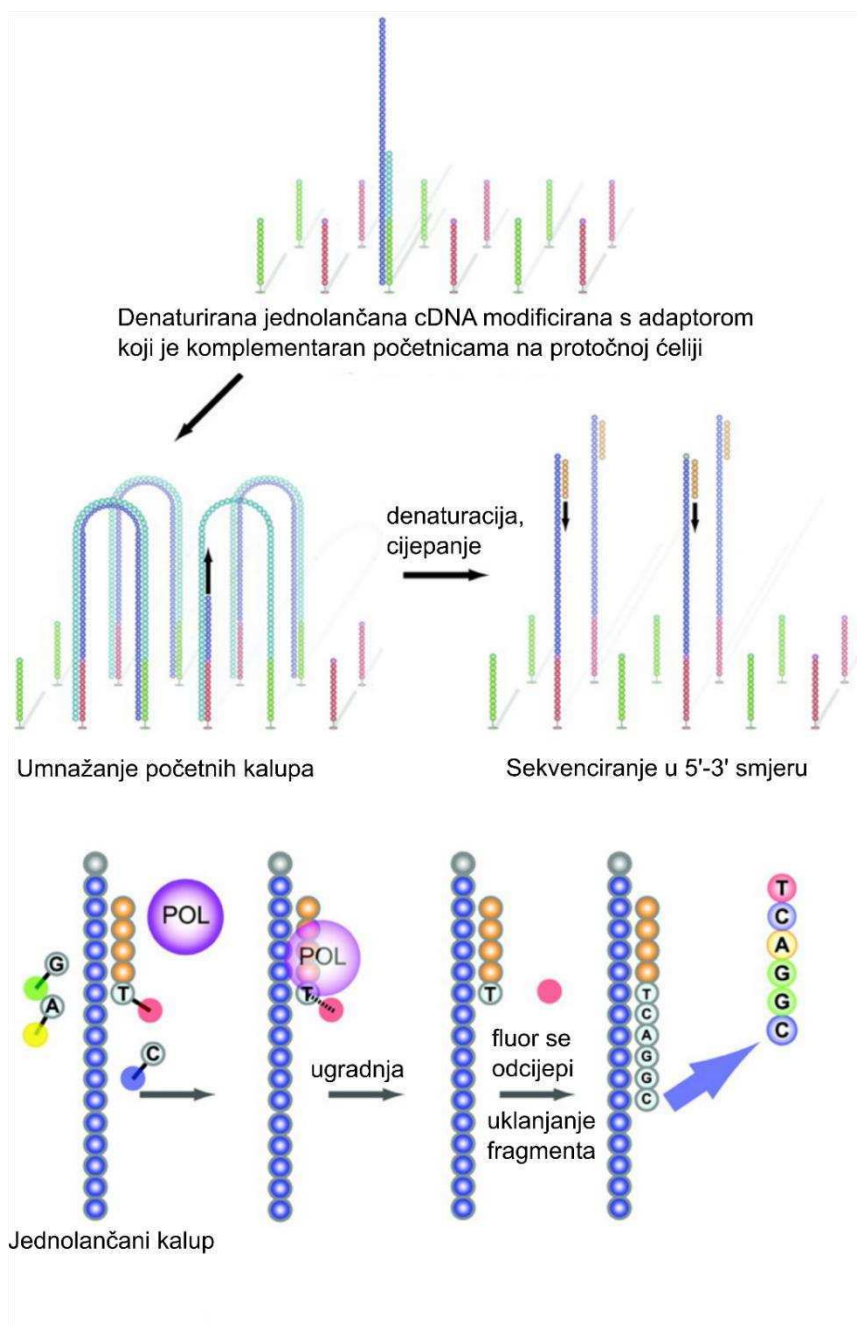
| Varijabla                             | Prosječna TL<br>± SD (mm) | Prevalencija<br>(%) (95% CI) | Prosječni I<br>(95% CI) | Prosječna A<br>(95% CI) | v/m  | D     | k      |
|---------------------------------------|---------------------------|------------------------------|-------------------------|-------------------------|------|-------|--------|
| MA 2013 (N = 234)                     | 133,66 ± 6,97             | 1,3 (0,4 – 3,8)              | 2,0 (1,0 – 2,7)         | 0,03 (0,00 – 0,07)      | 2,32 | 0,986 | /      |
| MA 2014 (N = 453)                     | 134,62 ± 6,05             | 57,4 (52,8 – 61,9)           | 2,2 (2,0 – 2,6)         | 1,27 (1,10 – 1,51)      | 3,85 | 0,650 | 0,916  |
| MA ukupno (N = 687)                   | 134,29 ± 6,39             | 38,3 (34,7 – 42,0)           | 2,2 (2,0 – 2,6)         | 0,85 (0,73 – 1,01)      | 4,24 | 0,766 | 0,444  |
| NA 2013 (N = 117)                     | 150,61 ± 6,67             | 42,7 (33,8 – 52,1)           | 2,2 (1,8 – 2,7)         | 0,94 (0,69 – 1,24)      | 2,44 | 0,711 | 0,614  |
| NA 2014 (N = 104)                     | 138,85 ± 6,47             | 1,0 (0,1 – 5,1)              | 1,0                     | 0,01 (0,00 – 0,03)      | 1,00 | 0,981 | /      |
| NA ukupno (N = 221)                   | 145,05 ± 8,82             | 23,1 (17,8 – 29,2)           | 2,2 (1,8 – 2,7)         | 0,50 (0,35 – 0,67)      | 2,85 | 0,844 | 0,230  |
| Ukupni Jadranski uzorak<br>(N = 908)  | 136,91 ± 8,43             | 34,6 (31,6 – 37,8)           | 2,2 (2,0 – 2,5)         | 0,76 (0,67 – 0,88)      | 4,04 | 0,786 | 0,386  |
| NT 2015 (N = 100)                     | 129,70 ± 5,98             | 0                            | /                       | /                       | /    | /     | /      |
| SS 2015 (N = 200)                     | 140,30 ± 8,40             | 0                            | /                       | /                       | /    | /     | /      |
| WS 2015 (N = 356)                     | 173,17 ± 11,62            | 0,3 (0,0 – 1,6)              | 1,0                     | 0,00 (0,00 – 0,01)      | 1,00 | 0,994 | /      |
| Ukupni Sredozemni uzorak<br>(N = 656) | 156,52 ± 21,00            | 0,2 (0,0 – 0,9)              | 1,0                     | 0,00                    | 1,00 | 0,997 | /      |
| Ukupni uzorak srdela<br>(N = 1564)    | 145,16 ± 17,90            | 20,10 (18,2 –<br>22,2)       | 2,2 (2,0 – 2,6)         | 0,44 (0,39 – 0,52)      | 4,36 | 0,875 | 0,183* |

Uzorak iz Jadrana: MA – srednji Jadran, NA – sjeverni Jadran, Uzorak iz zapadnog Sredozemnog mora: NT – sjeverno Tirensko more, SS – južna Sicilija, WS – zapadna Sardinija. Eksponent negativne binomijalne raspodjele (k) nije pokazao statistički značajnu razliku između zabilježenih i očekivanih frekvencija,  $p < 0,05$ .



**Dodatna slika 10.1** Prikaz pripreme uzoraka, procesa izrade cDNA knjižnice i normalizacije, prema uputama za korisnike, odakle je slika preuzeta i prilagođena. Prvi je korak purifikacija mRNA s poly-A repom, nakon čega slijedi fragmentacija i sinteza prvog lanca cDNA koristeći reverznu transkriptazu i nasumične početnice. Prepoznavanje drugog lanca postiže se zamjenom dTTP-ova s dUTP-ovima, a sinteza drugog lanca cDNA odvija se s pomoću DNA Polimeraze I i RNaze H. Nakon dodavanja slijeda A na 3' kraj, slijedi ligacija adaptora i PCR amplifikacija. Knjižnicama se tada provjerava kakvoća, kvantificiraju se i razrijede za sekvenciranje.





**Dodatna slika 10.2** Prikaz Illumina tehnologije sekvenciranja s pomoću sinteze. Denaturirana, jednonančana cDNA modificirana adaptorom, koji je komplementaran početnicama na protočnoj ćeliji, bude pričvršćena hibridizacijom. Nakon toga odvija se umnažanje početnih kalupa, zatim umnažanje njihovih kopija s pomoću početnica i stvaraju se nakupine identičnih cDNA molekula. Nakupine se denaturiraju i odcijepi. Osnova je ovog tipa sekvenciranja zabilježiti fluorescentni signal koji nastane nakon ugradnje obilježenih deoksiribonukleotida. Slika je preuzeta iz literature [210] i prilagođena hrvatskom jeziku, uz dopuštenje izdavača.

## 11. Kratka biografija

Ime i prezime: Ivana Bušelić Garber

Matični broj znanstvenika: 339655

Datum i mjesto rođenja: **25. siječnja 1989., Split, Hrvatska**

Adresa i kontakt: **Šetalište Ivana Meštrovića 63, Split, +385 21 408 047, [buselic@izor.hr](mailto:buselic@izor.hr)**

### **Obrazovanje (razdoblje, institucija, kvalifikacija):**

2013. – danas, Sveučilište u Splitu, Medicinski fakultet, doktorski studij Translacijska istraživanja u biomedicini (TRIBE)

2010. – 2012., Sveučilište u Splitu, Sveučilišni odjel za studije mora, Magistra biologije i ekologije mora

### **Radno iskustvo (godina, institucija, radno mjesto, područje rada):**

2013. – danas, Institut za oceanografiju i ribarstvo, Laboratorij za akvakulturu, Split, asistent, parazitologija morskih organizama

### **Akadska i znanstvena postignuća:**

2011. Nagrada Rektora prof. dr. sc. Ivana Pavića sa Sveučilišta u Splitu za akademsku godinu 2010./2011., za izvanredne rezultate postignute tijekom studija

### **Usavršavanja:**

2018. Radionica *Advanced RNA-Seq Analysis*, EMBL-EBI, Hinxton, Ujedinjeno Kraljevstvo.

2015. Tečaj Poduzetničke kompetencije za inovacijske poduhvate i Upravljanje projektnim ciklusom za mlade istraživače i poslijedoktorande, Ured za transfer tehnologije, Sveučilište u Splitu, Hrvatska.

2014. Tečaj Ronitelj u pomoćnim poslovima za potrebe podvodnih istraživanja, Učilište Meštar, Hrvatska.

2012. Erasmus stručna praksa u Španjolskoj (Sveučilište u Gironi) u trajanju od 3 mjeseca

### **Članstva u profesionalnim organizacijama:**

2014. – danas, European Association of Fish Pathologists (EAFP), član student

2018. – danas, EuroMarine Young Scientist Working Group (18 članova na razini Europe), predstavnica Instituta za oceanografiju i ribarstvo

### **Web of Science publikacije:**

[1] Bušelić I, Trumbić Ž, Hrabar J, Vrbatović A, Bočina I, Mladineo I. Molecular and cellular response to experimental *Anisakis pegreffii* (Nematoda, Anisakidae) third-stage larval infection in rats. *Front Immunol* 2018;9:2055.

[2] Bušelić I, Botić A, Hrabar J, Stagličić N, Cipriani P, Mattiucci S, et al. Geographic and host size variations as indicators of *Anisakis pegreffii* infection in European pilchard (*Sardina pilchardus*) from the Mediterranean Sea: Food safety implications. *Int J Food Microbiol* 2018;266:126–32.

- [3] Mladineo I, Trumbić Ž, Hrabar J, Vrbatović A, Bušelić I, Ujević I, et al. Efficiency of target larvicides is conditioned by ABC-mediated transport in the zoonotic nematode *Anisakis pegreffii*. *Antimicrob Agents Chemother* 2018;62:e00916-18.
- [4] Cipriani P, Sbaraglia GL, Palomba M, Giulietti L, Bellisario B, Bušelić I, et al. *Anisakis pegreffii* (Nematoda: Anisakidae) in European anchovy *Engraulis encrasicolus* from the Mediterranean Sea: Fishing ground as a predictor of parasite distribution. *Fish Res* 2018;202:59–68.
- [5] Levsen A, Svanevik CS, Cipriani P, Mattiucci S, Gay M, Hastie LC, et al. A survey of zoonotic nematodes of commercial key fish species from major European fishing grounds—Introducing the FP7 PARASITE exposure assessment study. *Fish Res* 2018;202:4–21.
- [6] Cipriani P, Sbaraglia GL, Paoletti M, Giulietti L, Bellisario B, Palomba M, et al. The Mediterranean European hake, *Merluccius merluccius*: Detecting drivers influencing the *Anisakis* spp. larvae distribution. *Fish Res* 2018;202:79–89.
- [7] Mladineo I, Trumbić Ž, Radonić I, Vrbatović A, Hrabar J, Bušelić I. *Anisakis simplex* complex: ecological significance of recombinant genotypes in allopatric area of the Adriatic Sea inferred by genome-derived simple sequence repeats. *Int J Parasitol* 2017;47:215–23.
- [8] Mladineo I, Bušelić I, Hrabar J, Vrbatović A, Radonić I. Population parameters and mito-nuclear mosaicism of *Anisakis* spp. in the Adriatic Sea. *Mol Biochem Parasitol* 2017;212:46–54.
- [9] Bao M, Pierce GJ, Pascual S, González-Muñoz M, Mattiucci S, Mladineo I, et al. Assessing the risk of an emerging zoonosis of worldwide concern: anisakiasis. *Sci Rep* 2017;7:43699.
- [10] Mladineo I, Bušelić I, Hrabar J, Radonić I, Vrbatović A, Jozić S, et al. Autochthonous bacterial isolates successfully stimulate *in vitro* peripheral blood leukocytes of the European sea bass (*Dicentrarchus labrax*). *Front Microbiol* 2016;7:1244.
- [11] Purroy A, Šegvić-Bubić T, Holmes A, Bušelić I, Thébault J, Featherstone A, et al. Combined use of morphological and molecular tools to resolve species mis-identifications in the Bivalvia The case of *Glycymeris glycymeris* and *G. pilosa*. *PLoS One* 2016;11:e0162059.
- [12] Messina CM, Pizzo F, Santulli A, Bušelić I, Boban M, Orhanović S, et al. *Anisakis pegreffii* (Nematoda: Anisakidae) products modulate oxidative stress and apoptosis-related biomarkers in human cell lines. *Parasit Vectors* 2016;9:607.

[13] Emre Y, Emre N, Aydogdu A, Bušelić I, Smales LR, Mladineo I. Population dynamics of two diplectanid species (*Monogenea*) parasitising sparid hosts (*Sparidae*). *Parasitol Res* 2015;114:1079–86.

[14] Lepen Pleić I, Bušelić I, Trumbić Ž, Bočina I, Šprung M, Mladineo I. Expression analysis of the Atlantic bluefin tuna (*Thunnus thynnus*) pro-inflammatory cytokines, IL-1 $\beta$ , TNF $\alpha$ 1 and TNF $\alpha$ 2 in response to parasites *Pseudocycnus appendiculatus* (Copepoda) and *Didymosulcus katsuwonicola* (Digenea). *Fish Shellfish Immunol* 2015;45:946–54.

[15] Bušelić I, Stagličić N, Lloret J, Matić-Skoko S. Can restrictions in mediterranean artisanal fisheries be beneficial for target species? *Acta Ichthyol Piscat* 2015;45:31–8.

[16] Bušelić I, Peharda M, Reynolds DJ, Butler PG, González AR, Ezgeta-Balić D, et al. *Glycymeris bimaculata* (Poli, 1795) - A new sclerochronological archive for the Mediterranean? *J Sea Res* 2015;95:139–48.

[17] Bošnjak I, Borra M, Iamunno F, Benvenuto G, Ujević I, Bušelić I, et al. Effect of bisphenol A on P-glycoprotein-mediated efflux and ultrastructure of the sea urchin embryo. *Aquat Toxicol* 2014;156:21–9.

[18] Jurić I, Bušelić I, Ezgeta-Balić D, Vrgoč N, Peharda M. Age, growth and condition index of *Venerupis decussata* (Linnaeus, 1758) in the Eastern Adriatic Sea. *Turkish J Fish Aquat Sci* 2012;12:613–8.

[19] Peharda M, Crnčević M, Bušelić I, Richardson CA, Ezgeta-Balić D. Growth and longevity of *Glycymeris nummaria* (Linnaeus, 1758) from the eastern Adriatic, Croatia. *J Shellfish Res* 2012;31:947–50.

#### **Sudjelovanja na kongresima:**

4. – 8. 9. 2017. **18<sup>th</sup> EAFP International Conference on Diseases of Fish and Shellfish**, Belfast, Ujedinjeno Kraljevstvo. Sudjelovanje usmenim i poster-prezentacijama, dodijeljena nagrada za studente (*EAFP Student Award*, besplatna kotizacija).

12. – 14. 10. 2016. **46<sup>th</sup> WEFTA Conference "From local fish to global dish"**, Split, Hrvatska. Sudjelovanje poster-prezentacijama.

15. – 18. 6. 2016. **6<sup>th</sup> Croatian Congress of Microbiology**, Sveti Martin na Muri, Hrvatska. Sudjelovanje poster-prezentacijom.

07. – 11. 9. 2015. **17<sup>th</sup> EAFP International Conference on Diseases of Fish and Shellfish**, Las Palmas de Gran Canaria, Španjolska. Sudjelovanje usmenom i poster-prezentacijama, dodijeljena nagrada za studente (*EAFP Student Award*, besplatna kotizacija).

31. 8. – 4. 9. 2015. **9<sup>th</sup> International Symposium on Fish Parasites**, Valencia, Španjolska. Sudjelovanje poster-prezentacijama, dodijeljena nagrada za studente (*9<sup>th</sup> ISFP Student Award*, snižena kotizacija).

12. – 16. 9. 2011. **46<sup>th</sup> European Marine Biology Symposium**, Rovinj, Hrvatska. Sudjelovanje poster-prezentacijama.

**Sudjelovanja na projektima:**

2015. – 2020., **H2020 ParaFishControl** (*Advanced tools and research strategies for parasite control in European farmed fish*); radno mjesto: suradnik asistent na projektu; područje rada: Populacijska dinamika i genetička struktura jednorodnog metilja *Sparicotyle chrisophrii* u divljim i uzgojenim populacijama riba.

2015. – 2019., **COST Action FA1408** (*A European network for foodborne parasites - Euro-FBP*); radno mjesto: vice MC (*Management Committee*) zamjenik predstavnika za Hrvatsku, područje rada: Oblici u morskoj hrani i proizvodima; katalogizacija i harmonizacija analitičkih metoda identifikacije, izolacije i dijagnostike; strategije smanjenja utjecaja nametnika u hrani na ljudsko zdravlje.

2015. – 2016., **European Social Fund projekt BIOAQUA** (Probiotici u akvakulturi - ekološki održiva profilaksa); radno mjesto: suradnik asistent na projektu; područje rada: Analiza bakterijskih izolata iz crijeva lubina za potencijalnu upotrebu kao probiotika u akvakulturi.

2014. – 2018., **HRZZ AnGEI** (*Anisakis spp. Genomic Epidemiology*); radno mjesto: doktorand; područje rada: Geografska distribucija anisakida u Jadranskome moru, interakcija domaćina i nametnika kroz analizu transkriptoma. Sudjelovala u istraživanju mehanizama rane infekcije ličinkom *Anisakis pegreffii* i odgovora slučajnog domaćina, Sprague-Dawley štakora, koji simulira infekciju čovjeka; usporedba odgovora sisavca u odnosu na parateničnog domaćina, lubina, stimulacija periferih leukocita oba domaćina ukupnim proteinskim ekstraktom nametnika, RNA sekvenciranje i analiza transkriptoma.

2013. – 2016., **FP7 PARASITE** (*Parasite risk assessment with integrated tools in EU fish production value chains*); radno mjesto: suradnik asistent na projektu; područje rada: Pojavnost zoonotičnog oblića *Anisakis* spp. (Nematoda, Anisakidae) u gospodarstveno značajnim ribljim vrstama u Jadranu: populacijska dinamika i genetika.